

CHEMICAL SERIES

784-3  
1979

ISSN 0132-6074  
გეოგრაფიული

საქართველოს სსრ მეცნიერებათა აკადემიის მაცნე  
ИЗВЕСТИЯ АКАДЕМИИ НАУК ГРУЗИНСКОЙ ССР  
PROCEEDINGS OF THE ACADEMY OF SCIENCES  
OF THE GEORGIAN SSR

ე პ ა პ ပ ს  
სერია  
ХИМИЧЕСКАЯ

1979 N 4.

თბილისი  
TBLILISI - ТОМ  
VOL.

5

საქართველოს სსრ მეცნიერებათა აკადემიის მაცნე  
ИЗВЕСТИЯ АКАДЕМИИ НАУК ГРУЗИНСКОЙ ССР



ДОБОВЫЕ ВЫПУСКИ  
СЕРИЯ ХИМИЧЕСКАЯ

ტომი 5, № 4

76 332

გამოვიდულია „მეცნიერება“ თბილისი  
ИЗДАТЕЛЬСТВО «МЕЦНИЕРЕБА» ТБИЛИСИ 1979

რედაქციის მინისტრი:

380060, თბილისი-60, კუტუზოვის ქ. 19, ოთახი 16.  
ტელ. 37-93-82

Адрес редакции:

380060, Тбилиси-60, ул. Кутузова, 19, комната 16.  
тел. 37-93-82

Корректор М. Брегвадзе

Сдано в набор 12.10.1979; подписано к печати 21.XII.1979; формат  
бумаги 70×108<sup>1/16</sup>; бумага № 1; печатных л. 8,4; уч.-изд. л. 6,5;  
УЭ 09001; тираж 1100 экз.; заказ 3444;

цена 70 коп.

---

გამომცემლობა „მეცნიერება“, თბილისი, 380060, კუტუზოვის ქ., 19  
Издательство «Мецнериба», Тбилиси, 380060, ул. Кутузова, 19

---

საქ. სსრ მეცნ. აკადემიის სტამბა, თბილისი, 380060, კუტუზოვის ქ., 19  
Типография АН Груз. ССР, Тбилиси, 380060, ул. Кутузова, 19



© Известия АН ГССР  
Серия химическая, 1979

სარიდანობის კოლეგია

ର. ଅଗ୍ନାଥ୍, ଶ. ଅପେଳିକାନ୍ତ, ଟ. ଅନ୍ଧରାନ୍ଦୀପାଲ୍‌କୁଣ୍ଡଳ (ରୂପାଜୀତ୍ରିନାରୀଙ୍କ ମିଳାଇଗଲିଲୁ), ଫ. ଏକ୍ଟର୍-  
ଶେହ୍ର, ଯୁ. ଡାରାନ୍ତକୁଣ୍ଡଳ (ପିଚ୍ଛାଯୁଗଲୁ ମିଳିଗଲିନ୍ତା), ଯୁ. ଟାଙ୍କାର୍ମ୍ଭ, ନ. ଲୋକନାର୍ଦ୍ଦା, ସ୍ଵ. ଶୈଲିକାନ୍ଦ୍ର,  
ନ. ପୁରୁଷକାଳାବ୍ଦ, ପ୍ର. କ୍ରେମର୍କର୍ଲେବୁନ୍ଦ୍ର. କ. କୃତ୍ତାତ୍ମକାନ୍ଦ୍ର, ପ୍ର. ପ୍ରାପ୍ତଶ୍ରେଣ୍ଣା (ରୂପାଜୀତ୍ରିନାରୀଙ୍କ  
ମିଳାଇଗଲିଲୁ), କ. ପ୍ରିକ୍ୟାରିଶ୍ଚେଣ୍ଣା, ଫ. କାନ୍ଦୁକାନ୍ଦ୍ର (ରୂପାଜୀତ୍ରିନାରୀଙ୍କ ମିଳାଇଗଲିଲୁ).

პასუნისმვებული მღვევანი ვ. შემლაძე

## РЕДАКЦИОННАЯ КОЛЛЕГИЯ

Р. И. Агладзе, А. Ш. Авалиани, Т. Г. Андроникашвили (зам. редактора),  
Х. И. Арешидзе, Ф. И. Броучек (ученый секретарь), К. Г. Джанаридзе  
(зам. редактора), Э. П. Кемертелидзе, К. С. Кутателадзе, Н. А. Ландия,  
Л. Д. Меликадзе, Н. И. Пирцхалава, Ф. Н. Тавадзе, Г. В. Цицишвили  
(редактор), П. Д. Чискаришвили.

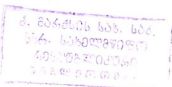
Ответственный секретарь В. В. Шубладзе.

#### EDITORIAL BOARD

R. I. Agladze, A. Sh. Avaliani, T. G. Andronikashvili (Associate Editor), Kh. I. Arechedze, F. I. Brouchek (Scientific Secretary), K. G. Japaridze (Associate Editor), E. P. Kemertelidze, K. S. Kutateladze, N. A. Landia, L. D. Melikadze, N. I. Pirtskhalava, F. N. Tavadze. G. V. Tsitsishvili (Editor), P. D. Tsiskarishvili.

Executive Secretary V. V. Shubladze

ეურნალი გამოდის 3 თვეში ერთხელ  
Журнал выходит раз в 3 месяца



## ІІІ СПІСКІ

### Анагамічныя інвазійныя іншага расы

Указе Рады Міністра № 3., 20 кастрычніка 2010 г., № 305, 20 кастрычніка 2010 г., № 306, 20 кастрычніка 2010 г., № 307, 20 кастрычніка 2010 г., № 308, 20 кастрычніка 2010 г., № 309, 20 кастрычніка 2010 г., № 310, 20 кастрычніка 2010 г., № 311, 20 кастрычніка 2010 г., № 312, 20 кастрычніка 2010 г., № 313.

### Інвазійныя іншага расы

Інвазійныя іншага расы	305
Інвазійныя іншага расы	309
Інвазійныя іншага расы	313

### Інвазійныя іншага расы

Інвазійныя іншага расы	320
Інвазійныя іншага расы	326
Інвазійныя іншага расы	328
Інвазійныя іншага расы	331
Інвазійныя іншага расы	338
Інвазійныя іншага расы	344

### Інвазійныя іншага расы

Інвазійныя іншага расы	350
------------------------	-----

### Інвазійныя іншага расы

Інвазійныя іншага расы	354
Інвазійныя іншага расы	358
Інвазійныя іншага расы	362
Інвазійныя іншага расы	364
Інвазійныя іншага расы	368
Інвазійныя іншага расы	372
Інвазійныя іншага расы	375
Інвазійныя іншага расы	377
Інвазійныя іншага расы	381
Інвазійныя іншага расы	382

## СОДЕРЖАНИЕ

### НЕОРГАНИЧЕСКАЯ И АНАЛИТИЧЕСКАЯ ХИМИЯ

Цкитишвили М. Г., Гогоришвили П. В., Мачховиши Р. И. Жоржолини Н. Б. Комплексные соединения стрептоцида и альбуцида с 3d элементами	295
---	-----

### ОРГАНИЧЕСКАЯ ХИМИЯ

Ногандели А. И., Буганишвили Д. Я., Меладзе С. М., Ломидзе Н. Г., Парджикия Д. С. Конденсация О-бромфенола с метил-, этил- и пропильтвинилкарбинолами в присутствии фосфорной кислоты	302
Деканосидзе Г. Е., Аразашвили А. И., Кеметелидзе Э. П. Химическое исследование <i>Clematis orientalis</i>	307
Пхенидзе Т. А. Стероидные сапонины юкки славной— <i>Yucca gloriosa L.</i>	311

### ФИЗИЧЕСКАЯ ХИМИЯ

Гогтидзе Н. М., Панина Л. И., Андроникашвили Т. Г. Сакодынский К. И., Люстгартен Е. И. Газо-хроматографические свойства макропористого анионита АН-221	315
Крупеникова А. Ю., Кванталиани Л. К. Гиголашвили Н. Г. Термографические свойства модифицированного клинкитолита	322
Сидамонидзе Ш. И., Цицишвили Г. В., Якерсон В. И., Лафер Л. И., Иашвили И. И., Гвилава М. Н. Изучение формирования Н-офретита и его кислотных свойств методом ИК-спектроскопии	327
Иоселиани К. Б., Эдилашвили И. Л., Джанибеков Н. Ф. Механизм антиокислительного действия некоторых солей О,О-диаридитифосфорных кислот в фотохимических реакциях	334
Бичинашвили А. И., Гонгадзе Д. Н., Лабарткава Э. К., Оболадзе М. Д. К вопросу исследования кинетики процесса коррозии в сплавах на основе железа	340

### ТЕХНОЛОГИЯ

Гаприндашвили В. Н., Геленишвили Т. П., Орлов А. К., Пискунов И. И., Чагелишвили Р. Д. Сегрегационный обжиг кеков автоклавного выщелачивания халькопиритного концентрата на укрупненной установке	346
---	-----

### КРАТКИЕ СООБЩЕНИЯ

Жижилашвили Э. Г. Корреляция потенциала тонкослойного платинового электрода с концентрацией растворенного в виноматериалах кислорода	352
Майсурадзе В. Р. Исследование электрохимического поведения некоторых нержавеющих сталей потенциостатическим методом	356
Двалишвили А. И., Кладиашвили Р. Ш., Вашакидзе М. Ш., Лагидзе Р. М. Новый способ получения 4-(п-аминофенил)-валериановой кислоты	360
Миндии В. Ю., Авалиани А. Ш., Циклаури Ц. Г. Термодинамический анализ взаимодействия анидридо хлора с метаном	363
Кахниашвили А. И., Чикодани Э. Н., Парджикия Д. С., Дондуа К. В. Изучение биологической активности некоторых алкенилфенолов и их производных	366
Бацанадзе Л. И., Сарджвеладзе Э. Э., Долидзе Л. Д. Получение электролитической двуокиси марганца (ЭДМ-2) из окисных марганцевых руд Никопольского месторождения	370
Чудинова И. Н., Авалиани М. А., Таанаев И. В. О некоторых конденсированных фосфатах галлия	373
Пичхадзе Ш. В., Папалашвили Н. Р., Сошина С. М. Изучение реологических свойств альгината натрия в присутствии гликолов	376
Гогоришвили Р. П. Распределение селена и теллура при автоклавном выщелачивании медно-сульфидного концентрата Маднеули	379
Авторский указатель	382

## CONTENTS

### INORGANIC AND ANALYTICAL CHEMISTRY

- Tskitishvili M. G., Gogorishvili P. G., Machkoshvili P. I., Zhorzhiani N. B. Complex compounds of streptocide and albucide with 3d elements . . . . . 301

### ORGANIC CHEMISTRY

- Nogaideli A. I., Bugianishvili D. Ya., Meladze S. M., Lomidze N. G., Pardzhikiya D. S. Condensation of o-bromophenol with methyl-ethyl, and propylvinylcarbinols in the presence of phosphoric acid . . . . . 306
- Dekanoidze G. E., Arazashvili A. I., Kemertelidze E. P. Chemical studies of Clematis orientalis . . . . . 309
- Pkheidze T. A. Steriodic saponins of "Yucca gloriosa L." . . . . . 314

### PHYSICAL CHEMISTRY

- Gogitidze N. M., Panina L. I., Andronikashvili T. G., Sakodinski K. I., Lyustgarten E. I. Gas-chromatographic properties of macroporous anionite AH-221 . . . . . 320
- Krupennikova A. Yu., Kvantaliani L. K., Gigolashvili N. G. Thermographic properties of modified clinoptilolites . . . . . 326
- Sidamonidze Sh. I., Tsitsishvili G. V., Yakerson V. I., Lafer L. I., Iashvili I. I., Gvilava M. N. Studies of formation of H-offretite and its acidic properties by using IR-spectroscopy . . . . . 332
- Ioseliani K. B., Edilashvili I. L., Dzanibekov N. F. Mechanism of antioxidantizing action for some salts of 0,0-diaryl dithiophosphoric acids in photochemical reactions . . . . . 339
- Bichinashvili A. I., Gongadze D. N., Labartkava E. K., Oboladze M. D. On the problem of studies of the corrosion process kinetics in alloys on iron base . . . . . 344

### TECHNOLOGY

- Gaprindashvili V. N., Geleishvili T. P., Orlov A. K., Piskunov M. N., Chagelishvili R. D. Segregation roasting of cakes of autoclave leaching of chalcopyrite concentrate using a continuous enlarged installation . . . . . 351

### SHORT COMMUNICATIONS

- Zhizhiashvili E. Correlation between the thin layer platinum electrode potential with the concentration of oxygen dissolved in different wine materials . . . . . 355
- Maisuradze G. R. Studies of electrochemical behaviour of some stainless steels by potentiostatic method . . . . . 359
- Dvalishvili A. J., Kldiashvili R. Sh., Vashakidze M. Sh., Lagidze R. M. A new method for  $\gamma$ - (n-aminophenyl)-valerenic acid obtaining . . . . . 362
- Mindin V. Yu., Avaliani A. Sh., Tsiklauri B. G. Thermodynamic analysis of the interaction of anode chlorine with methane . . . . . 365
- Kakhniashvili A. I., Chikovani E. M., Pardzhikia D. S., Dondua K. V. Studies of biological activity of some alkenyl phenols and their derivatives . . . . . 368
- Batsanadze L. I., Sardzhveladze E. F., Dolidze L. D. Electrolytic manganese dioxide (EDM-2) obtaining from oxide manganese ores from Nikopol deposit . . . . . 372
- Chudinova N. N., Avaliani M. A., Tananaev I. V. On some condensed phosphates of gallium . . . . . 375
- Pichkhadze Sh. V., Papalashvili N. P., Soshina O. M. Studies of rheologic properties sodium alginates in the presence of glycols . . . . . 378
- Gogorishvili R. P. Selenium and tellurium behaviour at autoclave leaching of Madneuli copper sulphide concentrate . . . . . 381

НЕОРГАНИЧЕСКАЯ И АНАЛИТИЧЕСКАЯ ХИМИЯ

УДК 541.49:546.3:547.551.525.211.1

М. Г. ЦКИТИШВИЛИ, П. В. ГОГОРИШВИЛИ, Р. И. МАЧХОШВИЛИ,  
Н. Б. ЖОРЖОДИАНИ

## КОМПЛЕКСНЫЕ СОЕДИНЕНИЯ СТРЕПТОЦИДА И АЛЬБУЦИДА С 3d ЭЛЕМЕНТАМИ

Сульфаниламиды — стрептоцид  $\text{NH}_2\text{C}_6\text{H}_4\text{SO}_2\text{NH}_2$  (TH) и альбуцид  $\text{NH}_2\text{C}_6\text{H}_4\text{SO}_2\text{NH}-\text{CO}-\text{CH}_3$  (BH) характеризуются амфотерными свойствами, которые вызваны наличием в их молекулах  $\text{NH}_2$ - и  $\text{NH}$ -групп. Поэтому эти сульфаниламиды могут образовывать соединения как в кислой, так и в щелочной средах. Последнее подтверждается приведенными в литературе данными [1, 2] о таутомерном превращении стрептоцида и альбуцида. Указывается также, что для стрептоцида в щелочной среде образованию внутрикомплексного соединения препятствует невозможность образования устойчивого цикла.

В литературе описаны соединения стрептоцида с медью, полученные в твердом состоянии —  $\text{CuT}_2 \cdot n\text{H}_2\text{O}$  [2, 3],  $\text{Cu}(\text{TiH})_2\text{SO}_4$  и  $\text{Cu}(\text{TiH})\text{SO}_4$  [4] и с  $\text{Co}^{2+}$ ,  $\text{Fe}^{2+}$ ,  $\text{Hg}^{2+}$  в растворах [2, 3], а альбуцида — с медью в растворе [5].

Целью настоящей работы является синтез комплексных соединений стрептоцида и альбуцида с переходными металлами в зависимости от рН раствора и изучение их физико-химических свойств.

Изучалось взаимодействие стрептоцида и альбуцида с хлоридами двухвалентных металлов ( $Cu$ ,  $Ni$ ,  $Mn$ ,  $Co$ ,  $Zn$ ,  $Cd$ ) в щелочной, слабо- и сильнокислых средах.

Синтез  $M(AH)_2Cl_2$ . К смеси 0,68—0,96 г  $MCl_2$  и 1,36 г ТН (или 0,88 г ВН) при молярном соотношении 1:2 добавляли смесь метанола и ацетона (1:2). Полученный раствор выпаривали на водяной бане. Выделившиеся осадки (для Со—синего (ТН), розового (ВН); для Ni—светло-зеленого (ТН), зеленого (ВН); для Cu — зеленого (ТН), коричневого (ВН), а для Mn, Zn, Cd — белого цвета) промывали декантацией бензолом и эфиром. Результаты химического анализа приведены в табл. 1.

Синтез  $(\text{AH}_2)_2[\text{MCl}]$ . Смесь 0,68—0,96 г  $\text{MCl}_2$  и 1,36 г TH (или 0,88 г BH) растворяли в смеси ацетона и метанола (2:1) и добавляли 5 мл конц. HCl. Полученный раствор выпаривали на водяной бане и выделившиеся осадки (для Co — синего (TH), розового (BH); для Ni — светло-желтого (TH), светло-зеленого (BH); для Cu — желтого; для Mn, Cd, Zn — белого цвета) промывали бензолом. Результаты химического анализа приведены в таблице 1.

## Результаты химического анализа комплексов стрептоцида и албукцида с переходными металлами

Соединение	Найдено, %						Вычислено, %					
	M	S	Cl	C	H	N	M	S	Cl	C	H	N
$(TH_2)_2Cl_4$	12,78	12,92	14,84	30,80	3,47	11,05	13,27	13,39	14,81	30,10	3,37	11,70
$Co(TH_2)Cl_3$	12,12	13,47	14,65	30,70	3,84	11,92	12,43	13,52	14,95	30,39	3,40	11,81
$Ni(TH_2)Cl_3$	12,24	13,25	14,84	30,80	3,12	11,76	12,44	13,53	14,96	30,41	3,40	11,81
$Mn(TH_2)Cl_3$	11,47	13,52	15,29	30,65	3,43	11,69	11,69	13,64	15,08	30,65	3,43	11,91
$Cd(TH_2)Cl_3$	21,19	11,96	13,31	27,30	3,33	11,60	21,30	12,15	13,44	27,31	3,06	10,62
$Zn(TH_2)Cl_3$	13,36	13,68	14,25	29,65	3,98	11,47	13,60	13,34	14,75	29,98	3,36	11,60
$Co(BH_2)_2Cl_2$	11,18	11,30	12,37	34,58	4,05	10,31	11,29	11,29	12,60	34,14	3,60	9,96
$Co(BH_2)_2Cl_3$	10,75	11,08	12,12	33,80	3,76	10,62	10,56	11,49	12,70	34,42	3,63	10,04
$Ni(BH_2)_2Cl_2$	10,26	11,21	12,47	34,68	3,34	10,78	10,57	11,50	12,71	34,43	3,63	10,04
$Mn(BH_2)_2Cl_2$	9,50	11,38	12,82	34,84	4,00	10,37	9,91	11,57	12,79	34,66	3,64	10,10
$Cd(BH_2)_2Cl_2$	18,22	10,28	11,73	33,85	3,26	10,02	18,37	16,48	11,59	31,41	3,30	9,16
$Zn(BH_2)_2Cl_2$	11,30	11,16	12,63	33,58	3,68	10,06	11,57	11,36	12,56	34,03	3,56	9,92
$(TH_2)_2[CoCl_4]$	11,74	11,37	25,38	26,22	3,72	10,48	11,56	11,62	25,70	26,12	3,29	10,15
$(TH_2)_2[CoCl_4]$	10,45	11,15	25,78	26,75	3,02	10,26	10,77	11,72	25,92	26,34	3,32	10,26
$(TH_2)_2[NiCl_4]$	10,36	11,54	25,63	26,56	3,08	10,04	10,78	11,73	25,93	26,35	3,32	10,24
$(TH_2)_2[MnCl_4]$	9,97	11,49	26,02	26,88	3,13	10,24	10,12	11,81	26,11	26,53	3,34	10,31
$(TH_2)_2[CoCl_4]$	18,20	11,32	23,36	24,12	3,45	10,01	18,71	10,68	23,61	23,99	3,02	9,33
$(TH_2)_2[ZnCl_4]$	11,38	11,24	25,58	26,41	3,38	10,59	11,81	11,58	25,62	26,03	3,28	10,12
$(BH_2)_2[CoCl_4]$	10,23	9,87	22,46	30,80	3,12	8,75	9,99	10,09	22,30	30,22	3,49	8,82
$(BH_2)_2[CoCl_4]$	9,88	10,39	22,12	30,12	4,25	10,07	9,34	10,16	22,47	30,41	3,51	8,88
$(BH_2)_2[NiCl_4]$	9,61	10,17	22,86	30,96	4,31	10,02	9,34	10,17	22,48	30,42	3,52	8,88
$(BH_2)_2[NiCl_4]$	9,64	9,65	22,26	30,70	4,22	9,28	8,76	10,22	22,61	30,63	3,54	8,94
$(BH_2)_2[CoCl_4]$	16,23	9,40	20,39	28,50	3,77	8,44	16,42	9,37	20,71	28,07	3,24	8,18
$(BH_2)_2[ZnCl_4]$	10,85	10,10	22,56	30,82	4,19	8,10	10,25	10,06	22,84	30,14	3,48	8,78

Соединения типа  $M(AH)_2Cl_2$  и  $(AH_2)_2[MCl_4]$  (где  $AH$  и  $AH_2$  — нониадвапроизводные и простонированная молекулы сульфаниламида соответственно) в воде разлагаются, а в органических растворителях (метанол, ацетон, этанол, диметилформамид) растворяются. Их молекулярная электропроводность определена в метаноле при разбавлении 1000 л и температуре 25°C. Соединения типов  $M(AH)_2Cl_2$  ( $\mu = 54-91 \text{ см}^{-1} \text{ см}^2$ ,  $pH = 4,4-6,5$ ) и  $(AH_2)_2[MCl_4]$  ( $\mu = 199,1-257,3 \text{ см}^{-1} \text{ см}^2$ ,  $pH = 1-1,4$ ), вероятно, являются трехисиними

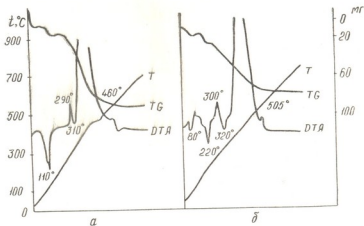


Рис. 1. Термограммы и термогравиграммы: а)  $Ni(TH)_2Cl_2$ , б)  $(TH_2)_2[NiCl_4]$

электролитами. Повышенная электропроводность соединений типа  $(AH_2)_2[MCl_4]$  вызвана неустойчивостью  $[MCl_4]^{2-}$ -иона. Эти соединения на воздухе устойчивы. При нагревании в пределах 110—220°C плавятся, а свыше 240°C разлагаются. Изучена термическая устойчивость соединений  $Ni(AH)_2Cl_2$  (где  $AH$  — TH, BH)  $(TH_2)_2[NiCl_4]$  и  $(BH_2)_2[CdCl_4]$  на дериватографе системы Ф. Паулик, И. Паулик и Л. Эрдей. Скорость изменения температуры 4,9°C в минуту.

Термограмма  $Ni(AH)_2Cl_2$  ( $AH$  — TH, BH) (табл. 2, рис. 1, 2) показывает, что при эндотермическом эффекте (112—120°C), вероятно,

Таблица 2

Результаты термического разложения комплексов никеля и кадмия со стрептоцидом и альбуцидом

Соединение	Темпера- тура $t^{\circ}$ , С	Убыль массы, %		Потеря в виде	Валовой состав
		Найдено	Вычислено		
$Ni(TH)_2Cl_2$	290	18,15	18,27	0,5 TH	$Ni(TH)Cl_2 \cdot 0,5TH$
	310—460	71,15	72,60	2 TH	$NiCl_2$
$Ni(BH)_2Cl_2$	240	19,23	19,20	0,5 BH	$Ni(BH)Cl_2 \cdot 0,5BH$
	330—510	84,61	76,80	2 BrI	$NiCl_2$
$(TH_2)_2[NiCl_4]$	80	5,71	6,67	1 HCl	$(TH_2)_2[Ni(TH)Cl_3]$
	220	17,10	13,34	2 HCl	$Ni(TH)_2Cl_2$
	300	28,60	29,25	2HCl + 0,5TH	$Ni(TH)_2Cl_2 \cdot 0,5TH$
	320—505	88,60	76,30	2HCl + 2TH	$NiCl_2$
$(BH_2)_2[CdCl_4]$	210	4,74	5,32	1 HCl	$(BH_2)_2[Cd(BH)Cl_3]$
	290	12,80	10,64	2 HCl	$Cd(BH)_2Cl_2$
	570	73,10	73,23	2HCl + 2BH	$CdCl_2$



отщепляется незначительная часть лиганда. При экзотермических эффектах (240—290°C) отщепляется половина, а в пределах 310—460°C и 330—510°C две молекулы стрептоцида и альбуцида соответственно. В обоих случаях конечным продуктом разложения является хлорид никеля.

Термограмма  $(\text{TH}_2)_2[\text{NiCl}_4]$  (табл. 2, рис. 1) показывает, что при эндотермических эффектах (80 и 220°C) отщепляются одна и две молекулы HCl соответственно. При экзотермических эффектах (300 и 460°C) теряются 0,5 и две молекулы стрептоцида соответственно. Конечный продукт —  $\text{NiCl}_2$ .

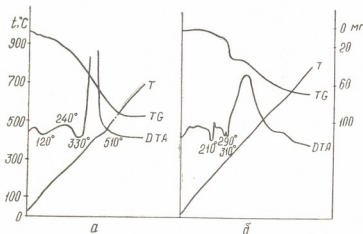


Рис. 2. Термограммы и термогравиграммы: а)  $\text{Ni}(\text{BH}_2)_2\text{Cl}_2$ , б)  $(\text{BH}_2)_2[\text{CdCl}_4]$

Термограмма  $(\text{BH}_2)_2[\text{CdCl}_4]$  (табл. 2, рис. 2) показывает, что при 210 и 290°C (эндотермические эффекты) отщепляются соответственно одна и две молекулы HCl, в интервале 310—570°C отщепляется вся органическая часть. Остается хлорид кадмия.

Синтезирование двух типов соединений  $\text{M}(\text{AH})_2\text{Cl}_2$  и  $(\text{AH}_2)_2[\text{MCl}_4]$  в слабо- и сильноциклой средах дает возможность предполагать, что TH и BH, несмотря на их амфотерность, в щелочной среде не образуют соединения в отличие от сульфадимезина и норсульфазола [6].

Для выяснения способа координации сульфилиамидов с металлами в  $\text{M}(\text{AH})_2\text{Cl}_2$  были изучены ИК-спектры поглощения для альбуцида, его натриевой соли и для альбуцидовых соединений —  $\text{M}(\text{BH})_2(\text{NCS})_2$  ( $\text{M} = \text{Co}, \text{Ni}$ ).

Рассмотрение ИК-спектров поглощения свободного альбуцида и его натриевой соли показывает, что атом натрия связан через атом кислорода  $\text{NH}_2\text{C}_6\text{H}_4\text{SO}_2\text{Na}=\text{C}(\text{ONa})-\text{CH}_3$ . Действительно, в спектре натриевой соли отсутствуют интенсивные полосы поглощения  $\nu(\text{NH})$  группы NH и  $\nu(\text{C=O})$ , которые в спектре альбуцида лежат около 3485 и  $\sim 1702 \text{ cm}^{-1}$  соответственно. В ИК-спектре поглощения натриевой соли обнаружены интенсивные полосы поглощения около  $1570 \text{ cm}^{-1}$ , относящиеся преимущественно к валентным колебаниям двойных связей  $\text{C=N}$  и при  $1395 \text{ cm}^{-1}$ , соответствующая преимущественно валентным колебаниям ординарных связей  $\text{C—O}$ . Эти полосы поглощения отсутствуют в спектре несвязанного альбуцида. Этот факт говорит в пользу тautомерного превращения альбуцида (но с тяжелыми металлами альбуцид не образует соединения в щелочной среде).



Сравнение ИК-спектров поглощения комплексов  $M(BH)_2(NCS)_2$  (где  $M=Co$  и  $Ni$ ) со спектрами свободного (несвязанного) альбуцида и его натриевой соли, показывает, что в комплексах кобальта и никеля присутствуют нейтральные молекулы альбуцида. Действительно, в спектрах комплексов найдены все полосы поглощения, характерные для спектра альбуцида. В частности, в ИК-спектрах поглощения комплексов  $Co$  и  $Ni$  с  $BH$  имеются полосы поглощения, соответствующие  $\nu(NH)$  группы  $NH$  и  $\nu(C=O)$  (табл. 3). При этом полосы поглощения  $\nu(C=O)$  в спектрах комплексов смешены в длинноволновую область на  $\sim 20 \text{ см}^{-1}$  из-за образования связи  $M \leftarrow OC$ . Полосы же поглощения, соответствующие  $\nu_{as}(NH_2)$ ,  $\nu_s(NH_2)$  и  $\nu_{as}(SO_2)$ ,  $\nu_s(SO_2)$  в спектрах комплексов лежат в тех же областях, что и для спектра свободного альбуцида. Указанное позволяет предположить, что координация через группы  $NH_2$  и  $SO_2$  исключается. Группы  $NCS^-$  непосредственно связаны с атомами кобальта и никеля. Об этом свидетельствует анализ ИК-спектров поглощения. Интенсивные полосы поглощения, характерные для внутрисферных  $NCS^-$ -групп, найдены около  $\sim 2100 \text{ см}^{-1}$ .

Таблица 3

Некоторые частоты колебания ( $\text{см}^{-1}$ ), найденные в ИК-спектрах альбуцида, его натриевой соли и комплексов  $M(BH)_2(NCS)_2$ , и их отнесение

$BH$	$BNa$	$Co(BH)_2(NCS)_2$	$Ni(BH)_2(NCS)_2$	Отнесение
3485	—	?	3480	$\nu(NH)$
3390	3392	3360	3360	$\nu_{as}(NH_2)$
3270	3260	3295	3295	$\nu_s(NH_2)$
—	—	2100	2115	$\nu(CN)$ групп $NCS^-$
~1702	—	1680	1678	$\nu(C=O)$
1655	1640n	1615n	1650n	$\delta(NH_2)$
1608	1610	1600	1602	$\nu(CC)$ (кольца)
—	1570	—	—	$\nu(C=N)$
—	1395	—	—	$\nu(C-O)$
1330	1340	1330	1330	$\nu_{as}(SO_2)$
1160	1158	1170	1170	$\nu_s(SO_2)$

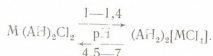
Так как спектры комплексов кобальта и никеля идентичны, они имеют, по-видимому, одинаковое строение. Можно предполагать, что альбуцид монодентатен. Возможно также, что соединения  $M(AH)_2Cl_2$  ( $AH=BH$ ,  $TH$ ) построены аналогично дироданидам кобальта и никеля с альбуцидом.

Соединения типа  $(AH)_2[MCl_4]$  можно получить из соединений типа  $M(AH)_2Cl_2$  действием кислот. В этом случае происходит присоединение молекул кислот к молекулам сульфаниламидов, вследствие чего нейтральная молекула  $AH$  переходит в протонированный катион с образованием тетракарбонатокомплексов, что можно объяснить присоединением протона к  $NH_2$ -группе.

Комплексные соединения стрептоцида и альбуцида, полученные в слабо- и сильнощелочных средах при изменении pH раствора, взаимопревращаются и неоднократно. Для экспериментального подтверждения этого процесса к бензольному раствору 0,5 г  $M(AH)_2Cl_2$  ( $M=Co$ ,  $Ni$ ,  $Cu$ ;  $AH=TH$  и  $BH$ ) добавляли по каплям конц.  $HCl$ . При  $pH 1-1,5$  выделялись соединения типа  $(AH)_2[MCl_4]$ . Наоборот, при действии аммиака на бензольный раствор  $(AH)_2[MCl_4]$ , при  $pH 4,5-7$  образовались соединения типа  $M(AH)_2Cl_2$ . Полученные соединения под дей-

ствием кислот и щелочей выделены в твердом состоянии и изучены их состав.

На основе результатов наших исследований установлено двухстадийное взаимопревращение:



Институт физической и органической химии им. П. Г. Меликишвили АН ГССР

Поступило 23.XI.1977

8. Симонидзе, 3. Гоматишвили, 6. Гаспарашвили 5. Гонгадзе

Научно-исследовательская лаборатория химии неорганических соединений Академии наук Грузинской ССР

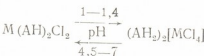
### Реакция

Синтезировано гидратированное магнезиальное сольватное комплексное соединение с формулой  $M(AH)_2Cl_2$  и  $(AH_2)_2[MCl_4]$ . Состав  $M = Mn, Co, Ni, Cu, Zn, Cd$ , в нем  $AH$  — нейтральный,  $AH_2$  — кислотный буферный, магнезиальный буферный, синтетический буферный и алюминиевый буферный.

Широкоизвестные синтезированные магнезиальные гидраты —  $M(BH)_2(NCS)_2$  и  $M(BH)_2Cl_2$  — получены в виде кристаллов, в то время как полученные нами соединения в виде гидратных комплексов  $(AH_2)_2[MCl_4]$  и  $M(AH)_2Cl_2$  имеют форму аморфных гидратов.

Широкоизвестные синтезированные магнезиальные гидраты —  $M(BH)_2(NCS)_2$  и  $M(BH)_2Cl_2$  — получены в виде кристаллов, в то время как полученные нами соединения в виде гидратных комплексов  $(AH_2)_2[MCl_4]$  и  $M(AH)_2Cl_2$  имеют форму аморфных гидратов.

Для получения гидратных комплексов  $(AH_2)_2[MCl_4]$  и  $M(AH)_2Cl_2$  в качестве исходного материала использованы магнезиальные гидраты  $M(BH)_2(NCS)_2$  и  $M(BH)_2Cl_2$ .



Для получения гидратных комплексов  $(AH_2)_2[MCl_4]$  и  $M(AH)_2Cl_2$  в качестве исходного материала использованы магнезиальные гидраты  $M(BH)_2(NCS)_2$  и  $M(BH)_2Cl_2$ .

## COMPLEX COMPOUNDS OF STREPTOCIDE AND ALBUCIDE WITH 3d ELEMENTS

### Summary

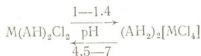
Complex compounds of streptocide and albucide with transition metals of two types:  $M(AH)_2Cl_2$  and  $(AH_2)_2[MCl_4]$ , where  $M$ -Mn, Co, Ni, Cu, Zn, Cd and AH is neutral,  $AH_2$ -protonated molecules of streptocide or albucide have been synthesized.

Physical-chemical properties of the synthesized compounds are studied. It is found that compounds of the both types are three ion electrolytes decomposing in water and dissolving in organic solvents. At heating above 200°C they decompose gradually losing a ligand molecule.

Studying IR-spectra of absorption rhodanide complexes of albucide of the type  $M(BH)_2(NCS)_2$  it is proved that in these complexes albucide neutral molecules are present and groups  $NCS^-$  are directly bound to metal atoms. One may assume that in this case albucide is monodentative. Probably, streptocide and albucide compounds of the type  $M(AH)_2Cl_2$  have the structure similar to that of metal dirhodanides with albucide.

In compounds of the tetracid  $(AH_2)_2[MCl_4]$  type molecules of sulphanilamides are cations due to proton addition to  $NH_2$ -group.

It is found that depending on the solution pH the compounds of the type  $M(AH)_2Cl_2$  and  $(AH_2)_2[MCl_4]$  are interconvertible and more than once:



A mechanism of this process is considered.

### ЛІТЕРАТУРА — REFERENCES

- Полякова И. М. Кирсанов А. В. ЖПХ, 13, 18, (1940), 1215.
- Хайкина К. М., Коган И. М. ЖОХ, 18, 2, (1948), 231.
- Фиалков Ф. А., Шах Ц. И. Укр. хим. ж., 17, 4, (1951), 568.
- Макатович. Bull. Soc. Stiinte cluy, 9, (1940), 4261.
- Вайсман Г. А., Шах Ц. И. Фармация, 3, (1947), 12.
- Гогоришвили П. В., Цкитишвили М. Г. Сб. Исследования в области химии комплексных и простых соединений некоторых переходных и редких металлов, вып. 2, (1974), 17, 152.

## ОРГАНИЧЕСКАЯ ХИМИЯ

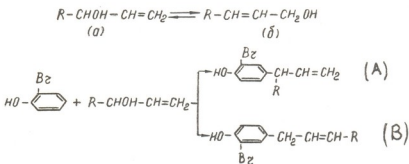
УДК 547.362.2

А. И. НОГАИДЕЛИ, Д. Я. БУГИАНИШВИЛИ, С. М. МЕЛАДЗЕ, Н. Г. ЛОМИДЗЕ,  
Д. С. ПАРДЖИКИЯКОНДЕНСАЦИЯ О-БРОМФЕНОЛА С МЕТИЛ-, ЭТИЛ- И  
ПРОПИЛВИНИЛКАРБИНОЛАМИ В ПРИСУТСТВИИ  
ФОСФОРНОЙ КИСЛОТЫ

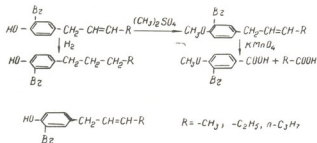
Известны работы в области конденсации фенолов с непредельными спиртами в присутствии фосфорной кислоты [1—3]. Было установлено, что в результате реакции получаются п-замещенные фенолы, отвечающие не исходным вторичным карбинолам, а изомерным первичным спиртам. Полученные продукты оказались физиологически активными веществами — энергичными стимуляторами роста растений [4].

Мы изучили реакции о-бромфенола с метил-, этил- и пропилвинилкарбинолами в присутствии фосфорной кислоты.

Оказалось, что реакции протекают с образованием п-замещенных продуктов (B), которые отвечают не исходным вторичным спиртам (a), а изомерным первичным карбинолам (b):



Строение полученных продуктов доказано химическими превращениями. При гидрировании образуются пара-алкилфенолы, метилированием — метиловые эфиры. Окислением метиловых эфиров получены уксусная, пропионовая, масляная и о-бром-п-метоксибензойная кислоты. Муравьинная кислота не обнаружена [5], что подтверждает строение полученных нами п-замещенных фенолов.



В пользу предполагаемого строения продуктов (I, IV и VII) говорят ИК- и ЯМР-спектры.

В ИК-спектре в области 3095—3075  $\text{cm}^{-1}$  поглощение конечной винильной группы не обнаружено, что имело бы место, если бы реакции протекали с образованием продукта (A). В спектре обнаружено интенсивное поглощение в области 3200—3400  $\text{cm}^{-1}$ , характерное для гидроксильных групп, поглощения при 1600, 1580, 1500, 3000—3100  $\text{cm}^{-1}$ , характерные для ароматического ядра, а также полоса поглощения при 970  $\text{cm}^{-1}$ , соответствующая  $\text{CH}=\text{CH}$  связям.

В ЯМР спектре соединений (I, IV и VII) обнаруживается сложный мультиплет в области 1,0—1,8 м. д., характерный для протонов алифатических метиловых и метиленовых групп. В области 2,0 м. д. наблюдается сигнал, соответствующий протонам метиленовой группы, стоящей у двойной связи, а в области 3,1—3,7 м. д. наблюдаются резонансные сигналы метиленовых групп, связанных одновременно с двумя электроотрицательными группами (ароматическая система и двойная связь). В области 6,7—7,3 м. д. наблюдаются резонансные сигналы, характерные для 1,3,4-замещенных фенолов.

Таким образом, по спектральным данным полученные соединения имеют структуру:



Метил-, этил- и пропилвинилкарбинолы готовились методом Гриньяра. В качестве исходного продукта брали акролеин.

**Конденсация о-бромфенола с метилвинилкарбинолом в присутствии фосфорной кислоты.** К смеси 115 г фенола и 45 г фосфорной кислоты по каплям прибавляли 72 г карбинала при непрерывном перемешивании. Реакция протекала с разогреванием, и температура смеси к концу приливания карбинала достигала 40°C. Затем реакционную смесь нагревали при температуре 60—70°C в течение 10 часов.

После охлаждения продукт реакции извлекали эфиrom, эфирный раствор промывали водой, а затем несколько раз 10%-ным раствором едкого натра для извлечения кислых продуктов реакции. Щелочные вытяжки объединяли, подкисляли соляной кислотой и экстрагировали эфиrom. Эфирный раствор высушивали сульфатом натрия и после отгонки эфира перегоняли в вакууме. Выделено 10 г 1-(3-бром-4-окси-фенил)-бутена-2 (1).

Аналогично получены соединения (IV и VII), но конденсация проводились при более высокой температуре 80—90°C (22 час).

Таблица 1

## Некоторые характеристики синтезированных соединений

№ вещес- ства	Назование	Т. кип. (р. мм)	$n_D^{20}$	$d_4^{20}$	М. в		Найдено, %			Вычислено, %		
					Найдено	Вычислено	C	H	Br	C	H	Br
I	1-(3-бром-4-оксифенил)- бутен-2	92—94° (р. 24м)	1,5645	1,2837	54,381	53,536	53,04 52,56	5,63 4,88	35,62 35,07	52,86	4,64	35,24
II	1-(3-бром-4-оксифенил)- бутан	97—98° (р. 24м)	1,540	1,3212	54,422	54,014	52,19 52,32	6,03 5,92	35,10 34,85	52,40	5,67	34,93
III	1-(3-бром-4-метоксифе- нил)-бутен-2	104—105° (р. 4м)	1,561	1,3175	58,443	58,444	55,12 54,48	5,16 5,08	33,45 32,96	54,77	5,39	33,19
IV	1-(3-бром-4-оксифенил)- пентен-2	89—92° (р. 4м)	1,565	1,3461	58,190	58,184	54,40 54,02	5,99 5,24	33,40 33,06	54,77	5,39	33,19
V	1-(3-бром-4-оксифенил)- пентан	103—106° (р. 4м)	1,551	1,3096	59,19	58,662	54,15 54,27	6,24 6,10	33,10 32,85	54,32	6,17	32,92
VI	1-(3-бром-4-метоксифе- нил)-пентен-2	111—114° (р. 4м)	1,557	1,2865	63,625	63,692	56,31 56,20	6,04 5,80	31,15 31,45	56,47	5,88	31,37
VII	1-(3-бром-4-оксифенил)- гексен-2	142—144° (р. 4м)	1,5475	1,2570	64,30	63,10	57,02 56,26	6,04 5,68	31,57 31,48	56,47	5,88	31,37
VIII	1-(3-бром-4-оксифенил)- гексан	123—124° (р. 1м)	1,5250	1,2260	63,58	64,31	56,12 56,05	6,73 6,48	31,30 31,68	56,03	6,61	31,12
IX	1-(3-бром-4-метоксифе- нил)-гексан-2	156—158° (р. 4м)	1,538	1,2283	68,14	67,74	60,14 57,82	6,46 6,39	29,28 29,19	57,99	6,31	29,73



**Гидрирование 1-(3-бром-4-оксифенил)-бутена-2.** При гидрировании 3 г вещества (I) в 30 мл спирта в присутствии 0,8 г катализатора Pd/CaCO<sub>3</sub>, поглотилось 360 мл водорода (р 720 мм; t 20°) в течение 3,5 часов (теоретически требовалось 330 мл). Спиртовый раствор был отфильтрован, спирт отогнан и перегнан в вакууме. Получено 2,6 г 1-(3-бром-4-оксифенил)-бутана(II).

Аналогично были получены соединения (V и VIII).

**Метилирование 1-(3-бром-4-оксифенил)бутена-2.** 3 г вещества растворяли в 20 мл 10% раствора едкого натра и постепенно добавляли 5,3 мл диметилсульфата. Смесь встряхивали 0,5 часа, затем прибавляли раствор едкого натрия до щелочной реакции и жидкость нагревали на водяной бане в течение 0,5 час до кипения. Продукт экстрагировали эфиром, сушили сульфатом натрия и перегоняли в вакууме. Выделено 2 г 1-(3-бром-4-метоксифенил)-бутена-2 (III).

Аналогично были получены соединения (VI и IX).

**Окисление 1-(3-бром-4-метоксифенил)-бутена-2 (III).** К 1 г вещества и 10 мл 1%-ного раствора поташа при перемешивании постепенно добавляли 4,2 г измельченного  $\text{KMnO}_4$ . Окисление продолжалось 6 часов. Двуокись марганца отфильтровывали и несколько раз промывали горячей водой, фильтрат подкисляли разбавленной соляной кислотой.

Выпали белые кристаллы о-бром-п-метоксибензойной кислоты.

После отделения о-бром-п-метоксибензойной кислоты, в фильтрате не обнаружена муравьиная кислота [5]. К фильтрату добавляли  $\text{Na}_2\text{CO}_3$  до щелочной реакции, высушивали на водяной бане досуха. В фильтрате была обнаружена уксусная кислота [5].

Аналогично было проведено окисление соединений (VI и IX), соответственно были обнаружены пропионовая и масляная кислоты.

Тбилисский государственный университет,  
Тбилисский заочный факультет  
Московского кооперативного института

Поступило 22.IX.1977

Digitized by Google

„შესწოვლილია ობრტონის კონდენსაცია მეთილ-, ეთილ- და პროპილინილკარბინოლებთან დასტურებულია.

დაგენილია, რომ რეაციის შედეგად მიიღება არა აღებული მეორადა სიირტების, არამედ მათი იზომერული პირველადი კარბინოლების შესაბამისი პ-ჩინავალობორი ა-ბრომითინოლიტი.

მიღებული ორთო-ბრომ-პარა-ალკენილფენოლების აგებულება და დევნილა ქიმიურ გარდაქმნათა მეშვეობით: ჰიდრირებით მიღებულია პარა-ალკილ-ორთო-ბრომფენოლები, მეთილირებით — მეთილის ეთერები, რომელთა დაუანგვაც გვაძლევს ორთო-ბრომ-პარა-მეთოქსილენზონის მევასა და შესაბამის კარბონმეტებს. დაუანგვის პროცესში არ აღმოჩნდა ჭიანჭველმევა, რაც დასტურებს მიღებული პარა-ჩინაცელებული ორთობრომფენოლების აგებულებას.

ଶ୍ରେଷ୍ଠାଙ୍ଗଳିଲୀବ ନାରତା-ପରାମି-ପାରା-ଅଲ୍ପ୍ରେଣିଲ୍‌ଲେବ୍‌ବିଲ୍‌ ନିର୍ମାଣିକଟ୍‌ଟାର୍‌ଲି ଏବଂ  
ଦ୍ୱିତୀୟାଳ୍-ମେହନିରୁତ୍ତା-ରୁଚିଶବ୍ଦାନ୍‌ଶବ୍ଦାର୍ ପିନ୍‌ଡିର୍କ୍‌ରୁବିଧିରେ।



A. I. NOGAIDELI, D. YA. BUGIANISHVILI, S. M. MELADZE  
N. G. LOMIDZE, D. S. PARDZHIKIYA

## CONDENSATION OF O-BROMOPHENOL WITH METHYL-, ETHYL-, AND PROPYLVINYLCARBINOLS IN THE PRESENCE OF PHOSPHORIC ACID

### Summary

The reaction of condensation of o-bromophenol with methyl-, ethyl- and propylvinylcarbinols in the presence of phosphoric acid has been studied. As a result 1-(3-bromine-4-oxiphenyl)-butene-2, 1-(3-bromine-4-oxiphenyl)-pentane-2 and 1-(3-bromine-4-oxiphenyl)-hexane-2 were isolated.

At hydrogenation of the obtained products ortho-bromine-para-alkyl-phenols are obtained, at methylation- methyl esters. Acetic, propionic, butyric and ortho-bromine-methoxybenzoic acids are obtained at oxidation of methyl esters.

The composition and structure of the synthesized compounds are confirmed by the element analysis, IR- and NMR-spectroscopy.

### ЛІТЕРАТУРА — REFERENCES

1. Кахниашвили А. И., Буганишвили Д. Я. ЖОХ, т. I, вып. 6, 1013, (1955).
2. Кахниашвили А. И., Парджикия Д. С. Труды ТГУ, т. 80, III (1961).
3. Кахниашвили А. И., Чиковани Э. Н. Сообщения АН ГССР, т. 52, № 2, 357 (1968).
4. Кахниашвили А. И., Кипаренко Г. Н. ЖОХ, 27, 942 (1957).
5. Бауэр К. Анализ органических соединений, М., (1953).

УДК 547.918:547.914414

Г. Е. ДЕКАНОСИДЗЕ, А. И. АРАЗАШВИЛИ, Э. П. КЕМЕРТЕЛИДЗЕ

## ХИМИЧЕСКОЕ ИССЛЕДОВАНИЕ CLEMATIS ORIENTALIS

Род Clematis ломонос (сем. Ranunculaceae лютиковых) объединяет до 230 видов. В СССР произрастает 36, а в Грузии—5 видов [1—3].

Ломоносы — полукустарник или кустарник, деревянистые лианы, удерживающиеся за опору чаше при помощи закручивающихся черешков [1—3]. Ломоносы обладают анестезирующим и бактерицидным действием. Характерным для данного рода оказалось наличие тритерпеновых сапонинов [4—7]; из Clematis vitalba выделен первый сапонин, содержащий в качестве углеводного компонента L-рибозу [8].

В данной работе описаны результаты исследования Clematis orientalis — ломоноса восточного, широко распространенного в Восточной Грузии. В корнях ломоноса восточного доказано наличие кумариных, тритерпеновых сапонинов, жирных кислот, аминокислот, свободных сахаров и производных оксивинилакриловой кислоты — ранункулина и анемонина; а в надземных частях дополнительно обнаружены флавоноиды — производные кверцетина и кемпферола. Алкалоиды, сердечные гликозиды, антрахионы и стероидные сапонины в ломоносе восточном не найдены.

Из корней ломоноса восточного была выделена очищенная сумма тритерпеновых сапонинов в количестве 5% (от воздушно-сухого сырья), состоящая, по крайней мере, из 10 гликозидов. Полным кислотным гидролизом суммы были найдены два агликона первый из них, с т. пл. 303—306°,  $[\alpha]_D^{20} + 78,2^\circ$  (с 0,7; хлороформ), был идентифицирован как олеаноловая кислота, а второй более полярный генин, с т. пл. 325—327°,  $[\alpha]_D^{20} + 76,1^\circ$  (C 1,1; пиридин), оказался хедерагенином. Идентичность веществ с олеаноловой кислотой и хедерагенином была также подтверждена тонкослойным хроматографированием (TCX) и ИК-спектрами. В углеводной части суммы сапонинов бумажно-хроматографическим (БХ) методом были обнаружены D-глюкоза, L-арabinоза, L-рибоза и L-рамноза.

Методом колоночной хроматографии выделен основной гликозид суммы с т. пл. 205—208°,  $[\alpha]_D^{20} - 18,5^\circ$  (C 1,25; метанол). Кислотным гидролизом гликозид расщепился на хедерагенин, рибозу и рамнозу. Количественный анализ моносахаридов (в виде ацетатов альдононитрилов) [9, 10] показал, что в выделенный гликозид входят 2 моля глюкозы и по одному — арабинозы, рибозы и рамнозы.

Таким образом, гликозид представляет собой пентаозид хедерагенина. Такие же константы и соотношение сахаров имеет витальбозид F [11]. Непосредственное TCX сравнение в системах с различным pH гликозида из ломоноса восточного и витальбозида F показало их полную идентичность. Как и витальбозид F, гликозид содержит ацилгли-

козидную цепь, что было установлено щелочным гидролизом щелочного лированием исходного вещества диазометаном.

За последнее время моносахар рибоза обнаружена и в других видах рода ломонос [12, 13]. Следовательно, наличие рибозы может служить хемотаксономическим признаком растений этого рода.

Сыре, корни ломоноса восточного, были собраны в период цветения в окрестностях гор. Тбилиси.

Для БХ и ТСХ (силикагель КСК) применяли системы растворителей: 1. Бутанол-1-этанол-вода (10:2:5); 2. Хлороформ-метанол-вода (65:35:10); 3. Бутанол-1-уксусная кислота-вода (4:1:5) 4. Пиридин-этилацетат-вода (2:8:1); 5. Хлороформ-этанол (25:1).

Анализы на природные соединения проводили известными методами [14, 15].

Моносахара обнаруживали о-толуидинсалицилатом, тритерпеноевые гликозиды и их агликоны — 25%-ным раствором фосфорновольфрамовой кислоты в этаноле; ИК-спектры снимали на приборе UR-20; т. пл. измеряли на столике Коффлера.

Газожидкостную хроматографию (ГЖХ) проводили [9, 10] на приборе Хром-4 (пламенно-ионизационный детектор, стеклянные колонки длиной 2 м, диаметром 0,35 см, наполненные chromaton N—AW—HMCS (0,200—0,250 мм), пропитанным 5% силикона ХЕ-60).

Выделение очищенной суммы сапонинов. 500 г воздушно-сухих измельченных корней экстрагировали 70%-ным метанолом при нагревании. Метанол отгоняли, а водный экстракт последовательно обрабатывали хлороформом, этилацетатом и изоамиловым спиртом. Спиртовые извлечения объединяли, выпаривали досуха. Остаток растворяли в небольшом количестве воды и пропускали через колонку сефадекса G-25 (грубая фракция), отбирая фракции по 50 мл. Фракции, не содержащие свободных сахаров (ТСХ в системе 2), объединяли, упаривали и высушивали при 50° под вакуумом. Получили белый с желтоватым оттенком порошок в количестве 24 г (4,8%). ТСХ анализом в системах 1, 2 и 3 в сумме было установлено наличие по крайней мере 10 гликозидов.

Гидролиз суммы сапонинов. Около 3 г суммы сапонинов помещали в колбу с обратным холодильником и гидролизовали 2%-ным раствором  $H_2SO_4$  в течение 5 часов, осадок отфильтровали, получили кристаллический агликон, состоящий из двух компонентов. Их разделение на индивидуальные сапогенины проводили на колонке с силикагелем, применяя в качестве подвижной фазы систему 5. Аналитические образцы были получены перекристаллизацией из этанола с применением активированного угля.

Водную жидкость гидролизата нейтрализовали  $BaCO_3$ , сгущали и подвергали БХ анализу на наличие моносахаридов в системе 4.

Выделение сапонина. 2 г суммы гликозидов переносили на колонку с силикагелем и элюировали системой 2. Получили 0,4 г хроматографически однородного гликозида, который по своим физико-химическим константам и хроматографическому поведению полностью совпадает с достоверным образцом витальбозида F.

Кислотный гидролиз сапонина. К 50 мг гликозида добавляли 2% 20 мл серной кислоты и нагревали 5 часов. Выделившийся осадок отфильтровывали, перекристаллизовывали и агликон идентифицировали ТСХ, т. пл., ИК-спектром. В фильтрате после нейтрализации карбонатом бария определяли сахара БХ в системе 4. Основную часть фильтрата переводили в трифторацетаты полиолов, согласно описанному в [9], и подвергали ГЖХ анализу. Идентифицировали глюкозу, арабинозу, рибозу и рамнозу в соотношении 2,1:0,96:1,0:0,97.



Щелочное омыление сапонина. 0,2 г сапонина нагревали с 10%<sup>ным</sup> раствором NaOH в продолжение 5 часов при 100°. После омыления получали гликозид с т. пл. 197—198°,  $[\alpha]_D^{20} = -34^\circ$  (C 1,0; метанол) и олигосахарид, состоящий из рамнозы и глюкозы. После кислотного расщепления (2%-ная H<sub>2</sub>SO<sub>4</sub>, 100°, 5 час) в гидролизате омыленного гликозида БХ в системе 3 и 4 обнаружили рибозу и арабинозу.

Институт фармакохимии  
им. И. Г. Кутателадзе АН ГССР

Поступило 6.II.1978

З. ДЕКАНОСИДЗЕ, А. АРАЗАШВИЛИ, Е. КЕМЕРТЕЛИДЗЕ

CLEMATIS ORIENTALIS-L-ს მინერალური გამოკვლევება

რეზიუმე

საქართველოში ფართოდ გავრცელებული მკენარის Clematis orientalis (ოჯ. Ranunculaceae) მიწის ზედა და მიწის ქვედა ნაწილების გამოკვლევისს დასტურებულია ტრიტერპენული საპონინების, ფლავონოლების, კუმარინების, γ-ლაქტონის წარმოებულების, ამინომჟავების, ლიპიდების, მორიმდავი ნიკოთინიების შემცველობა. გვენარის ფესვებიდან გამოყოფილია ტრიტერპენული საპონინების ფარი 5%-ის ჩაღვენობით, რომელიც შედგება ორი აგლუკონის — ოლეანოლის შევას და პერერაგნინის წარმოებული 10-ნეუ გლუკოზიდისგან. გლუკოზიდები შექროვები ნაწილში შეიცავს D-გლუკოზას, L-არაბინზას, L-რიბოზას და L-რამნოზას.

სამონინების გამიდან იზოლირებულია ძირითადი კომპონენტი ჰედერა-გენინის პენტაოზიდი, რომელიც შეიცავს უნიკალურ მონომაქარს რიბოზას. ფიზიკურ-ქიმიური კონსტრუქტით გლიკოზიდი იდენტიფიცირებულია, როგორც Clematis vitalba-დან აღმო გამოყოფილი ვიტამინზიდ F.

ლიტერატურული მონაცემებისა და ჩვენს მიერ მიღებული შედეგების საფუძველზე მონოშექარი რიბოზა აღნიშნული გვარის მცენარეების ქემოტაქსონომიურ მახასიათებლად შეიძლება იქნას მინეული.

G. E. DEKANOSIDZE, A. I. ARAZASHVILI, E. P. KEMERTELIDZE

CHEMICAL STUDIES OF CLEMATIS ORIENTALIS

Summary

The presence of triterpane saponins, flavonoids, coumarins derivatives of  $\gamma$ -lactone, amino acids, lipids, tanning substances and free sugars was found while studying above-ground and underground parts of widely spread in Georgia plant Clematis orientalis L (the family of Ranunculaceae). A sum of triterpane saponins in the amount of 5%, consisting at least of five glycosides—derivatives of oleanolic acid and chederagenin were isolated from the plant roots. Glycosides in the carbohydrate part contain D-glucose, L-arabinose, L-ribose and L-rhamnose.



Институт химии

From the sum of saponins the main component chederagenin <sup>Чедерагенин</sup> was isolated, containing the unique monose-ribose was isolated. On the basis of the established physical-chemical constants the isolated glycoside is identified with previously isolated from Clematis vitalba-vitalboside F.

Since ribose has been recently found in other species of the genus Clematis its presence may be considered as a chemotaxonomic sign of this genus plants.

#### ЛІТЕРАТУРА — REFERENCES

1. Качалов А. А. Деревья и кустарники, 174, М., 1970.
2. Флора СССР, М.-Л., 310, 1937.
3. Խայտառություններ, II, 73, ժեռնակ, 1973.
4. Хордии А. Я., Чирва В. Я., Кошетков Н. К. Изв. АН СССР, сер. хим., 811 (1965).
5. Чирва В. Я., Конюхов В. П. Изв. АН Молд. ССР, 40, 10, сер. хим., 811 (1965).
6. Ishiwatari, R., Nakano K., Shinkawa F. J. Pharmac. Soc. Japan, 64, 9A, 34 (1944).
7. Удальцова А. А., Минина С. А., Чернышева Ж. И. Вопросы фармакогноэзии. XXVI, 5, 195 (1968).
8. Чирва В. Я., Кинтия П. К., Мельников В. Н. ХПС, 3, 297 (1971).
9. Крохмалюк В. В., Чирва В. Я., Кинтия П. К. Изв. АН Молд. ССР, сер. биолог. и хим. наук, 1, 85 (1975).
10. Мельников В. Н., Кальян Ю. Б., Деканосидзе Г. Е., Чирва В. Я. ХПС, 4, 472 (1972).
12. Крохмалюк В. В., Бончко З. И., Кинтия П. К., Чирва В. Я. ХПС, 3, 407 (1974).
13. Крохмалюк В. В., Кинтия П. К., Чирва В. Я., Бончко З. И. ХПС, 4, 470 (1975).
14. Биохимические методы анализа растений, М., 1960.
15. Лазурьевский Г. В., Терентьева И. В., Шамшурин А. А. Практические работы по химии природных соединений, М., 1966.

УДК 547.917.547.918

Т. А. ПХЕНДЗЕ

СТЕРОИДНЫЕ САПОНИНЫ ЮККИ СЛАВНОЙ—  
*YUCCA GLORIOSA* L.

Стероидные сапонины (гликозиды — производные циклопентано-пергидрофenantрена, относящиеся к спиростановому и фуростановому ряду), являются важнейшими источниками для получения агликонов, используемых как исходное сырье в синтезе стероидных гормональных препаратов [1], применяются в медицине при различных заболеваниях [2—3], а также в химии стероидных соединений для разделения смеси антиподов [4] и в других областях.

Исследование стероидных сапонинов было начато еще в 1875 году [5], когда из наперстянки красной был получен препарат «дигитонин», однако углубленное химическое изучение сапонинодержащих растений и установление химической структуры индивидуальных стероидных гликозидов начато лишь в последние десятилетия [6—10]. Но выделение индивидуальных гликозидов в их природной форме и в настоящее время является весьма сложной задачей.

В представленной работе приведены результаты исследования сапонинов юкки славной — *Yucca gloriosa* L., сем. Liliaceae, которая оказалась перспективным промышленным источником тиогенина — нового исходного сырья в синтезе стероидных гормональных препаратов [11, 12].

Изучение растительных экстрактов на противораковую активность показало, что жидкий экстракт юкки славной задерживает рост опухоли на 55—100% [13]. Указанные сведения придали еще больший интерес полученным нами сапонинам. Позднее противоопухолевая активность установлена для ряда индивидуальных гликозидов, выделенных из *Yucca filamentosa* [14].

Предварительное исследование экстрактов свежих и воздушносуших листьев юкки славной показало, что в свежих листьях содержатся в основном более полярные (водорастворимые), а в воздушносухом материале менее полярные (водонерастворимые) сапонины, что обусловлено отщеплением моносахаридов от молекулы сапонина ферментами, находящимися в растении, в процессе высушивания сырья.

Из воздушносуших и свежих листьев юкки славной была получена водорастворимая-I и водонерастворимая-II фракция сапонинов. ТСХ анализом в первой из них обнаруживаются два гликозида, из которых основным сапонином является полярный, а водонерастворимая фракция состоит из 3-х гликозидов, в которых доминируют менее полярные два сапонина.

Из водонерастворимой фракции изолировали два индивидуальных гликозида: менее полярный — сапонин I, с т. пл. 298—299°;  $[\alpha]_D^{20} = -86.7^\circ$  (C 0.82; пиридин) и более полярный — сапонин 2, с т. пл. 262—264;  $[\alpha]_D^{20} = 0.66$  (C 1.2; пиридин). Оба глюкозида — производные

тигогенина, относящиеся к спиростановому ряду; в углеводной части установлено наличие D-галактозы, D-глюкозы, D-ксилозы и ~~и эфиром~~  
носоз.

Обращает на себя внимание тот факт, что несмотря на такой большой набор моносахаридов, выделенные нами гликозиды плохо растворяются в воде. Такое поведение, по-видимому, следует искать в глубине структурного строения этих гликозидов. Изучение сапонинов продолжается.

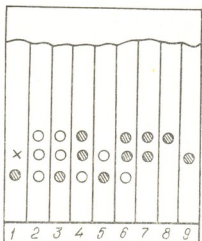


рис. 1. Состав сапонинов юкки славной. Схема ТСХ. Силикагель. Система: хлороформ-метанол-вода (26:14:3). 1. Экстракт из свежего сырья. 2. Экстракт из воздушносухого сырья. 3. Сапонины из воздушносухого сырья фр. I. 4. Сапонины из воздушносухого сырья фр. II. 5. Сапонины из свежего сырья фр. I. 6. Сапонины из свежего сырья фр. II. 7. Очищенная сумма сапонинов фракции II. 8. Индивидуальный сапонин I. 9. Индивидуальный сапонин II

**Сапонины воздушносухих листьев.** 2 кг воздушносухого, измельченного растительного сырья после форэкстракции хлороформом извлекали 80% этианолом. Из спиртоводных извлечений спирт отгоняли. Выпавшие не растворимые в воде сапонины обрабатывали метанолом и промывали последовательно охлажденным метанолом, ацетоном, этиловым эфиром, хлористым метиленом. Полученный аморфный порошок желтого цвета неоднократно перекристаллизовывали из этианола, обрабатывали метанолом, эфиром, ацетоном. Таким образом получили очищенную сапониновую фракцию-II в количестве 1,5 г.

Жидкость, оставшуюся после отделения водонерастворимых сапонинов, подщелачивали раствором гидрата окиси аммония и экстрагировали бутанолом, насыщенным водой. Бутаноловые вытяжки концентрировали до малого объема. Выделившийся осадок отделяли, промывали ацетоном, растворяли в бутаноле и переосаждали из ацетона. Этую операцию повторяли несколько раз. Получили сумму сапонинов-I в количестве 1,0 г.

**Сапонины из свежих листьев.** 0,7 кг свежих листьев измельчали и экстрагировали 80% спиртом. После отгонки спирта выделившийся осадок водорастворимых сапонинов обрабатывали хлороформом, смесью эфир-ацетон (1:2), затем промывали водой, ацетоном, эфиром и высушивали в эксикаторе. Получили сумму водонерастворимых сапонинов-II в количестве 2,72 г.

Водный раствор, освобожденный от водонерастворимых сапонинов, экстрагировали эфиром, а затем бутанолом. Бутаноловые извлечения сгущали до малого объема и сапонины переосаждали ацетоном. Промывали ацетоном, эфиром и высушивали. Получили 2,15 г суммы водорастворимых сапонинов.

**Хроматографическое разделение водонерастворимых сапонинов.** Водонерастворимые сапонины, полученные из свежего сырья, несколько



раз перекристаллизовывали из бутанола и этанола. 3,1 г суммы сапонинов наносили на колонку ( $h=50$ ,  $d=3$  см) с силикагелем (450 г) и элюировали системой хлорформ-метанол-вода (26:14:3). Выделенные из элюатов сапонины в количестве 1,3 г рехроматографировали в тех же условиях. Получали два индивидуальных кристаллических сапонина I и II. Т. пл. сапонина-I — 298—299° [ $\alpha_D^{20}$  — 86,7° (С 0,82; пиридин). После гидролиза с 12% серной кислотой в метаноле (1:1) выделен агликон, охарактеризованный с тигогенином [15].

Оставший после отделения агликона водный раствор нейтрализовали анионитом (ЭДЭ 10 П,  $\text{HCO}_3^-$ -форма) и сгущали. Методом хроматографии на бумаге в системе: пиридин-этилацетат-вода (2:8:1) со свидетелями обнаружили D-галактозу, D-глюкозу, D-ксилозу и L-рамнозу.

Сапонин-II т. пл. 262—264°; [ $\alpha_D^{20}$  — 66° (С 1,2; пиридин), также производный тигогенина и углеводная часть аналогична сапонину-I. Сапонины I и II не дают реакцию с реагентом Эрлиха, характерную для фуростаноловых агликонов.

Таким образом показано, что в листьях юкки славной содержатся водорастворимые и водонерастворимые сапонины. Из водонерастворимых фракций сапонинов изолированы два водонерастворимых гликозида (сапонина) спиростанового ряда — производные тигогенина. В углеводной части обоих гликозидов установлен одинаковый набор моносахаридов, состоящий из галактозы, глюкозы, ксилозы и рамнозы.

Институт фармакохимии  
им. И. Г. Кутателадзе АН ГССР

Поступило 9.II.1978

### თ. ფილიმ

„იუკა აიდეაზლის“ სროობრივი საპონინები

### რეზიუმე

„იუკა აიდეაზლის“ ფოთლებიდან მიღებულია წყალში ხსნადი და უხსნადი სტერიოიდული საპონინები. საპონინების მისაღებად დაწერილებულ მცნობელ მასალას წყლილავენ 80% მეთანოლით (ეთანოლით), სპირტის გადადენს შემდეგ გამოვარდნილ წყალში უხსნად ნალექს ფილტრავენ, ჩეცხავენ მეთანოლით, აცეტონით, ეთილის ეთერით. მიღება ყვითელი ფერის ამორფული ნივთიერება, რომელსაც რამდენიმეჯერ გადააქტისტალებენ მეთანოლიდან და ამშვევებენ მეთანოლით, აცეტონით, ეთილის ეთერით, წყალში უხსნად საპონინების ფრაქციის მოცულების შემდეგ დარჩენილ წყლიან ხსნას წვლილავენ ბუთანოლით. ბუთანოლიანი გამონაწვლილების ამონიაის ხსნარით გაწმენდის და ბუთანოლის გადადენის შემდეგ ღებულობენ წყალში ხსნადი საპონინების ფრაქციას, რომელსაც ჩეცხავენ აცეტონით, ხსნიან მეთანოლში და ლექვენ აცეტონით.

წყალში უხსნად საპონინების ფრაქციიდან ქრომატოგრაფიული დაყოფით სილიკაგელის სკეტჩ იზოლირებულია ორი ინდივიდუალური კრისტალური ნივთიერება. საპონინი — 1 — ლ. → ტ. 298—299°; [ $\alpha_D^{20}$  — 86,7° (С 0,82; პირიდინი) და საპონინი — 2 — ლ. ტ. 262—264° ( $[\alpha]_D^{20}$  — 66° (С 1,2; პირიდინი) ორივე საპონინი ტიგონინის წარმოებულებია. შაქტოვან ნაწლში დადასტურებულია D — გალაქტოზა, D — გლუკოზა, D — ქსილოზა და L — რამნოზა.

## STERIODIC SAPONINS OF „YUCCA GLORIOSA L.“

## Summary

Watersoluble and waterinsoluble saponins of spirostanol series have been obtained from the leaves of „Yucca Gloriosa L.“. Two individual crystalline substances have been isolated from the fraction of waterinsoluble saponins: saponin-1, with the melting point 298–299°;  $[d]_D^{20}$  86,7° (C 0,82; pyridine) and saponin-2, with the melting point 262–264°  $[d]_D^{20}$ —66° (C 1,2; pyridine).

Both saponins are derivatives of tigogenin. In the carbohydrate part D-galactose, D-glucose, D-xylose and L-rhamnose were identified.

## ლიტერატუՐა — REFERENCES

1. Wall M. E. Amer. perfumer and aromatics. 1960.
2. Соколова Л. Н. Киченко В. И., Ростоцкий В. К., Губина Г. П. Мед. пром. СССР, 7, 43, (1961).
3. Лесков А. И., Мартынова Р. Г., Соколов С. Я. Хим. фарм. ж., № 1, 147 (1976).
4. Windaus A. Ber. 42, 238, (1909).
5. Schmiedeberg O. Archiv exper. Pathol. Pharmac. 3, 16 (1875).
6. Tschesche R., Wülf G. Tetrahedron, 19, 621 (1963).
7. Tschesche R., Balle G. Tetrahedron, 19, 2323, (1963).
8. Kawasaki T., Yamachi T. Chem. Pharm. Bull., (Tokyo), 10, 703 (1960).
9. Kawasaki T., Yamachi T. Chem. Abst. 15, 15535 (1963).
10. Горовиц М. Б., Христулас Ф. С., Абубакиров Н. К. ХПС, 4, 434, (1971).
11. Пхеидзе Т. А. Изучение и использование растительных ресурсов СССР, Л., «Медцина», 271—73 (1964).
12. Кемертелидзе Э. П., Пхеидзе Т. А. Хим. фарм. ж., т. VI, № 12, 44, (1972).
13. Mc Keppa, Taxilog A., Carmichael M., Biol. and Med., 16, № 2, 203 (1958).
14. Киния П. К., Драгалин И. П. ХПС, 5, 675 (1972).
15. Matthews J. Biochem. et biophys. Acta, 69, I, 163 (1963).



ФИЗИЧЕСКАЯ ХИМИЯ

УДК 543.544:541.183.5

Н. М. ГОГИДЗЕ, Л. И. ПАНИНА, Т. Г. АНДРОНИКАШВИЛИ,  
К. И. САКОДЫНСКИЙ, Е. И. ЛЮСТГАРТЕН

## ГАЗО-ХРОМАТОГРАФИЧЕСКИЕ СВОЙСТВА МАКРОПОРИСТОГО АНИОНТА АН-221

Наряду с пористыми полимерами, уже нашедшими широкое применение в качестве сорбентов для газовой хроматографии [1], представляет интерес использование макропористых ионообменных смол в различных ионных формах для газо-хроматографического разделения веществ [2-5].

Макропристые катионаобменные смолы Амберлит А-15 и ХЕ-284 использовались для разделения углеводородов [3]. Индексы удерживания ароматических углеводородов увеличиваются с увеличением размера катиона смолы. Смолы в  $\text{Ag}^+$ -форме сильно удерживают ароматические углеводороды и олефины и разделяют геометрические изомеры олефинов.

Макропористые смолы ХАД-І и ХАД-ІІ использовались для газохроматографического разделения газов, а также для сорбции и концентрирования примесей органических веществ из питьевой воды и биологических жидкостей [4, 5].

В газовой хроматографии и сорбционной технике нашел применение макропористый анионит АН-251, представляющий собой сополимер 2,5-метилвинилипиридина и дивинилбензола. Исследованию его структурных, газо-хроматографических и адсорбционных характеристик посвящены работы [6—9].

В работах [10–13] исследованы адсорбционные свойства анионита другой природы — АН-221, содержащего этилендиаминовые группы. Изучены изотермы и теплоты адсорбции  $\text{CO}_2$ ,  $\text{O}_2$  и  $\text{H}_2\text{O}$ .

Нам представлялось интересным исследовать газо-хроматографические свойства анионита АН-221 в соответствии с уже ранее применявшейся методикой исследования свойств пористых полимерных сорбентов, основанной на определении относительного времени удерживания молекул разных классов соединений, относящихся по классификации [14] к группам А, В, Д.

Было определено, что исследуемый анионит имеет удельную поверхность  $74 \text{ м}^2/\text{г}$ , насыпной вес  $0,42 \text{ г}/\text{см}^3$ , объем пор  $0,84 \text{ см}^3/\text{г}$ , средний радиус пор  $150 \text{ \AA}$  и характеризуется достаточно однородным распределением пор по размерам. Это переходнопористый сорбент.

Газо-хроматографические исследования проводили на газовом хроматографе ЛХМ-8МД с детектором по теплопроводности на колонке длиной 1 м, диаметром 3 мм, при температуре 150°. Показано, что при разделении на анионите АН-221 проявляются особенности локальной электронной структуры молекул групп В и Д, обеспечивающие их способность к специфическому взаимодействию. Непредельные

и ароматические соединения удерживаются больше соответствующих предельных соединений с тем же числом атомов углерода в газообразном состоянии (табл. 1).

Таблица 1  
Относительные времена удерживания предельных и непредельных углеводородов

Сорбат	T, кип., °C	$t_r/t_f$ н-пентана
Пентан	36,1	1,0
Пентен-2-цис	36,9	1,1
Пентадиен-1,3	44,1	1,3
Гексан	68,7	2,3
Гексен-1	63,5	2,5
Циклогексан	81,4	2,8
Циклогексен	83,0	3,3
Бензол	80,0	3,5
Гептан	98,4	5,4
Гептен-3-цис	93,6	5,7
Толуол	100,6	9,5

Таблица 2  
Относительные времена удерживания веществ с близкими молекулярными весами

Сорбат	мол. вес	T кип., °C	$\mu$ , D	$t_r/t_f$ н-пентана	
				Полисорб-1	АИ-221
этилацетат	88,1	77,1	1,84	2,4	3,2
1,4-диоксан	88,1	100,8	0,0	4,4	6,5
н-пентанол	88,1	138,0	1,65	5,6	39,0
циклогексан	84,2	81,4	0,0	3,1	2,8
н-масляная кислота	88,1	103,5	0,93	5,85	не выходит
диэт. эфир	74,1	32,0	1,17	0,87	1,13
пентан	72,1	36,1	0,0	1,0	1,0
тетрагидрофуран	72,1	64—66	—	2,3	3,3
н-бутиanol	74,1	117,5	1,63	2,8	10,5
метилацетат	74,1	56,9	1,71	—	1,6
н-пропионовая кислота	74,1	141,1	1,74	3,9	не выходит
диэтиламин	73,1	55,5	—	1,2	5,8
бутиламин	73,1	76,0	—	2,2	5,8
пиридин	79,1	115,3	—	4,7	12,0
пропионитрил	55,1	96,0	—	—	3,2
ацетон	58,1	56,2	2,85	0,69	не выходит
нитрометан	61,0	101,0	3,54	0,98	2,8
уксусная кислота	60,0	118,1	1,7	0,98	не выходит



Полярные молекулы удерживаются больше неполярных с близкими молекулярными весами (таблица 2). Это видно из примера удерживания простых и сложных эфиров, нитрометана, диоксана. Наиболееично на данном анионите удерживаются молекулы группы Д, способные к образованию водородных связей с поверхностью анионита — спирты и амины, причем, удерживание спиртов больше удерживания аминов с равным числом атомов углерода в молекуле.

Из таблицы 3, в которой приведены относительные времена удерживания соединений с близкими температурами кипения, видно, что удерживание на анионите АН-221 существенно отличается от удерживания на полисорбе-1. Так, относительные времена удерживания спиртов и воды в 4—8 раз, аминов в 3—5 раз больше на АН-221, чем на полисорбе-1, тогда как удерживание углеводородов и эфиров меняется незначительно.

Таблица 3  
Относительные времена удерживания веществ с близкими температурами кипения

Сорбат	T кип., °C	Мол. вес	$t_r/t_r$ и-пентана	
			Полисорб-1	АН-221
метанол	64,7	32,1	0,2	1,0
тетрагидрофуран	64—66	72,1	2,3	3,3
этанол	78,4	46,1	0,4	1,5
этилацетат	77,2	88,1	2,4	3,2
CCl <sub>4</sub>	76,8	153,8	3,1	3,7
н-бутиламин	76,0	73,1	2,2	5,8
ацетонитрил	81,6	41,1	0,6	1,2
бензол	80,1	78,1	2,9	3,5
циклогексан	81,4	84,2	3,1	2,8
вода	100,0	18,0	0,1	1,0
муравьиная кислота	100,7	46,0	0,4	не выходит
н-пропанол	97,8	60,1	1,0	4,1
1,4-диоксан	100,8	88,1	4,4	6,5
н-гептан	98,4	100,2	4,8	5,5

В ряде случаев наблюдается изменение в последовательности выхода компонентов из хроматографической колонки по сравнению с полисорбом-1. Это, в частности, характерно для молекул ацетонитрила, диэтилового эфира, нитрометана, воды и спиртов C<sub>1</sub>—C<sub>3</sub> по сравнению с и-пентаном.

Индексы удерживания ряда полярных молекул на анионите АН-221 сопоставлены с соответствующими значениями на других полимерных сорбентах — хромосорбе 102, 104, 107 (табл. 4).

Как показано в таблице 4, индексы удерживания существенно больше на исследуемом анионите АН-221, чем на неполярном сорбенте хромосорбе 102, и приближаются к индексам удерживания на сорбенте средней полярности — хромосорбе 107.

Зависимость логарифма удерживаемого объема от числа атомов углерода в молекуле на анионите АН-221 линейна для гомологическо-

го ряда углеводородов; однако наблюдается отклонение от линейной зависимости для метанола (рис. 1).

Приведенные данные показывают, что анионит АН-221 обладает специфичностью молекулярного взаимодействия, высокой селективностью по отношению к аминам и спиртам.

Таблица 4

Индексы удерживания некоторых соединений на различных полимерных сорбентах

Сорбент	ацето-нитрил	нитро-метан	этанол	бензол	трет. бутанол	пиридин	метил-этил-кетон
АН-221	548	600	567	668	650	766	не выходит
Хр. 102	460	510	425	650	525	705	850
Хр. 107	550	—	515	660	620	—	650
Хр. 104	855	935	690	835	820	1025	850

Отличительной особенностью исследуемого сорбента—анионита АН-221 является необратимая адсорбция карбонильных соединений: кетонов, альдегидов и органических кислот. По-видимому, происходит

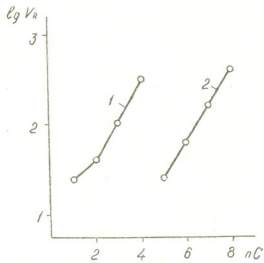


Рис. 1. График зависимости исправленного удерживаемого объема от количества атомов углерода в молекуле. 1—спирты, 2—и-углеводороды

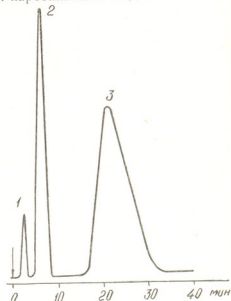


Рис. 2. Хроматограмма разделения смеси метиламина (1), диметиламина (2) и диэтиламина (3). Температура колонки 150°C, скорость газа-носителя 40 мл/мин

химическая реакция между карбонильными соединениями и анионитом. Эта особенность позволяет использовать анионит АН-221 при анализе сложных смесей кислородсодержащих соединений для селективного удаления (вычитания) из пробы альдегидов, кетонов, кислот.

На АН-221 исследовано удерживание соединений различной геометрической структуры с равным числом атомов углерода в молекуле. Показано, что разветвленные изомерные соединения элюируются, как

Зависимость относительных времен удерживания от геометрического строения молекул

Сорбат	Мол. вес	$t_r/t_r$ н-пентана	
		АН-221	Полисорб-1
изо-пропанол	60,1	2,5	0,8
н-пропанол	60,1	4,0	1,0
трет-бутил	82,8	3,2	1,2
втор-бутил	82,8	5,9	1,8
изо-бутил	82,8	7,9	2,2
н-бутил	74,1	10,5	2,8
изо-пентан	72,1	0,9	0,8
н-пентан	72,1	1,0	1,0
циклогексан	70,1	1,5	1,4
изо-октан	114,2	9,3	5,0
н-октан	114,2	14,2	11,6
н-гексан	86,2	2,3	2,3
метилциклогексан	84,2	2,5	—
ц-гексан	84,2	2,8	4,0

и на полисорбе 1, раньше соединений нормального строения, а циклические после, что находится в соответствии с температурами кипения этих соединений.

При разделении на макропористом анионите АН-221 вещества элюируются в форме достаточно симметричных пиков. Коэффициенты асимметрии для молекул большинства соединений равны 1—2. Так, например, для бензола

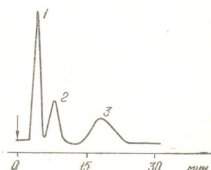


Рис. 3. Хроматограмма разделения смеси ацетонитрила (1), пропионитрила (2) и бутиронитрила (3). Температура колонки 150°C, скорость газа-носителя 40 мл/мин

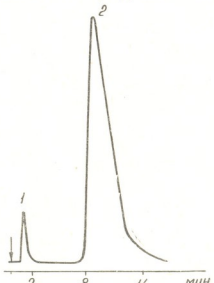


Рис. 4. Хроматограмма определения аммиака в воде. Температура колонки 100°C, скорость газа-носителя 40 мл/мин, 1-аммиак, 2-вода



$K_{ac} = 1,4$ , для этанола 1,1, ацетонитрила 1,3, гексана 1,6. Несколько большущие значения наблюдаются для аминов: для диэтиламина 1,8, триэтамина 2,0.

На исследуемом в работе АН-221 значения высоты эквивалентной теоретической тарелки для большинства соединений составляют 7—12 мм. По-видимому, можно получать аналогичные аниониты с более высокой хроматографической эффективностью, если для прививки ионогенных групп использовать полимеры с более однородной геометрической структурой.

Определена термическая стабильность АН-221 на дериватографе марки ОД-102 (Венгрия). Термограмма показывает, что деструкция анионита АН-221 начинается при температуре 180—200°, т. е. верхний температурный предел использования данного ионита ниже верхнего температурного предела полимерных сорбентов, уже используемых в газовой хроматографии. Однако, благодаря селективным свойствам, его применение в газовой хроматографии является перспективным. В данной работе анионит АН-221 был использован для разделения алифатических аминов, нитрилов и для определения амиака в воде (рис. 2—4).

Институт физической и органической химии им. П. Г. Меликшивили АН ГССР

Поступило 28.X.1977

Б. ШОЛОХОВА, Л. АБУЛАСВИЛИ, Т. АБДУЛЛОНОВА ЗАВОДСКАЯ, К. САКОДИНСКИЙ, Е. ЛУСТИГАРТЕН  
АНАЛИТИЧЕСКАЯ АВТОМАТИЗИРОВАННАЯ ХРОМАТОГРАФИЧЕСКАЯ СИСТЕМА

#### Л ю ბ ი უ მ ე

Шესტავლილი АН-221 მაკროფორმის ანიონიტის გაზ-ჭრომატოგრაფული თვისებები სხვადასხვა კლასის ნაერთთა მოლეკულების შეფარდებით შეკავებით დროების განსაზღვრის საფუძველზე.

დადგენილი მოცემული ნიმუშის ზოგიერთი ფიზიკურ-ქიმიური მახასიათებელი და თერმული შდგრადობა.

ნაჩვენებია, რომ ანიონიტი АН-221 აქტუალურს ურთიერთქმედების სპეციფიკურობას და მაღალ სელექციურობას სპირტებისა და ამინების მიმართ.

შესტავლილი სორბენტის სინტერესო თვისებას წარმოადგენს კარბონილური ნაერთების — კეტონების, ალდეჰიდებისა და მეთების შეუძლებელი ადსორბციის უნარი. ზოგიერთი ნივთერებისათვის გამოთვლილი შეკავების ინდექსები და ასიმეტრიულობის კოეფიციენტები.

გაზურ ჭრომატოგრაფიაში АН-221 ანიონიტის გამოყენება პერსექტიულად არის მიჩნეული.

N. M. GOGITIDZE, L. I. PANINA, T. G. ANDRONIKASHVILI,  
K. I. SAKODINSKI, E. I. LYUSTGARTEN

#### GAS-CHROMATOGRAPHIC PROPERTIES OF MACROPOROUS ANIONITE AH-221

##### Summary

Gas-chromatographic properties of macroporous anionite AH-221 were studied on the basis of determination of relative retention time for molecules of compounds belonging to different classes.

Some physical-chemical characteristics and thermal stability of a given sample were determined.

It was shown that anionite AH-221 had specific character of interaction, high selectivity with respect to amines and alcohols.

A peculiar ability of the studied sorbent is irreversible adsorption of carbonyl compounds: ketones, aldehydes, acids.

Indices of retention and coefficients of asymmetry were calculated for a number of substances.

Potential utilization of anionite AH-221 in gas chromatography is shown.

#### ЛІТЕРАТУРА — REFERENCES

1. Сакодынский К. И., Панина Л. И. Полимерные сорбенты в молекулярной хроматографии, изд. «Наука», М., 1977.
2. Ohzaki K. Sambara T. J. Chromatogr. 55, 319 (1971).
3. Hirsch R. F., Stoerger H. C., Kowblansky M., Huppner F. N. O'Connell A. W. Anal. Chem. 45, 2100 (1973).
4. Fritz I. S., Chang R. C., Anal. Chem. 46, 938 (1974).
5. Burnham A. K. Analyt. Chem. 44, 139 (1972).
6. Panina L. I., Klinskaya N. S., Sakodynskii K. I., Glazunova L. D. J. Chromatogr. 51, 77 (1973).
7. Клинская Н. С., Галицкая Н. Б., Панина Л. И., Сакодынский К. И., Стебенева И. Г. Свойства и применение сорбентов, М., изд. НИФХИ им. Л. Я. Карпова, 1976, 11.
8. Белякова Л. Д., Галицкая Н. Б., Киселев А. В., Пашков А. Б., Платонова Н. П. ДАН СССР, 210, 1117 (1973).
9. Белякова Л. Д., Галицкая Н. Б., Киселев А. В., Платонова Н. П., Стебенева И. Г. Коллоидный журнал, 38, 1060 (1976).
10. Белякова Л. Д., Киселев А. В., Люстгартен Е. И., Пашков А. Б., Платонова Н. П., Шевченко Т. И. ДАН СССР, 213, 1311 (1973).
11. Белякова Л. Д., Киселев А. В., Кучерова Т. И., Платонова Н. П., Шевченко Т. И. Коллоидный журнал, 37, 340 (1975).
12. Кирютенко В. М., Киселев А. В., Лыгин В. И. Коллоидный журнал, 37, 382 (1975).
13. Авгуль Н. Н., Бермакова Т. В., Белякова Л. Д., Воробьева Л. Д., Дадугина Н. Т., Киселев А. В., Мутник Т. Г. Коллоидный журнал, 39, 339 (1977).
14. Киселев А. В., Яшин Я. И. Адсорбционная хроматография, М., изд. «Наука», 1967.

УДК 549.67:772.96

А. Ю. КРУПЕННИКОВА, Л. К. КВАНТАЛИАНИ, Н. Г. ГИГОЛАШВИЛИ

## ТЕРМОГРАФИЧЕСКИЕ СВОЙСТВА МОДИФИЦИРОВАННОГО КЛИНОПТИЛОЛИТА

Одним из современных методов физико-химического анализа является метод термического анализа, который в последнее время находит все более широкое применение при глубоком исследовании свойств различных веществ.

При изучении минералов, в частности, цеолитовой природы термический анализ представляется одним из основных способов исследования.

В данной работе в качестве объектов изучения использовалась цеолитсодержащая порода Дзегвского месторождения Грузии с участка Хекордзула, предоставленная геологами производственного объединения «Грузгорнохимпром».

Целью проведенного исследования была обработка и испытание способов обогащения и ионообменного модифицирования природного клиноптилолита. Образцы готовились обработкой предварительно измельченного до тонкого порошка (0,08 меш) исходного материала. Первая стадия подготовки модифицированных форм заключалась в обработке I и раствором соляной кислоты, последующие — во взаимодействии с растворами хлоридов натрия, калия или аммония той же нормальности. Каждая отдельная ионообменная реакция длилась 1 час. Все соответствующие катионзамещенные формы получались путем 5-кратного контактирования реагентов. Соотношение твердой и жидкой фаз для всех случаев составляло 1 г:6 мл. Один из образцов, в отличие от остальных, готовился двухкратной обработкой смесью растворов кислоты и хлористого натрия и далее — раствором этой же соли.

По окончании обмена модифицированные формы отмывались дистиллированной водой от примесей реагентов, что контролировалось отсутствием хлор-ионов в фильтрате. Таким образом, для дальнейших сопоставлений было получено 6 образцов, промаркированных с указанием на введенные катионы: КЛП (клиноптилолитсодержащая порода, измельченная), НКл (порода, «облагороженная» кислотой) и ее модифицированные формы NaKл, KКл, NH<sub>4</sub>Kл, а также — HNaKл (комбинированно обработанный минерал).

В табл. I приведены результаты химического анализа природного и полученных образцов.

Ниже приводятся составы элементарных ячеек (эл. яч.) относительно мономинерализованных, видоизмененных по содержанию компонентов цеолитов.

Расчет эл. яч. по аналитическим данным исходной породы не представляется возможным из-за наложения загрязняющих фаз.

НКл	$\text{Ca}_{0,92}\text{Mg}_{0,51}\text{Na}_{1,28}\text{K}_{0,55}(\text{Al}_{4,52}\text{Si}_{31,36}\text{O}_{72})$	18 $\text{H}_2\text{O}$ ,
НаKл	$\text{Ca}_{0,8}\text{Mg}_{0,26}\text{Na}_{3,01}\text{K}_{0,03}(\text{Al}_{4,5}\text{Si}_{32,0}\text{O}_{72})$	18,8 $\text{H}_2\text{O}$ ,
ККл	$\text{Ca}_{0,53}\text{Mg}_{0,45}\text{Na}_{1,36}\text{K}_{1,87}(\text{Al}_{4,51}\text{Si}_{32,0}\text{O}_{72})$	18 $\text{H}_2\text{O}$ ,
NH <sub>4</sub> Кл	$\text{Ca}_{0,55}\text{Mg}_{0,32}\text{Na}_{0,08}\text{K}_{0,65}(\text{Al}_{4,9}\text{Si}_{31,5}\text{O}_{72})$	19 $\text{H}_2\text{O}$ ,
HNaKл	$\text{Ca}_{1,33}\text{Mg}_{0,32}\text{Na}_{2,67}\text{K}_{0,82}(\text{Al}_{5,06}\text{Si}_{31,4}\text{O}_{72})$	18 $\text{H}_2\text{O}$ .

Таблица I  
Химический состав клиноптиолитсодержащей породы и ее модифицированных форм

Оксидел, вес. %	Цеолит					
	КлП	НКл	НаKл	ККл	NH <sub>4</sub> Кл	HNaKл
SiO <sub>2</sub>	62,4	73,1	71,9	71,9	68,9	70,8
Al <sub>2</sub> O <sub>3</sub>	13,7	8,2	8,3	8,2	8,5	9,06
Fe <sub>2</sub> O <sub>3</sub>	1,5	0,7	0,5	0,7	0,7	0,7
CaO	4,8	2,0	1,7	1,1	1,2	2,8
MgO	1,4	0,8	0,4	0,7	0,5	0,5
Na <sub>2</sub> O	3,2	1,7	3,5	1,6	0,14	3,3
K <sub>2</sub> O	2,1	1,5	0,7	3,5	1,1	1,5
NH <sub>4</sub> <sup>+</sup>	—	—	—	—	6,1	—
H <sub>2</sub> O	11,5	12,5	12,7	12,6	12,7	12,5
Сумма	100,6	100,5	99,7	100,3	99,8	101,1

Содержание воды и кремнеземный модуль практически для всех образцов можно принять равнозначными. Завышение последнего показателя по сравнению с идеализированной эл. яч. клиноптиолита вполне закономерно, как следствие деалюминирования при действии кислоты. Сумма Al и Si для эл. яч., содержащей 72 атома кислорода, должна быть близка к 36 [1], чему и соответствуют рассчитанные нами значения.

По изменениям в катионном составе можно судить о степени влияния ионного обмена на химическую характеристику цеолита.

Сопоставление количественных величин эл.яч. натриевой, калиевой и аммонийной форм с предшествовавшим их образованию цеолитом, обработанным кислотой, выявляет неравнозначность вытесняющего действия отдельных катионов. Так, добавочный натрий расселяется, в основном, за счет калия, калий — за счет кальция, группа аммония, в первую очередь, за счет натрия, а также кальция. Наименьшую подвижность в принятых условиях опыта проявили катионы магния: после удаления избытка кислотой, оставшееся количество во всех вариантах претерпевает незначительные изменения, в основном под воздействием натрия.

Рассмотрение образца HNaKл дает возможность установить, что катионы кальция в клиноптиолите довольно прочно удерживают свои позиции, освобождение которых в большей степени обязано влиянию кислоты, чем «агрессивности» катионов натрия. Несколько неожиданно при сдвоенной обработке поведение калия: его количество, стабилиз-



зируемое действием кислоты, не поддается замещению натрием. Очевидно, одновременное участие в обмене протонов и катионов вызывает дислокацию всех видов катионов в кристаллах, отличающуюся по характеру от хода распределения катионов по позициям при различном воздействии кислоты и соли.

Для термографического исследования образцы помещались в экскатор до полного насыщения при постоянном парциальном давлении паров воды ( $P/P_s = 0,4$ , при комнатной температуре).

Условия эксперимента: скорость нагрева  $10^\circ/\text{мин}$ , эталон —  $\text{Al}_2\text{O}_3$ , чувствительность гальванометров: ДТГ — 1/5, ДТА — 1/10, ТГ-200.

Термические кривые клиноптиловитов наиболее характеристичны в интервале  $60—700^\circ$ . В этом интервале наблюдается эндотермический эффект, обусловленный дегидратацией образца. Максимум скорости дегидратации отмечается приблизительно при  $160^\circ$ .

Адсорбированная вода выделяется поэтапно. Это указывает на то, что из-за наличия различных катионов молекулы воды располагаются на энергетически неравнозначных участках кристаллической решетки клиноптиловита.

На кривых нагревания исходного клиноптиловита отмечается дополнительный высокотемпературный эндотермический эффект в интервале  $600—780^\circ$ .

С целью выяснения характера второго эффекта проверяли способность к регидратации образца относительно гидроксильной воды. Образец нагревался до конца второго эндотермического эффекта ( $780^\circ$ ) и регидратировался в экскаторе до полного насыщения, после чего образец вновь подвергался термическому анализу. Как показывают данные, из потерянной 1,2% воды цеолит восстановил — 1,0%.

Другую навеску того же образца нагревали до конечной температуры второго эффекта и снимали дериватограмму без восстановления воды. Выяснилось, что в температурном интервале второго эффекта потеря веса практически не происходит.

Таким образом, второй эффект обусловлен выделением воды из цеолита. Эта вода, по всей вероятности, гидросильная и ее потеря связана с изменением в кристаллической структуре цеолита. Указанный вывод подтвержден и рентгенографическими данными.

Общая потеря веса составляет 14,8%.

Термограммы водородной формы клиноптиловита сильно отличаются от исходной. На кривых нагревания водородного клиноптиловита отмечается только один эндотермический эффект, обусловленный дегидратацией образца. Вода выделяется одноэтапно, в сравнительно узком температурном интервале ( $60—300^\circ$ ), что имеет важное значение при практическом использовании этого цеолита. Содержание воды увеличивается до 16,3%.

Как видно из таблицы 2, с введением катионов натрия и калия содержание воды в образцах уменьшается.

На кривых ДТА появляется незначительный экзотермический эффект при температуре  $360^\circ$ . Высокая восстановительная способность этих цеолитов после экзотермической реакции дает основание полагать, что эффект не связан с разрушением структуры цеолита. Возможно, что после обработки растворами и последующей промывки образцов дегидратация прошла с некоторым ослаблением структуры и в пределах экзотермической реакции происходит упорядочение структуры [2].

Как видно из таблицы, термические данные продукта обработки природного клиноптиловита раствором  $\text{NaCl} + \text{HCl}$  практически не отличаются от натриевой формы того же клиноптиловита.

Было исследовано термическое разложение аммонийного птилолита.

На кривой ДТА этого цеолита отмечается один эндотермический эффект в температурном интервале 480—620°.

Таблица 2  
Термографическая характеристика модифицированного клиноптилолита

Образец	Общая потеря веса, вес. %	Эндотермическая реакция		Пик экзоэффекта, °C
		I эффект	II эффект	
КлП	14,8	60—440	660—780	—
НКЛ	16,3	60—300	—	—
NaКл	13,9	60—300	—	360
ККл	13,1	60—320	—	360
HNaKл	14,6	60—340	—	360
NH <sub>4</sub> Кл	15,3	50—280	—	550

Сопоставление кривой ДТА с кривыми ДТГ и ТГ позволяет заключить, что эндотермический эффект, как уже нами отмечалось ранее, связан с удалением адсорбированной воды.

Деаммонирование клиноптилолитов, по сравнению с цеолитами типа А, Х и Y, затруднено. На основании ранее полученных нами данных [3] можно заключить, что нагревание аммонийной формы клиноптилолита в течение 10 часов при 350—400° приводит только лишь к частичному деаммонированию. Полное деаммонирование клиноптилолита заканчивается только к концу экзотермического эффекта, что сопровождается сильными структурными изменениями цеолита.

Экзотермический эффект на кривой ДТА аммонийного клиноптилолита связан, главным образом, с реакцией окисления NH<sub>3</sub>, выделяющегося при деаммонировании. Дополнительный вклад в величину эффекта вносят реакции деаммонирования и дегидроксилирования и процесс деформации структуры.

Таким образом, общая потеря веса, которая наблюдается при нагревании NH<sub>4</sub>-клиноптилолита, складывается из потери адсорбированной воды, NH<sub>3</sub> и молекул воды, образовавшихся за счет гидроокислов.

При приготовлении катионзамещенных цеолитов, в том числе цеолитных катализаторов, в ряде случаев исходят из водородной (точнее, обработанной кислотой) формы с последующим введением металлического компонента [4]. Полученные результаты по испытанию модифицированных форм высококремнистого цеолита свидетельствуют о возможности совмещения для отдельных конкретных случаев реакций, связанных с изменениями катионного состава и кремнеземного модуля.

მოდიფიცირებული კლინოტილიტის თარიღობაზოული თვისებები

რეზიუმე

შემუშავებულია ხეკორძულის მიღამოს (საქ. სსრ, ქევე) ცეოლითის გამდიდრებისა და იონმიმოცვლითი მოდიფიცირების მეთოდებია. შედარებულია კლინოტილოლიტისა და შისი მევათი, ნატრიუმის, კალიუმისა და ამონიუმის ქლორიდებით დამუშავებული პროდუქტების თერმოგრაფიული მახასიათებლები.

ნაჩვენებია, რომ კლინოტილოლიტის სრული დეამონირება დაკავშირებულია იმ უკანასკნელის სტრუქტურაში მნიშვნელოვან ცვდილებებთან. დადგენილია ცეოლითის სხვადასხვა რეაგენტით ერთდროული დამუშავების შესაძლებლობა კატიონური შედგენილობისა და ალუმინიუმის შოდულის შეცვლის მიზნით.

A. YU. KRUPENNIKOVA, L. K. KVANTALIANI, N. G. GIGOLASHVILI

THERMOGRAPHIC PROPERTIES OF MODIFIED CLINOPTILOLITES

Summary

Rock containing clinoptilolite from Dzegvi deposit and its modified forms have been studied.

A change of the elementary unit composition is shown depending on processing by solutions of hydrochloric acid and sodium, potassium and ammonium chlorides.

It is found that thermograms of the hydrogen form considerably differ from the original ones. The hydrogen form has a greater adsorption ability.

The obtained results on tests of modified forms of the natural clinoptilolite confirm the possibility of combining into one procedure both processing with acid solutions and with salt ones that simplifies the process of obtaining of cation substituted and deammoniated zeolites.

ლიტერატურა — REFERENCES

- Белицкий И. А., Букин Г. В. Сб. Материалы по генетической и экспериментальной минералогии, 4, изд. «Наука», СО, Новосибирск, 10, 1966.
- Цицишвили Г. В., Крупеникова А. Ю., Кванталиани Е. К., Мамулашвили М. В., Микелашвили З. В. Изв. АН СССР, Неогр. матер., 11, 9 (1975).
- Кванталиани Е. К., Цицишвили Г. В. Сообщ. АН ГССР, 73, 1, 89 (1974).
- Миначев Х. М., Исааков Я. И. Металлосодержащие цеолиты в катализе. Изд. «Наука», М., 7, 1976.

УДК 535.34.549.67

Ш. И. СИДАМОНИДЗЕ, Г. В. ЦИЦИШВИЛИ, В. И. ЯКЕРСОН, Л. И. ЛАФЕР,  
И. И. ИАШВИЛИ, М. Н. ГВИЛАВА

## ИЗУЧЕНИЕ ФОРМИРОВАНИЯ Н-ОФФРЕТИТА И ЕГО КИСЛОТНЫХ СВОЙСТВ МЕТОДОМ ИК-СПЕКТРОСКОПИИ

Особый интерес среди синтетических цеолитов заслуживают высококремнистые цеолиты типа оффретита, морденита, L и др. Высокую катализитическую активность и селективность этих цеолитов приписывают кислотности, возникающей при декатионировании в водной среде обменом на протон или при термическом разложении таких катионных форм, которые способны давать летучие продукты и протон в решетке цеолита в качестве компенсирующего катиона. Ниже изложены результаты исследования формирования Н-оффретита из тетраметиламмониевой формы оффретита и адсорбции сильного основания — амиака на этой Н-форме оффретита.

В качестве исходных образцов использовали тетраметиламмониевую (TMA) форму цеолита—оффретита, синтезированного по методу [1], Н-форму оффретита, полученную разложением в вакууме при 450° ТМА-формы оффретита. Рентгенографическое исследование и сопоставление с данными литературы показали, что исходная форма представляет собой цеолит типа оффретита, структура которого не изменяется в процессе термической обработки вплоть до наиболее высокой из примененных в данной работе температур — 450°. ИК-спектроскопическое исследование проводили по методу, описанному в [2].

Спектр цеолита не подвергался изменению после нагревания образца до 100° (рис. 1). Термолиз ТМА-формы цеолита не протекает и при более высокой температуре (нагревание с откачкой при 200°), однако интенсивность полосы 1650 см<sup>-1</sup> резко уменьшается и, кроме того, уменьшается интенсивность полосы в области 3300—3600 см<sup>-1</sup>. Следовательно, и при 200°C катион TMA сохраняет свою структуру, а изменения в спектре обусловлены удалением молекулярно адсорбированной воды, отличительным признаком которой служит полоса деформационных колебаний при 1650 см<sup>-1</sup>. Метод дифференциального термического анализа (DTA) показывает, что эндотермический эффект удаления воды наблюдается при 160° [3] в согласии с ИКС-данными.

Разложение ТМА формы наблюдается при температуре 300°; в результате ИК-спектр претерпевает сильные изменения: полосы поглощения при 1350, 1600 и 1650 см<sup>-1</sup> из спектра исчезают, падает интенсивность полос 1430, 1480, 3020 и 3300—3600 см<sup>-1</sup>, однако поглощение и интенсивность полос при 2915, 2950 и 3740 см<sup>-1</sup> не меняются. После нагревания образца при 400° (и откачки до  $p = 10^{-4}$  тор) контур спектра продолжает меняться: из ИК-спектра полностью исчезают полосы поглощения при 1430 и 3020 см<sup>-1</sup>, еще в большей степени уменьшается интенсивность полос при 1480, 2915 и 2950 см<sup>-1</sup>, а в области валентных колебаний OH-групп проявляются два четких максимума при 3630 и



3740  $\text{cm}^{-1}$ . Наконец, термообработка образца при 450° (р=10<sup>-4</sup> Торр) привела к исчезновению из спектра всех полос поглощения ТМА-катионов: в области ОН-валентных колебаний в спектре наблюдаются четыре полосы поглощения при 3540, 3610, 3650, 3740  $\text{cm}^{-1}$ . Таким образом, в начале при термической обработке ТМА-оффретита из цеолита

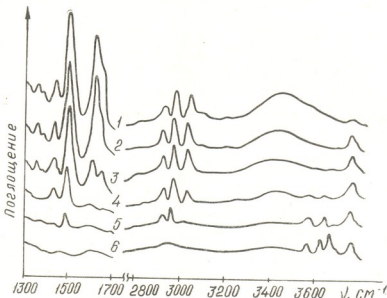


Рис. 1. ИК-спектры цеолита ТМА-оффретита, снятые после поэтапной термовакуумной обработки при: 1)  $p=10^{-4}$ ,  $t=25^\circ$ ; 2)  $p=10^{-4}$ ,  $t=100^\circ$ ; 3)  $p=10^{-4}$ ,  $t=200^\circ$ ; 4)  $p=10^{-4}$ ,  $t=300^\circ$ ; 5)  $p=10^{-4}$ ,  $t=400^\circ$ ; 6)  $p=10^{-4}$ ,  $t=450^\circ$

удаляется молекулярно адсорбированная вода (начало десорбции воды  $>100^\circ$ ), десорбция протекает интенсивно при 200° и полностью завершается при 300°. ТМА-катионы подвергаются разложению при  $\geq 300^\circ$ ; так в спектре образца, прогретого при 400°, уменьшается интенсивность валентных и деформационных колебаний  $\text{CH}_3$ -групп (2950, 2915, 1480  $\text{cm}^{-1}$ ) в согласии с данными [4]. По данным [4] максимальная скорость разложения ТМА-формы в токе  $\text{N}_2$  (ДТА-анализ) наблюдается при 410°, однако уменьшение интенсивности полос ТМА-катионов по спектральным данным наблюдается при вакуумной обработке образца уже при 100—200°. По данным настоящей работы ТМА-катионы более устойчивы и не подвергаются разложению ниже 300°. Несколько непонятно изменение ИК-спектра при температуре обработки 300°. Однако, если предположить, что при получении ТМА-формы может производить частичный гидролиз с образованием аммиака, адсорбированного на Н-форме, иными словами спектр ТМА-оффретита можно рассматривать, вероятно, как спектр ТМА с примесью  $\text{NH}_4$ -формы.

Формирование гидроксильного покрова из ТМА-оффретита заканчивается при температуре 450°, причем три полосы (3450, 3610, 3650  $\text{cm}^{-1}$ ) принадлежат структурным ОН-группам оффретита, а полоса 3740  $\text{cm}^{-1}$ , наблюдающаяся и в спектре исходного цеолита, — сильольным Si—OH группам примеси кремнезема или группам, расположенным на внешней поверхности цеолита. Эти последние Si—OH группы, спектр которых не изменяется на протяжении всего разложения образца, не принимают участия в формировании и во взаимодействии с ТМА-катионами. В отличие от разложения ТМА-формы, офф-

офретита, описанного в работе [4], продукты разложения образца <sup>ТМА-оффретита</sup> изученного в настоящей работе, сразу выходят в газовую фазу, минуя процесс метоксилирования структурных OH-групп цеолита. Рассматривая формирование гидроксильных групп в динамике, следует обратить внимание на более раннее образование OH-групп с частотой 3030 см<sup>-1</sup> (уже при 400°); это указывает на неравнозначность OH-групп в структуре цеолита, а с точки зрения кислотно-основного взаимодействия — на более слабые кислотные свойства OH-групп с частотой 3630 см<sup>-1</sup>. В соответствии с [4] протон, источником которого служит ТМА-катион, может взаимодействовать с тремя различными типами кислорода в решетке, образуя три разных типа OH-групп.

По аналогии с отнесением OH-групп в эрионите (а топология каркаса оффретита и эрионита аналогична), можно предположить [5], что OH-группы, выраженные полосами поглощения 3610 и 3650 см<sup>-1</sup> расположены в больших полостях, а полосами поглощения 3540 см<sup>-1</sup> внутри шестичленного кислородного кольца или внутри канкринитовой ячейки.

Спектр колебания каркаса также претерпевает изменения по мере разложения ТМА-формы. Исходный спектр характеризуется полосами поглощения при 500, 590, 618, 655, 735, 750—770, 800, 1000—1230 см<sup>-1</sup>, не претерпевающими изменения вплоть до 300° (рис. 2). После разложения ТМА-формы ИК-спектр колебаний каркаса изменяется и упрощается: полоса при 500 см<sup>-1</sup> расщепляется на две полосы при 460 см<sup>-1</sup> и 500 см<sup>-1</sup>, полоса при 590 см<sup>-1</sup> сдвигается до 600 см<sup>-1</sup>, полоса при 618 и 655 см<sup>-1</sup> испытывает высокочастотный сдвиг до 630 и 670 см<sup>-1</sup>, полоса поглощения при 735—770 см<sup>-1</sup> исчезает, а полоса при 800 см<sup>-1</sup> испытывает высокочастотный сдвиг до 810 см<sup>-1</sup>.

Согласно данным по колебаниям каркаса цеолитов [5—8] полосу поглощения в области 770—800 см<sup>-1</sup> относят к симметричным валентным колебаниям Si—O или по внешним связям тетраэдров TO<sub>4</sub> в каркасной структуре, полосы в области 590—630 см<sup>-1</sup> относят к колебаниям сдвоенных колец в цеолитной структуре; для симметричных валентных колебаний внутри тетраэдров TO<sub>4</sub> характерна полоса при 670 см<sup>-1</sup> и наконец, антисимметричные валентные колебания по внешним связям тетраэдров и внутри тетраэдров характеризуются полосами поглощения при 1000—1230 см<sup>-1</sup>. Полоса деформационных колебаний T—O при 460 см<sup>-1</sup> хорошо проявляется в спектре лишь после прогревания цеолита. Характеристические колебания каркаса (цепочные колебания или колебания сдвоенных колец) в области 500—650 см<sup>-1</sup> свидетельствуют о полном сохранении структуры цеолита после декатерилизации, однако изменения в спектре при удалении катиона ТМА в согласии с [6] свидетельствуют о сильном влиянии катиона (в данном случае ТМА) на спектр колебаний каркаса. Это влияние может быть двоякого рода: а) ТМА-катион оказывает сильное коллективное влияние на решетку цеолита через изменение полярности связей в T—O в тетраэдрах TO<sub>4</sub>; такое влияние было обнаружено в [6] и заклю-

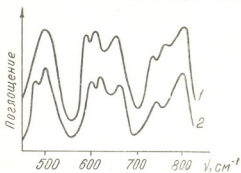


Рис. 2. ИК-спектры цеолита ТМА-оффретита в области колебаний каркаса, снятые после поэтапной термовакуумной обработки при 1)  $p=10^{-3}$ ,  $t=25^{\circ}$ , 2)  $p=10^{-4}$ ,  $t=450^{\circ}$



чалось в обратимом смещении полос поглощения каркаса при адсорбции бутиламина, пропилена и воды; б) при разложении крупных по размерам ТМА-катионов могут протекать некоторые изменения параметра решетки, что также будет сказываться на колебательном спектре каркаса оффретита.

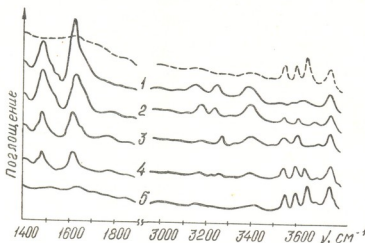


Рис. 3. ИК-спектры декатионированной формы цеолита оффретита после: 1) адсорбции аммиака, при  $p=25$  тор,  $t=20^\circ$  и поэтапной термовакуумной обработки при: 2)  $p=10^{-4}$ ,  $t=100^\circ$ ; 3)  $p=10^{-4}$ ,  $t=200^\circ$ ; 4)  $p=10^{-4}$ ,  $t=300^\circ$ ; 5)  $p=10^{-4}$ ,  $t=400^\circ$

Адсорбция  $\text{NH}_3$  на Н-форме оффретита при  $20^\circ$  приводит к появлению в спектре полос поглощения при  $1480$ ,  $1630$ ,  $3150$ ,  $3240$  (широкая),  $3370$  (макс) (рис. 3); полосы поглощения структурных OH-групп цеолита после адсорбции исчезли из спектра, а полоса поглощения силианольных OH-групп при  $3740\text{ cm}^{-1}$  осталась без изменений. Откачка адсорбированной фазы при  $100^\circ$  сопровождается смещением полосы при  $3150\text{ cm}^{-1}$ , уменьшением интенсивности полосы  $3240\text{ cm}^{-1}$  и возникновением слабых полос при  $3550$ ,  $3610$  и  $3680\text{ cm}^{-1}$ . Десорбция при  $200^\circ$  приводит к дальнейшему усилению поглощения в области  $3550$ — $3680\text{ cm}^{-1}$ , уменьшению интенсивности полос  $1480$ ,  $1630$ ,  $3190$  и  $3380\text{ cm}^{-1}$  и смещению полосы при  $3240$  и  $3270\text{ cm}^{-1}$ . После термодесорбции при  $300^\circ$  интенсивность полос  $1480$ ,  $1630$ ,  $3190$ ,  $3270$  и  $3380\text{ cm}^{-1}$  уменьшается, а полоса при  $3550$ — $3680\text{ cm}^{-1}$  увеличивается. Наконец, нагревание при  $400^\circ$  полностью восстанавливает исходный спектр. Можно сделать вывод, что адсорбция аммиака протекает быстро уже при  $20^\circ$  и сопровождается взаимодействием со всеми тремя типами OH-групп, которые по аммиаку являются все кислотными. Именно основные свойства аммиака и малые размеры его молекул являются причиной вовлечения в реакцию всех OH-групп, не давая (широкая),  $3370$  (макс) (рис. 3); полосы поглощения структурных OH-групп па, которой отвечает полоса при  $3740\text{ cm}^{-1}$ , является некислотной. В системе  $\text{NH}_3$ —Н-форма оффретита наблюдается три типа взаимодействия:

- 1) Физически адсорбированный аммиак характеризуется полосой деформационных колебаний N—H при  $1630\text{ cm}^{-1}$  и полосой валентных колебаний  $\text{NH}_3(\text{адс})$  при  $3240$  и  $3270\text{ cm}^{-1}$  [4]; частоты этих физически адсорбированных молекул несколько смещены по сравнению с известными частотами в ИК-спектре молекул, физически адсорбированных на поверхности окислов [9], что объясняется, по-видимому, сильным си-

ловым полем в узких каналах оффретита и межмолекулярным взаимодействием. Физически адсорбированные молекулы аммиака удаляются десорбцией при 100°.

2) Ион аммония  $\text{NH}_4^+$ , возникающий при адсорбции  $\text{NH}_3$  на всех трех типах OH-групп, образуется уже при комнатной температуре и характеризуется полосами поглощения деформационных колебаний  $\text{NH}_4^+$  при 1480  $\text{cm}^{-1}$  и валентных колебаний N—H в  $\text{NH}_4^+$ -ионе при 3150—3190  $\text{cm}^{-1}$ . Ион аммония полностью разлагается выше 300°, т. е. тогда, когда восстанавливается спектр OH-групп. Сопоставление данных по ДТА аммонийных форм различных типов цеолитов позволяет изобразить следующий ряд термостабильности  $\text{NH}_4\text{X}$  (250°) [10, 11] <  $\text{NH}_4\text{Y}$  (325°) <  $\text{NH}_4\text{OFF}/3$  <  $\text{NH}_4\text{Э}$  (450°) [12] <  $\text{NH}_4\text{M}$  (500°) [13]. В этом ряду, в котором отношение  $\text{SiO}_2/\text{Al}_2\text{O}_3$  растет, растет и прочность связи  $\text{NH}_4^+$ -иона с решеткой цеолита, отражая кислотно-основную природу взаимодействия. Следовательно, протонная кислотность Н-формы оффретита больше, чем цеолита типа Y, но меньше, чем цеолита типа эриоцита.

3) Как известно, полосы поглощения физически адсорбированного аммиака налагаются на полосы поглощения  $\text{NH}_3$ , связанного с поверхностью координационной связью [9]. Критерием обычно является термостабильность соответствующих полос поглощения, поскольку при повышенных температурах на поверхности могут оставаться только координационно связанные (т. е. хемосорбированные), а не физически адсорбированные молекулы. Молекулы  $\text{NH}_3$ , адсорбированные на льюисовских центрах оффретита, обнаруживаются в ИК-спектре полосы поглощения деформационных колебаний  $\text{NH}_3$  (адс.) при 1630 и валентные колебания N—H в  $\text{NH}_3$ (адс.) при 3270 и 3380  $\text{cm}^{-1}$  [4]. Удаление координационно связанного  $\text{NH}_3$  протекает в той же области температур, что и разложение иона аммония. Так как данный образец оффретита по условиям синтеза кроме ТМА, содержит также ионы калия и натрия, полосы поглощения координационно связанного аммиака обусловлены наличием этих катионов и льюисовскими кислотными центрами. В отличие от [4] льюисовские центры в данном образце связаны не с процессом дегидроксилирования (он протекает выше 600°), а возникают после вакумной обработки образца при 450°; не исключено, что эти центры возникли в цеолите в процессе синтеза ТМА-формы.

Тбилисский государственный университет

Поступило 15.IV.1978

ე. ციცავაძემ, გ. ციცავაძე, ვ. იაკოჩიძე, ლ. ლაუმილი, ი. იავალი, ვ. გვილავა

Н-ოფრეტიტის ფორმირებისა და მისი გავარები თვისებების ინ-სპექტროსკოპიზმის  
გეორგიევის გასამართვა

### რეზიუმე

ინ-სპექტროსკოპის მეთოდით შესწავლილია H-ოფრეტიტის ფორმირება მისი ტეტრამეთოლამონიუმის (ტმ) ფორმიდან და ამიაქის ალორბცია H-ფორმაზე.

ტმ—OFF ფოლითის ეტაპზე თერმულ-ვაკუუმური დამუშავების შემდეგ დაფინდა, რომ 20°-სა და  $p=10^{-4}$  ტორ პირობებში 1650  $\text{cm}^{-1}$

შთანთქმის ზოლის ინტენსივობის შემცირება გაძირობებულია მოლეკულური და აღსორბირებული წყლის მოცილებით.

ტბა-ფორმის დაშლა წარმოებს მაღალი ( $>300^\circ$ ) ტემპერატურის პირობებში, რაც იწვევს ნიმუშის ი. წ. სპექტრის ყვლილებებს. ტბა კატონების სრულ მოცილებას თან ახლავს სავალენტო რევების უბანში პილროქსილური ჯგუფების მკვეთრი შთანთქმის ზოლების გამომელავნება (3540, 3610, 3650, 3740 ს.წ.).

ამიაკის აღსორბულ და ნიმუშის შემდგომმა დამუშავებამ სხვადასხვა წნევისა და ტემპერატურის პირობებში ( $t=100^\circ, 200^\circ, 300^\circ, 400^\circ$  დ  $p=10^{-4}$  ტორ) გვიჩენა. რომ უკე 20°-ზე ამიაკის აღსორბული მიმდრინებობს საქმიან ძლიერად, რომელსაც თან სდევს ურთიერთქმედება სამი ტიპის OH-ჯგუფებთან, რომელიც ამიაკის — ძლიერი ფუძის მიხედვით — ყველა მეოურია, გარდა 3750 ს.წ. შთანთქმის ზოლის მქონე OH-ჯგუფებისა.

SH. I SIDAMONIDZE, G. V. TSITSISHVILI, V. I. YAKERSON, L. I. LAFER,  
I. I. IASHVILI, M. N. GVILAVA

## STUDIES OF FORMATION OF H-OFFRETTITE AND ITS ACIDIC PROPERTIES BY USING IR-SPECTROSCOPY

### Summary

IR-spectroscopy was used to study formation of H-offretite from tetramethyl ammonium (TMA) form of offretite and ammonia adsorption from this form of H-offretite.

Step by step thermal vacuum treatment of TMA—OFF sample showed that at 20°C and residual pressure  $p=10^{-4}$  a decrease of the intensity of the 1650  $\text{cm}^{-1}$  absorption band was caused by removal of molecularly adsorbed water.

Degradation of TMA-form of offretite is observed at the temperature 300° and when the sample is heated at 400° the change of IR-spectrum is related with the further decomposition of TMA cations.

A complete disappearance of absorption bands for TMA cations at 450° is followed by appearance of distinct absorption bands of hydroxyl groups (3540, 3610, 3650, 3740  $\text{cm}^{-1}$ ).

Characteristic oscillations of the core in the range of 500—650  $\text{cm}^{-1}$  show a complete conservation of the zeolite structure after decationization, however, changes in the spectrum when TMA cation is removed show a strong influence of the cation on core oscillation spectrum.

Adsorption of ammonia and the following thermal vacuum treatment of the sample (at  $t=100^\circ, 200^\circ, 300^\circ, 400^\circ$  and  $p=10^{-4}$ ) show that ammonia adsorption proceed already fast at 20° and is accompanied by interaction with three types of OH-groups being all acidic with respect to ammonia, the latter is a strong base, except OH-groups with the absorption bands 3740  $\text{cm}^{-1}$ .

1. A illo R., V a g g e R. M. J. Chem. Soc., Section A, 1470—1475 (1970).
  2. Сидамонидзе Ш. И., Иашвили И. И., Гвилава М. Н. Изв. АН ГССР, сер. хим., 3, 228 (1978).
  3. Whyte T. E., Wu E. L., Kegg G. T., Venuto P. B. J. Catal. 20, 88 (1971).
  4. Wu E. L., Whyte I. E., Venuto P. B. J. Catal., 21, 384 (1971).
  5. Набиев Б. А. ИОХ АН СССР, Кандидатская диссертация, 1976.
  6. Шикунов Б. И., Ладе Л. И., Якерсон В. И., Мишин О. О., Рубинштейн А. М. Изв. АН СССР, сер. хим. 204, (1972).
  7. Flanigan E. M., Chatami H., Szymanski U. A. The Sec. Int. conf. of Mol. Sieves, Worcester USA, (1970).
  8. Набиев Б. А., Лафер Л. И., Якерсон В. И., Рубинштейн А. М. Изв. АН СССР, сер. хим., 1017, (1975).
  9. Литтл А. Л., Инфракрасные спектры адсорбированных молекул, М., «Мир», 46, 238, 1969.
  10. Жданов С. П., Киселев А. В., Лыгин В. И., Титова Т. И. Сб. Цеолиты, их синтез, свойства и применение, «Наука», 53, (1965).
  11. Жданов С. П., Киселев А. В., Лыгин В. И., Титова Т. И. ЖДХ, 38, 2408 (1964).
  12. Рискин Я. И., Жданов С. П., Гессен И. В., Митропольский Н. А., Ставицкая Т. П., Шубаева М. А. Теор. экспер. химия, 3, 324 (1967).
  13. Шикунов Т. И., Мишин И. В., Пилойн Г. А., Клячко-Гурвич А. Л., Лафер Л. И., Якерсон В. И., Рубинштейн А. М. Изв. АН СССР, 767, (1973).
-

УДК 541.147:542.943

К. Б. ИОСЕЛИАНИ, И. Л. ЭДИЛАШВИЛИ, Н. Ф. ДЖАНИБЕКОВ

## МЕХАНИЗМ АНТИОКСИДАЦИОННОГО ДЕЙСТВИЯ НЕКОТОРЫХ СОЛЕЙ О,О-ДИАРИЛДИТИФОСФОРНЫХ КИСЛОТ В ФОТОХИМИЧЕСКИХ РЕАКЦИЯХ

В последнее время соли О,О-диаридитнофосфорных кислот находят широкое применение в качестве присадок к маслам и топливам [1]. Присутствие в молекулах этих соединений различных функциональных групп придает им свойства УФ-абсорберов, антиоксидантов, термо- и фотостабилизаторов полимеров и других органических систем, что способствует расширению области их применения [2].

Установлено, что соли диалкилдигидрокарбаминовых кислот, тиобисфенолов, шиффовых оснований и др. являются эффективными тушителями кислорода, находящегося в электронновозбужденном синглетном состоянии («синглетный кислород») [3].

Нами синтезированы соли [4]: О,О-дифенил-(ФДТФ), О,О-ди-п-крезил-(КДТФ), О,О-ди-п-третбутилфенил-(ТБДТФ), 2,2<sup>1</sup>-тио-бис-О,О-ди-третбутилфенил(ТБФ) и 2,2<sup>1</sup>-метилен-бис-О,О-ди-п-третбутилфенил-(МБФ) дитиофосфорных кислот (таблица 1).

Перспектива применения указанных солей для решения практически важных задач способствовала исследованию механизма их сверхстабилизирующего действия.

Кинетические закономерности светостабилизирующего действия исследуемых солей изучали на примере модельной системы-фотоокисления конденсированного ароматического углеводорода рубрена в бензоле, протекающего при участии синглетного кислорода [5].

Освещение растворов ( $[C]=10^{-4}$  моль/л) проводили в прямоугольных кюветах с толщиной поглощающего слоя 1 см. Источником световой энергии служила ртутная лампа СВД-120А, питаемая через феррорезонансный стабилизатор. Свет от лампы к образцу проходил через тепловой фильтр, затем через конденсатор и светофильтр ЖС-17, поглощающий свет  $\lambda < 450$  нм. Возбуждение рубрена в указанных условиях происходило практически монохроматическим светом  $\lambda = 546$  нм. Скорость фотоокисления рубрена в фотооксид определяли по изменению оптической плотности раствора при длине волны  $\lambda = 525$  нм. Спектры поглощения измеряли на спектрофотометре СФ-4А, спектры флуоресценции — на монохроматоре УМ-2.

Концентрация светостабилизаторов при определении констант скорости тушения синглетного кислорода подбиралась экспериментально и для эффективных тушителей равнялась  $10^{-5}$  моль/л, а для других соединений изменялась в пределах  $10^{-4}$ — $10^{-3}$  моль/л.

Колебания интенсивности света в экспериментах 10—15% [6].

Фотохимическое превращение рубрена в присутствии тушителей синглетного кислорода  ${}^1\text{O}_2$  включает следующие элементарные стадии [5]:

- 1)  $\text{Ru} + h\nu \rightarrow \text{Ru}^x \rightarrow {}^3\text{Ru}^x$
- 2)  ${}^3\text{Ru}^x + {}^3\text{O}_2 \rightarrow \text{Ru} + {}^1\text{O}_2$   $K_{{}^3\text{O}_2}$
- 3)  $\text{Ru} + {}^1\text{O}_2 \rightarrow \text{RuO}_2$   $K_r$
- 4)  ${}^1\text{O}_2 \rightarrow {}^3\text{O}_2$   $K_d$
- 5)  ${}^3\text{O}_2 + Q \rightarrow \uparrow \text{неактивные продукты } K_q$

где  $\text{Ru}$ ,  $\text{Ru}^x$  и  ${}^3\text{Ru}^x$  — невозбужденная, синглетно-возбужденная и триплетно-возбужденная молекула рубрена,  ${}^3\text{O}_2$  и  ${}^1\text{O}_2$  — неаэробужденная и синглетно-возбужденная молекула кислорода,  $Q$  — тушитель.  $K_r$ ,  $K_d$ ,  $K_q$  соответственно константы скорости взаимодействия синглетного кислорода с рубреном, самопроизвольной дезактивации и тушения синглетного кислорода добавкой.

Антискислительное действие различных присадок в зависимости от строения и наличия различных функциональных групп, наряду с тушением синглетного кислорода (стадия 5), может быть обусловлено абсорбцией возбуждающего света (эффект экранирования), тушением синглетно-возбужденных и триплетно-возбужденных молекул рубрена, а также взаимодействием с трансаннулярым фотооксидом.

Абсорбция возбуждающего света исследуемыми соединениями практически исключалась, т. к. спектры их поглощения расположены в более коротковолновой части ( $<450$  нм), чем полоса возбуждающего света (546 нм). Для отдельных соединений длинноволновая часть поглощения достигла области 550 нм, но при используемых концентрациях доля поглощенного ими возбуждающего света была незначительной.

Измерениями флуоресцентных характеристик растворов рубрена ( $10^{-4}$  моль/л) в присутствии исследуемых солей ( $10^{-4}$ — $10^{-5}$  моль/л) установлено, что они слабо тушат флуоресценцию и, следовательно, процесс их взаимодействия с синглетно-возбужденными молекулами рубрена вносит незначительный вклад в общий эффект их антиокислительного действия.

Из кинетической схемы фотоокисления рубрена в присутствии тушителя синглетного кислорода следует:

$$1/\Phi_{\text{RuO}} = 1/\Phi_{{}^3\text{O}_2} [1 + (K_d/K_r + K_q [Q]/K_r) \cdot 1/[Ru]], \quad (1)$$

где  $\Phi_{\text{RuO}}$  и  $\Phi_{{}^3\text{O}_2}$  — квантовые выходы фотоокисления рубрена и образования синглетного кислорода. Следовательно, между обратной величиной квантового выхода фотоокисления  $1/\Phi_{\text{RuO}}$  и обратной концентрацией рубрена  $1/[Ru]$  должна существовать линейная зависимость.

Если допустить, что  $Q$  не тушит синглетный кислород, а взаимодействует только лишь с триплетно-возбужденными молекулами углерода ( ${}^3\text{Ru}^x + Q \xrightarrow{K_Q} \text{Ru} + Q$ ), то принятное в кинетической схеме равенство квантовых выходов образования синглетного кислорода и триплетно-возбужденных молекул рубрена не будет соблюдаться  $\Phi_{{}^3\text{O}_2} \neq \Phi_{{}^3\text{Ru}^x}$  и тогда [3]:

$$1/\Phi_{\text{RuO}} = 1/\Phi_{{}^3\text{Ru}^x} \cdot (1 + K_Q [Q] / K_{{}^3\text{O}_2} [O_2]) (1 + K_d/K_r [\text{RuO}]). \quad (2)$$

В выражении (2) так же, как и в (1) должна соблюдаться линейная зависимость между  $1/\Phi_{\text{RuO}}$  и  $1/[Ru]$ . Однако в отличие от (1), из выражения (2) следует, что величина отрезка, отсекаемого на оси ординат, оказывается зависящей от  $[Q]$ .

Измерение квантовых выходов фотоокисления при различных концентрациях рубена ( $10^{-4}$ — $10^{-3}$  моль/л) как в отсутствие, так и в присутствии солей Ni и Co ( $10^{-5}$ — $3 \cdot 10^{-5}$  моль/л) показали, что

Таблица 1

Значения констант скорости тушения  $K_3$  синглетного кислорода металлическими солями 0,0-диарилдитиофосфорной, 2,2<sup>1</sup>-тио-бис- и 2,2<sup>1</sup> метилен-бис-арилдитиофосфорной кислот в бензоле

Структурная формула	Тушитель	л/моль сек
	ФДТФ — Ni ФДТФ — Co ФДТФ — Cu ФДТФ — Zn ФДТФ — Pb ФДТФ — Cr	$1,5 \cdot 10^9$ $1,3 \cdot 10^9$ $1,7 \cdot 10^6$ $5 \cdot 10^6$ $3,4 \cdot 10^7$ $3,2 \cdot 10^6$
0,0-ди-п-ксиолидитиофосфат (КДТФ)	КДТФ — Ni КДТФ — Co КДТФ — Cu	$2,3 \cdot 10^9$ $1,1 \cdot 10^9$ $2 \cdot 10^6$
	ТБДТФ — Ni ТБДТФ — Co ТБДТФ — Cu	$2,3 \cdot 10^9$ $1,2 \cdot 10^9$ $7 \cdot 10^6$
0,0-ди-п-трет-бутилфенилдитиофосфат (ТБДТФ)	ТБФ — Ni ТБФ — Co ТБФ — Zn ТБФ — Pb	$2,2 \cdot 10^9$ $8,7 \cdot 10^8$ $4,3 \cdot 10^6$ $10^7$
2,2 <sup>1</sup> -тио-бис-0,0-ди-п-трет-бутилфенилдитиофосфат (ТБФ)	МБФ — Ni МБФ — Co МБФ — Pb МБФ — Sn МБФ — Cd	$2,7 \cdot 10^8$ $1,8 \cdot 10^8$ $4,3 \cdot 10^7$ не тушат
2,2 <sup>1</sup> -метилен-бис-0,0-ди-п-третбутилфенилдитиофосфат (МБФ)		

$1/\Phi_{\text{RuO}}$  и  $1/[\text{Ru}]$  наблюдается линейная зависимость. С повышением концентрации солей увеличивается угловой коэффициент прямой, но при этом величина отрезка, отмечаемого на оси ординат, и, следовательно, значение квантового выхода синглетного кислорода остаются постоянными. Кроме того, было установлено, что угловой коэффициент указанной зависимости практически не изменяется от изменения концентрации кислорода (в пределах  $1,44$ — $7,2 \cdot 10^{-3}$  моль/л). Эти факты сви-

действуют о том, что тушение триплетно-возбужденных молекул добавками, если и происходит, то в условиях экспериментов оно ~~заряжает~~ ~~запускает~~ чрезвычайно.

На рисунке 1 в качестве примера приведены типичные для исследуемых соединений зависимости обратных величин квантовых выходов фотоокисления от обратной концентрации рубрена в присутствии O<sub>2</sub>-O-(ди-п-трег-бутилфенил) дитиофосфата Ni.

Соли диарил- и диалкилдитиофосфорных кислот относят к антиокислителям, тормозящим окислительные процессы за счет разложения перекисных соединений [1, 3]. Результаты проведенных нами опытов показали, что на неглубоких стадиях превращения рубрена, когда концентрация перекиси в растворе не превышает  $10^{-5}$ — $2 \cdot 10^{-5}$  моль/л, скорость процесса взаимодействия с исследуемыми добавками незначительна. Эти результаты согласуются с данными, полученными при исследовании влияния комплексных соединений диалкилдитиокарбаматов металлов [7].

Константы скорости тушения синглетного кислорода исследуемыми слоями определяли из выражения (3) [3]:

$$K_q = (K_r [Ru]_0 + K_d)/Q \cdot \left[ \left( \frac{d[Ru]}{dt} \right)_0 \mid \left( \frac{d[Ru]}{dt} \right)_Q - 1 \right] \quad (3)$$

где  $[Ru]_0$  — начальная концентрация рубрена ( $10^{-4}$  моль/л),  $(d[Ru]/dt)_0$  и  $(d[Ru]/dt)_Q$  — начальные скорости превращения рубрена в

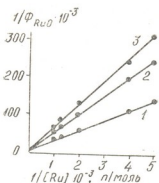


Рис. 1. Зависимость обратной величины квантового выхода фотоокисления рубрена ( $1/\Phi_{RuO}$ ) от обратной концентрации рубрена ( $1/[Ru]$ ) в присутствии тушителя — Q (0,0-ди-п-трег-бутилфенилдитиофосфат Ni). 1 —  $[Q]=0$ , 2 —  $[Q]=10^{-5}$  моль/л, 3 —  $[Q]=2 \cdot 10^{-5}$  моль/л

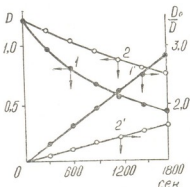


Рис. 2. Кинетические зависимости фотоокисления рубрена в бензole при начальной концентрации  $10^{-4}$  моль/л и их анаморфозы в отсутствие (1, 1') и в присутствии (2, 2') тушителя — Q (0,0-ди-п-трег-бутилфенилдитиофосфат Ni).  $[Q]=10^{-5}$  моль/л

отсутствие и в присутствии добавок, которые определялись по угловому коэффициенту анаморфоз кинетических кривых, построенных в координатах  $D_0/D-t$ , где  $D_0$  и  $D$  соответственно оптические плотности исходных и подвергшихся превращению растворов,  $t$  — время превращения в секундах (рис. 2).

При расчетах констант  $K_q$ , значения констант скорости фотоокисления рубрена принимались  $K_r=3 \cdot 10^7$  л/моль·сек [8], а константы скорости дезактивации синглетного кислорода  $K_d=28 \cdot 10^3$  сек<sup>-1</sup> [9]. Вычисленные значения констант  $K_q$  для исследованных соединений приведены в таблице.



Полученные данные показывают, что исследованные никелевые и кобальтовые соли O,O-дифенил-, O,O-ди-p-крезил-, O,O-ди-p-третбутилфенил-, фенил-, 2,2<sup>1</sup>-тио-бис-O,O-ди-p-третбутилфенил- и 2,2<sup>1</sup>-метилен-бис-O,O-ди-p-третбутилфенил дитиофосфорной кислоты являются весьма эффективными тушителями синглетного кислорода, не уступающими таким общезвестным тушителям как никелевые и кобальтовые соли ди-н-бутилдитиокарбамата и ди-изо-пропилдитиофосфата [7], Negopex A(1), Negopex B(II) [10] и др., для которых значения констант Kq в различных растворителях близки к диффузионным и изменяются в пределах  $(3-7) \cdot 10^9$  л/моль·сек. O,O-диарилдитиофосфаты Zn, Cu, Sn, Cr оказались малоэффективными тушителями  $\text{O}_2$ .

Институт физической и органической химии им. П. Г. Меликишвили АН ГССР

Поступило 8.IX.1977

З. ИОСЕЛИАНИ, И. ЭДИЛАШВИЛИ, Н. ДЗАНИБЕКОВ

0,0-ДИАРИЛДИОФОСФОТРИФОРМЫ  
ЧОЛХОЮРУ  
ГРУЗИИ  
СОВЕТСКОГО Союза  
АКАДЕМИИ Наук Грузинской  
РЕСПУБЛИКИ  
80200 Тбилиси

### Л и т е р а т у р а

0,0-ДИАРИЛДИОФОСФОТРИФОРМЫ  
ЧОЛХОЮРУ  
ГРУЗИИ  
СОВЕТСКОГО Союза  
АКАДЕМИИ Наук Грузинской  
РЕСПУБЛИКИ  
80200 Тбилиси

Наследуемое нами изучение антиоксидантной активности 0,0-диарилдитиофосфатов в различных растворителях показало, что эти соединения обладают антиоксидантной активностью, превышающей антиоксидантную активность соответствующих никелевых и кобальтовых солей. Так, например, антиоксидантная активность 0,0-диарилдитиофосфатов Zn, Cu, Sn, Pb, Cr в различных растворителях (табл. 1) превышает антиоксидантную активность соответствующих никелевых и кобальтовых солей в тех же растворителях.

K. B. IOSELIANI, I. L. EDILASHVILI, N. F. DZANIBEKOV

### MECHANISM OF ANTIOXIDIZING ACTION FOR SOME SALTS OF 0,0-DIARYL DITHIOPHOSPHORIC ACIDS IN PHOTOCHEMICAL REACTIONS

#### Summary

The effect of Ni, Co, Cu, Zn, Sn, Pb, Cr, Cd salts of 0,0-diphenyl-, 0,0-di-p-cresyl-, 0,0-di-p-tretbutyl phenyl- and 2,2<sup>1</sup>-thio-bis-0,0-di-p-tretbutyl phenyl-dithiophosphoric acids on rubren photochemical oxidation was



studied. It was established that Ni and Co salts of the above-mentioned acids efficiently quench singlet excited oxygen molecules participating in the processes of oxidation. The values of rate constants for singlet oxygen quenching ( $K_q$ ) by Ni and Co salts vary in the range  $1-2.5 \cdot 10^9$  l/mole·sec, while Cu, Zn, Sn, Pb, Cr, Cd salts were found to be little efficient from this point of view ( $K_q = 0.5-3.4 \cdot 10^7$  l/mole·sec). As a result of studies of the influence of these compounds on fluorescence of the solutions it was shown that they slightly quenched singlet excited rubren molecules. The studied complex salts under the conditions of the experiments practically do not interact with triplet excited hydrocarbon molecules and transannular photooxide. A conclusion is drawn that inhibition of rubren photooxidation in the presence of Ni and Co salts of O,O-diaryl dithiophosphoric acids is, in the main realized by the mechanism of singlet oxygen quenching.

#### ЛІТЕРАТУРА — REFERENCES

1. Куліев А. М. Хімія і технологія присадок к маслам і топливам, изд-во „Хімія“, М., 1972.
2. Фойгт И. Стабілізація синтетических полімеров против действия света и тепла. изд-во «Мир», Л., 229, 1972.
3. Шляпінтох В. Я., Іванов В. Б. Успехи хімії, 45, 202, (1976).
4. Ахмед-заде Д. А., Джанибеков Н. Ф., Маркова Е. А. Азерб. хіміч. журнал, № 4, 184, (1972).
5. Stevens B., Algar B. E. G. Phys. Chem., 72, 3468, (1968).
6. Parker C. A., Proc. Roy. Soc., A 220, 104, (1953).
7. Carlsson D. G., Mendenhall G. D., Suprunchuk T., Wiles D. M. G. Amer. Chem., Soc., 94, 8960, (1972).
8. Stevens B., Perez S. R. Small R. D. Photochem. Photobiol. 19, 315, (1974).
9. Merkel P. B., Kearns D. R. J. Amer. Chem. Soc., 94, 7244, (1972).
10. Farmilo A., Wilkinson F. Photochem. Photobiol., 18, 447, (1973).

УДК 660.193.004.13

А. И. БИЧИНАШВИЛИ, Д. Н. ГОНГАДЗЕ, Э. К. ЛАБАРТКАВА,  
М. Д. ОБОЛАДЗЕ

## К ВОПРОСУ ИССЛЕДОВАНИЯ КИНЕТИКИ ПРОЦЕССА КОРРОЗИИ В СПЛАВАХ НА ОСНОВЕ ЖЕЛЕЗА

Исследование явления коррозии в металлах и сплавах посвящено много работ [1—3]. В этих работах подробно обсуждаются процессы, протекающие при коррозионной пораженности металлов и сплавов.

Однако в этих работах сравнительно мало внимания уделено изучению механизма изменения физических свойств при коррозии. Поэтому в настоящей работе была предпринята попытка восполнить этот пробел, т. е. разобраться в механизме протекания процесса коррозии и сопутствующем изменении физических свойств материала — в нашем случае сплавов на основе железа.

В работе исследовались сплавы, сталь 3, сталь 65 и сталь 30×ГСНА. Образцы для исследования были изготовлены в виде «диска» (сталь 3) диаметром 39 мм и толщиной 4 мм, «параллелипипеда» (сплав 30×ГСНА) размером 25×10×5 мм и «пластины» (сталь 65)—50×25×2 мм. В качестве агрессивных сред использовались KCl, NH<sub>4</sub>NO<sub>3</sub>, морская вода, воздух, нагретый до достаточно высокой температуры ( $\sim 10^3$ К).

Для исследования влияния коррозии на магнитные свойства ферромагнитных материалов нами была сконструирована несложная установка, состоящая из полой катушки с несколькими выводами и измерителя индуктивности Е7-4. Для повышения чувствительности измерительной схемы в качестве внешнего индикатора нами использовался баллистический гальванометр типа М95. В полость катушки вставляли сначала эталонный (некоррозированный) образец и изменили величину индуктивности  $L_0$ , затем образец подвергали коррозии в той или иной агрессивной среде, снова вставляли в зазор и изменили индуктивность  $L$ . О степени коррозионной пораженности материала судили по величине относительного изменения индуктивности:

$$\epsilon = \frac{L - L_0}{L_0} = \frac{\Delta L}{L_0}. \quad (I)$$

Опыты проводились многократно, для различных агрессивных сред и различной продолжительности выдержки образца в среде. Неплохая воспроизводимость результатов подобных опытов позволила предположить, что величина  $\epsilon$  может служить объективным показателем степени коррозионной пораженности ферромагнитных материалов.

Для объяснения процессов, протекающих в материале при коррозии и обусловливающих изменение его магнитных свойств, парал-

дельно проводились рентгенографические исследования на дифрактометре ДРОН-2 в изучении FeKa: коррозия в сплавах связана с возникновением новой фазы, поэтому с помощью рентгенографических исследований материалов также можно судить о коррозионном состоянии материала. В качестве объективного показателя степени коррозионной пораженности материала в этом случае принимали отношение интегральных интенсивностей дифракционных линий на рентгенограмме от коррозированного  $J_{\text{кор}}$  и эталонного, неповрежденного ( $J_{\text{эт}}$ ), образцов, т. е. выражение

$$\eta = \frac{J_{\text{кор}}}{J_{\text{эт}}} - 100\%. \quad (2)$$

Результаты экспериментов по изучению магнитных свойств и рентгенографических исследований приведены в таблице 1. Из этой таблицы видно, что различные агрессивные среды по-разному взаимодействуют со сплавами. Например, для образцов «пластинка» (сталь 65) величина  $\eta$  составляет 7,7% в среде  $\text{NH}_4\text{NO}_3$ , в то время как те же образцы в морской воде за то же время выдержки подвергаются коррозии со степенью 4,8%. Аналогичные результаты получены и для других образцов (сталь 3 и сплав 30 ХГСНА).

Таблица 1

Относительное изменение  $\frac{\Delta L}{L_0}$  и  $\frac{J_{\text{кор}}}{J_{\text{эт}}}$  в различных средах

Тип образца	Состояние образца	$\frac{\Delta L}{L_0}$	$\frac{J_{\text{кор}}}{J_{\text{эт}}}$	Примечание
Диск	некоррозионный	0	0	
"	коррозионный в среде $\text{NH}_4\text{NO}_3$	3,4	3,2	выпадает новая фаза $\text{Fe}_3\text{O}_4$
"	коррозионный в среде $\text{KCl}$	0,8	0,2	выпадает новая фаза $\text{Fe}_2\text{O}_3$
параллелепипед	некоррозионный	0	0	
"	коррозионный в морской воде	4,8	4,6	выпадает новая фаза $\text{Fe}_3\text{O}_4$
"	коррозионный в $\text{NH}_4\text{NO}_3$	7,7	7,1	выделяется фаза $\text{Fe}_3\text{O}_4$
"	коррозионный в $\text{KCl}$	5,8	5,6	выделяется фаза $\text{Fe}_3\text{O}_4$
пластиника	некоррозионный	0	0	
"	высокотемпературная коррозия	1,7	1,5	выделяется фаза $\text{Fe}_2\text{O}_3$
"	высокотемпературная коррозия	1,3	1,1	выделяется фаза $\text{Fe}_2\text{O}_3$

На основании анализа материала проведенных нами рентгенографических исследований можно сделать заключение, что высоким значениям степени коррозионной пораженности исследуемых материалов соответствует выделение фазы  $\text{Fe}_3\text{O}_4$ , а малым значением ее — выделение фазы  $\text{Fe}_2\text{O}_3$  (см. табл. 1). Наблюдаются случаи, когда выделению фазы  $\text{Fe}_3\text{O}_4$  соответствуют различные значения степени коррозионной пораженности, полученные на основе магнитных измере-

ний. Установлено, что подобное кажущееся несоответствие татов, полученных двумя различными методами, объясняется присутствием в матрице различных количеств фазы  $\text{Fe}_3\text{O}_4$ . Например, из той же таблицы следует, что образец типа «параллелепипед», который подвергается коррозии в агрессивных средах морской воды,  $\text{NH}_4\text{NO}_3$  и  $\text{KCl}$ , обнаруживает наибольшую степень коррозионной пораженности во второй среде, хотя во всех случаях наблюдается выделение фазы  $\text{Fe}_3\text{O}_4$ .

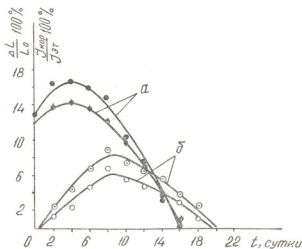


Рис. 1. Относительное изменение по времени коррозии для образцов типа «параллелепипед» (ЗОХГСНА) и «пластин» (ст. 65). а) образец находился в  $\text{KCl}$  б) образец находился в  $\text{NH}_4\text{NO}_3$

Рентгенографические исследования, в частности, сопоставление интегральных интенсивностей дают возможность установить, что именно в среде  $\text{NH}_4\text{NO}_3$  происходит выделение фазы  $\text{Fe}_3\text{O}_4$  в наибольшем количестве.

Кинетика процесса коррозии исследовалась на образцах типа «параллелепипед» в среде  $\text{KCl}$  (рис. 1, кривая а) и «пластин» — в среде  $\text{NH}_4\text{NO}_3$  (рис. 1, кривая б) в течение нескольких суток. Из рисунка следует, что интенсивность протекания коррозионных процессов зависит также от времени. В частности, в исследуемых случаях на начальной стадии процесс протекает более интенсивно, а затем после достижения определенного максимума скорость коррозии уменьшается. Такую зависимость интенсивности коррозии от времени, по-видимому, можно объяснить следующим образом. В начале

протекания процесса коррозии изменяется  $\varepsilon = \frac{\Delta L}{L_0}$ , что указывает на об-

разование новой доменной структуры, причем формирование ее происходит преимущественно по оси легкого намагничивания. Дифрактограмма, представленная на рис. 2, указывает на наличие сегрегаций атомов кислорода вокруг атомов матрицы (в данном случае — железа). Сателлиты, являющиеся результатом наличия сегрегаций в матрице железа, показаны на рис. 2б.

Увеличение продолжительности коррозии, согласно [4] приводит к росту формировавшихся доменов и соответственно — увеличению  $\varepsilon$ . Рентгенографические исследования показывают, что возникает новая фаза  $\text{Fe}_3\text{O}_4$  из сегрегации атомов (рис. 2в). Эта фаза имеет

стложную кубическую решетку типа «шпинели» [3] (см. линию 533 на рис. 2в). Параметр решетки этой фазы  $a=8,384\text{ \AA}$ . Элементарная ячейка магнетита ( $\text{Fe}_3\text{O}_4$ ) содержит восемь ионов  $\text{Fe}^{2+}$ , шестнадцать ионов  $\text{Fe}^{3+}$  и тридцать два иона  $\text{O}^{2-}$ . Фаза  $\text{Fe}_3\text{O}_4$  характеризуется ферромагнитной упорядоченностью спинов. На второй, промежуточной стадии протекания коррозии увеличивается результирующий магнитный момент, что неизбежно приводит к увеличению магнитной восприимчивости и соответственно величины  $\epsilon$ .

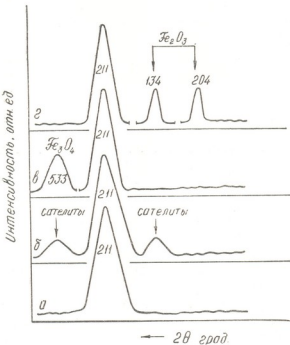


Рис. 2. Дифрактограмма образца типа «параллелепипед» сплава 30 XГСНА  
а) некоррозионный; б) коррозионный: сателлитная стадия; в) коррозионный:  
промежуточная стадия ( $\text{Fe}_3\text{O}_4$ ); г) конечная стадия ( $\text{Fe}_2\text{O}_3$ )

На конечной стадии протекания коррозии происходит уменьшение величины  $\epsilon$  (рис. 1), что можно объяснить следующим образом. Рентгенографические исследования, результаты которых представлены на рис. 2, показывают, что в матрице (Fe) возникает фаза  $\text{Fe}_2\text{O}_3$  (гематит). Дифракционные линии 134, 204 (рис. 2г) показывают, что  $\text{Fe}_2\text{O}_3$  обладает также кубической структурой, элементарная ячейка которой содержит четыре иона  $\text{Fe}^{3+}$  и шесть ионов  $\text{O}^{2-}$  [5]. Параметр решетки составляет 5,422 Å. Из литературных данных [5] известно, что фаза  $\text{Fe}_2\text{O}_3$  обладает неполной компенсацией антиферромагнитно-упорядоченных спинов. Из изложенного следует, что на этой стадии происходит уменьшение результирующего магнитного момента. В самом деле, фаза  $\text{Fe}_2\text{O}_3$  оказывает релаксирующее действие на фазу  $\text{Fe}_3\text{O}_4$  и соответственно уменьшает магнитные свойства сплавов. Релаксирующее действие доменов фазы  $\text{Fe}_2\text{O}_3$  на доменную структуру фазы  $\text{Fe}_3\text{O}_4$  заключается в том, что она вызывает разворот доменов, приводящий к упругим напряжениям в матрице, причем упругая энергия реализуется за счет неполной компенсации антиферромагнитного упорядочения спинов. Таким образом, на этой ста-



дии происходит поглощение фазы  $\text{Fe}_3\text{O}_4$  антиферромагнитной  $\text{Fe}_2\text{O}_3$  и в конце этой стадии в матрице имеется равновесие двух фаз,  $\text{Fe} + \text{Fe}_2\text{O}_3$ , соответствующее минимуму свободной энергии.

Таким образом, на основе сопоставления магнитных и рентгенографических исследований можно утверждать, что процесс коррозии в сплавах на основе железа проходит в основном следующие стадии: а) подготовительную, когда в матрице возникают центры зарождения новой доменной структуры; б) сателлитную, которая соответствует формированию новой доменной структуры; в) промежуточную, характеризующуюся выпадением новой фазы  $\text{Fe}_3\text{O}_4$ , соответствующей росту доменов и г) конечную, соответствующую возникновению фазы  $\text{Fe}_2\text{O}_3$ , релаксации и поглощению доменов, приводящих к минимуму свободной энергии системы.

Грузинский политехнический институт  
им. В. И. Ленина

Поступило 16.VI.1977

А. БИЧИНАШВИЛИ, Д. Н. ГОНГАДЗЕ, Е. К. ЛАБАРТКАВА, М. Д. ОБОЛАДЗЕ

რევიუს შენადონავაზე კოროზიის პროცესის კინეტიკის გამოკვლევის საკითხი

#### რეზიუმე

განხილულია ლითონების კოროზიული შედეგობის შეფასება მაგნიტური თვალებების ცალილებების მიხედვით და ჩუნტვენი ანალიზის მეთოდით. შემოაღნიშნული შეთოვების ერთიანობულად გამოყენება საშუალებას გვიძლევს უფრო ზუსტად შევაფასოთ მაგნიტური შენაღნების კოროზიული შედეგობა და დავადგინთ მისი ცვლილებების მიზეზი.

შესწავლილია კოროზიის მიმღინარეობის სტადიები. დადგენილია, კოროზიის პროცესის საფეხურები: მოსამართებელი სტადია; მატრიცაში გვაქვს ახალი დომენური სტრუქტურის წარმოქმნის ცენტრები. სატელატური სტადიას შეესაბამება ახალი დომენური სტრუქტურების ჩამოყალიბება. საშუალედო სტადიაზე ხდება ახალი ფაზის-მაგნეტიტის წარმოქმნა და შესაბამისი დომენების ზრდა. ბოლო სტადიას ახალიათებს ჰემატიტის ფაზის წარმოქმნა, რაც იწვევს დომენების რელაქსაციას და მათ შთანთქმას; ამ საფეხურზე გვაქვს ენერგიის მინიმუმი.

დადგენილია რენტვენული და მაგნიტური გაზომეების შედეგად მიღებულ მონაცემებს შორის სიმბატური ხსიათი.

A. I. BICHINASHVILI, D. N. GONGADZE, E. K. LABARTKAVA, M. D. OBOLADZE

#### ON THE PROBLEM OF STUDIES OF THE CORROSION PROCESS KINETICS IN ALLOYS ON IRON BASE

##### Summary

Possibilities of giving estimates of corrosion state for metals by changes of their magnetic properties and by the X-ray analysis have been studied. The obtained results indicate that the application of the above-mentioned

methods in a complex permits to give more accurate estimate of the corrosion state for magnetic materials and to establish the cause of their state changes.

The stages of the corrosion process have been also studied. The following has been found: the corrosion process has a preparatory stage when centres of a new domain generation are present in the matrix; satellite stage corresponding to the new domain structure formation. An intermediate stage gives a new magnetite phase fall out corresponding to the growth of domains; a final stage corresponds to a hematite phase appearance, relaxation and domain destruction leading to the minimum of the system free energy.

The symbiotic character of the results obtained by the X-ray analysis and those obtained by magnetic measurements is established.

#### ЛІТЕРАТУРА — REFERENCES

1. Жук Н. П. Курс коррозии и защиты металлов, М., 1968.
  2. Томашов Н. Д. Теория коррозии и защиты металлов, М., 1959.
  3. Окисление металлов, Под ред. Ж. Бенара. ИЛ, М., 1968.
  4. Киттель Ч. Введение в физику твердого тела, ИЛ, М., 1957.
  5. Уэрт Ч., Томсон Р. Физика твердого тела. ИЛ, М., 1969.
-

## ТЕХНОЛОГИЯ

УДК 669.2/8.669.3.046.43(088.8)

В. И. ГАПРИНДАШВИЛИ, Т. П. ГЕЛЕИШВИЛИ, А. К. ОРЛОВ,  
И. Н. ПИСКУНОВ, Р. Д. ЧАГЕЛИШВИЛИ

### СЕГРЕГАЦИОННЫЙ ОБЖИГ КЕКОВ АВТОКЛАВНОГО ВЫЩЕЛАЧИВАНИЯ ХАЛЬКОПИРИТНОГО КОНЦЕНТРАТА НА УКРУПНЕННОЙ УСТАНОВКЕ

Для подтверждения в более крупном масштабе результатов лабораторных технологических исследований [1], показавших возможность извлечения меди, серебра и золота из кеков автоклавного выщелачивания халькопиритного концентрата Маднеульского горно-обогатительного комбината при использовании сегрегационного обжига, были проведены опыты на укрупненно-лабораторной установке непрерывного действия (рис. 1), основным рабочим органом которой является трубчатый вращающийся реактор с наружным электрообогревом (длина реактора 1040 мм, диаметр 400 мм, скорость вращения реактора от 10 до 60 об/мин).

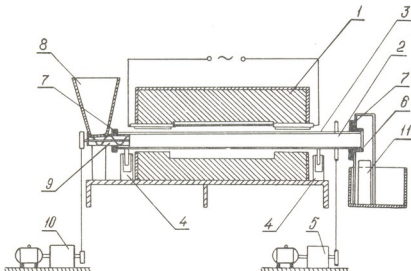


Рис. 1. Схема укрупненно-лабораторной установки для сегрегационного обжига.  
1 — электрическая печь; 2 — корпус реактора (труба из нержавеющей стали);  
3 — футеровка реактора (фарфоровая труба); 4 — опорные ролики;  
5 — привод печи; 6 — ограничительное кольцо; 7 — сальниковое уплотнение;  
8 — загрузочный бункер; 9 — шnekовый питатель; 10 — привод питателя;  
11—разгрузчная коробка

Загрузка шихты в печь производится шнековым питателем (9), сменимые шкивы привода которого позволяют изменять скорость загрузки.

Таблица 1

Результаты флотационного разделения продукта сегрегационного обогащения укрупнено-лабораторного опыта при скорости загрузки шахты 0,7 кг/час

Наименование	Вес, г	Вы- сота, %	Содер жание, %										Распределение, %			
			Cu	Fe	Ag	Al	S <sub>акт</sub>	S <sub>SO<sub>4</sub></sub> <sup>*</sup>	SiO <sub>2</sub>	Al <sub>2</sub> O <sub>3</sub>	CaO	MgO	Cu	Fe	Ag	Al
Концентрат I	27,0	3,7	21,72	25,36	734,9	26,7	7,1	1,34	5,72	6,59	4,8	0,08	84,5	2,2	69,7	64,5
Пром. продукт I	34,5	4,8	0,26	46,70	18,96	2,0	—	—	—	—	—	—	1,3	5,1	2,3	6,2
Концентрат II	6,0	0,8	0,70	43,82	36,04	5,0	—	—	—	—	—	—	0,6	8,3	0,8	2,7
Пром. продукт II	21,2	2,9	0,24	49,57	16,27	2,0	—	—	—	—	—	—	0,7	3,4	1,2	3,8
Хвосты	636,8	87,8	0,14	40,23	11,62	0,40	1,64	1,53	24,0	5,16	5,98	0,18	12,9	81,0	26,0	22,8
Исходный материал <sup>a</sup>	725,5	100	0,56	43,56	39,22	1,54	1,78	1,53	22,09	4,9	6,28	0,17	100	100	100	100

Примечание: \* Содержание Cu, Fe, Ag, Al в исходном материале рассчитано по суммарному количеству этих элементов в Продуктах флотационного разделения, в остальных случаях приведены данные химического анализа.

Таблица 2

Результаты флотационного разделения продукта сегрегационного обогащения ураноминерального сырья при скорости загрузки шахты 1,4 кг/сек

Наименование	Вес, г	Выход, %	Содержание, %										Распределение, %			
			Cu	Fe	Al <sub>2</sub>	Au	S <sub>235U</sub>	S <sub>238U</sub>	SiO <sub>2</sub>	Al <sub>2</sub> O <sub>3</sub>	CaO	MgO	Cu	Fe	Al <sub>2</sub>	Au
Концентрат I	40,7	3,3	23,46	24,33	77,0	36,4	6,47	1,34	5,52	4,46	4,2	0,2	79,7	2,0	75,9	74,1
Пром. продукт I	87,0	7,0	0,34	6,43	12,5	1,67	—	—	—	—	—	—	2,2	8,1	2,6	7,3
Концентрат II	7,5	0,6	1,7	46,15	62,0	3,33	—	—	—	—	—	—	1,1	0,7	1,1	1,2
Пром. продукт II	44,1	3,6	0,3	47,00	12,5	0,67	—	—	—	—	—	—	1,1	4,1	1,3	1,5
Хвосты	1060,0	85,5	0,18	40,26	7,5	0,3	1,76	1,71	22,5	5,29	5,68	0,19	15,9	85,1	19,1	15,9
Исходный материал	1239,3	100	0,96	40,44	33,6	1,6	2,0	1,96	21,9	4,78	6,24	0,18	100	100	100	100



рузки шихты в пределах 0,5—3 кг/час. Герметизация загрузочного и разгрузочного концов печи в местах контакта вращающегося реактора с неподвижными частями обеспечивается сальниковыми уплотнениями (7), в которых использована специальная набивка. Помимо этого, для вытеснения воздуха из реактора в начальный период работы в загрузочный и разгрузочный концы подается азот.

Устройство разгрузочного бункера (11) таково, что обеспечивается разгрузка продукта обжига как в сухом виде, так и в воде. Регулирование степени заполнения печи материалом может производиться изменением угла наклона реактора и диаметра разгрузочного отверстия.

Использованные в опытах кеки автоклавного выщелачивания по данным химического анализа содержали, %: меди — 0,86; железа — 35,2; серы общей — 6,58 (в том числе сульфатной 4,1); кремнезема 19,67; окиси кальция 5,42; окиси магния 0,15; глинозема 4,04; серебра 32 г/т; золота 2 г/т. Предварительно кеки подвергали окислительному обжигу в муфельной печи при 800—900°C с получением огарка, содержащего 3,78% серы (в том числе 3,65% серы сульфатной).

В опытах использовали хлористый натрий классификации «чда» и антрацит крупностью 250 мкм, расход которых составлял соответственно I и 1,5% от веса огарка. Температуру в средней зоне поддерживали около 850°C.

Было проведено две серии опытов при скорости вращения реактора около 10 об/мин и скорости загрузки шихты в печь 0,7 и 1,4 кг/час. Степень заполнения печи шихтой — около 20%.

В соответствии с принятым режимом загрузки шихты и работы печи время пребывания шихты в реакционной зоне составляло около 60 мин в первом случае и около 30 мин во втором. Для поддержания небольшого давления печи в загрузочную коробку в процессе опыта подавался азот с расходом около 1 дм<sup>3</sup>/мин.

Выгруженный из печи материал был подвергнут флотационному разделению при ранее принятом реагентном режиме (расход бутилового ксантогената калия 100 г/т, соснового масла 50 г/т, pH флотации 8—II) с перечисткой концентратов основкой и контрольной флотацией [1].

Из результатов опытов (табл. 1, 2) можно заключить, что увеличение скорости загрузки шихты в печь с 0,7 до 1,4 кг/час и соответственно сокращение времени пребывания шихты в печи вдвое не привело к ухудшению результатов флотационного разделения продукта сегрегационного обжига.

Первые флотационные концентраты при выходе менее 4% от продукта обжига содержат 21,7—23,5% меди. В них извлекается 80—85% меди, 70—76% серебра и 65—74% золота. Хвосты флотации получаются с достаточно низким содержанием меди (0,14—0,18%). Выход их совместно с бедными промпродуктами обогащения составляет 95—96% от огарка сегрегационного обжига. Переход железа и кремнезема в первом флотационном концентрате значительно меньше его выхода. Из сравнения содержания серы в исходном огарке и продукте сегрегационного обжига следует, что около 45—50% серы из шихты уходит вместе с другими газами, образующимися при сегрегационном обжиге.

Исследование фазового состава продуктов сегрегационного обжига и полученных флотоконцентратов показало, что в продуктах сегрегации присутствуют гематит, магнетит, халькоzin и высокотемпературная модификация халькоzина — дигенит.

В богатых концентратах медь преимущественно находится в форме дигенита и халькоzина, при этом соотношение в них меди и сульфида серы близко к соотношению этих элементов в соединении

*Cu<sub>2</sub>S*. В небольшом количестве присутствует свободная медь, вкра-  
ленная в массу сульфида меди.

Первый концентрат пригоден для непосредственной плавки в кри-  
штейн в смеси с сульфидными медными концентратами. Второй кон-  
центрат, сходный по содержанию меди с исходными кеками, целесо-  
образно возвращать на стадию окислительного обжига. Промпродукты,  
содержащие менее 0,3% меди, вместе с хвостами флотации могут  
быть направлены на дополнительную переработку для извлечения же-  
леза.

Таким образом, результатами укрупненно-лабораторных опытов  
в трубчатой вращающейся печи непрерывного действия подтвержде-  
на возможность успешной переработки кеков автоклавного выщелачи-  
вания халькопиритного концентрата из руды месторождения Маднеу-  
ли с использованием сегрегационного обжига.

Институт неорганической химии  
и электрохимии АН ГССР

Поступило 3.II.1978

З. ГАЦАРИДЖАШВИЛИ, Т. ГАЦАРИДЖАШВИЛИ, А. ОКАНАВО, О. АБУЛАЕВО, Р. САГИЛЛОВИ

КЛЮЧАКОВИЧИЛОВЫЕ КОМПЛЕКСЫ АВТОКЛАВНОГО ВЫЩЕЛАЧИВАНИЯ ХАЛЬКОПИРИТНОГО КОНЦЕНТРАТА ИЗ РУДЫ МЕСТОРОЖДЕНИЯ МАДНЕУЛИ  
ЗАВОДСКАЯ УЧЕБНАЯ ГРУППА № 10

### Л и т о г

Медные сульфиды с альбатросом, киноварью и сульфуром меди, а также сульфиды меди, селенита меди, халькопирита и киновари, сопровождающие медные сульфиды, являются основными компонентами руды месторождения Маднеули. Для извлечения меди из руды предложен способ, включающий обжиг в криштейне в трубчатой вращающейся печи с последующим измельчением и обогащением полученного концентрата.

Руды месторождения Маднеули содержат меди 1,5–2,5%, золота 0,05–0,15 г/т, серебра 0,1–0,2 г/т, никеля 0,1–0,2 г/т, меди в виде сульфидов 25–30%, в том числе халькопирита 15–20%, киновари 10–15%, медных сульфидов 10–15%, золота в виде сульфидов 0,05–0,1 г/т, серебра в виде сульфидов 0,1–0,2 г/т, никеля в виде сульфидов 0,1–0,2 г/т.

Халькопирит содержит меди 35–40%, золота 0,05–0,1 г/т, серебра 0,1–0,2 г/т, никеля 0,1–0,2 г/т, меди в виде сульфидов 15–20%, золота в виде сульфидов 0,05–0,1 г/т, серебра в виде сульфидов 0,1–0,2 г/т, никеля в виде сульфидов 0,1–0,2 г/т.

Халькопирит содержит меди 35–40%, золота 0,05–0,1 г/т, серебра 0,1–0,2 г/т, никеля 0,1–0,2 г/т, меди в виде сульфидов 15–20%, золота в виде сульфидов 0,05–0,1 г/т, серебра в виде сульфидов 0,1–0,2 г/т, никеля в виде сульфидов 0,1–0,2 г/т.

Для извлечения меди из руды месторождения Маднеули предложен способ, включающий обжиг в криштейне в трубчатой вращающейся печи с последующим измельчением и обогащением полученного концентрата. Концентрат содержит меди 21,7–23,5%, золота 0,05–0,1 г/т, серебра 0,1–0,2 г/т, никеля 0,1–0,2 г/т, меди в виде сульфидов 15–20%, золота в виде сульфидов 0,05–0,1 г/т, серебра в виде сульфидов 0,1–0,2 г/т, никеля в виде сульфидов 0,1–0,2 г/т. Концентрат содержит меди 21,7–23,5%, золота 0,05–0,1 г/т, серебра 0,1–0,2 г/т, никеля 0,1–0,2 г/т, меди в виде сульфидов 15–20%, золота в виде сульфидов 0,05–0,1 г/т, серебра в виде сульфидов 0,1–0,2 г/т, никеля в виде сульфидов 0,1–0,2 г/т.

## SEGREGATION ROASTING OF CAKES OF AUTOCLAVE LEACHING OF CHALCOPYRITE CONCENTRATE USING A CONTINUOUS ENLARGED INSTALLATION

### Summary

Enlarged-laboratory tests of segregation roasting of cakes of autoclave leaching of chalcopyrite concentrate from Madneuli mining concentrating mill, carried out in a rotating tube furnace of continuous functioning with an external electric heating confirmed the possibility of reprocessing of the considered raw material with the use of segregation roasting.

An oxidizing roasting of cakes followed segregation roasting at 850°C, consumption of sodium chloride 1% and anthracite 1.5% of the roasted piece weight. The rate of stock loading into the furnace was 0.7 and 1.4kg/h and the respective decrease of the time of the stock being in the furnace (twice) did not result in deterioration of the results of flotation separation of the segregation roasting product.

It was found that if the original cakes contained 0.86% of copper, 32 g/t silver and 2g/t gold at the flotation separation of the segregation roasting product the first flotation concentrate was obtained with the content of copper 21.7—23.5%, silver 735—776g/t and gold 27—37g/t. Its yield is less than 4% of the roasting product and extraction of the above-mentioned metals from it is 80—85, 70—76, 65—74%, respectively. The content of copper in the flotation tails is 0.14—0.18% and their yield together with poor industrial products of flotation is 95—96% of the roasting product.

### ЛІТЕРАТУРА — REFERENCES

1. Чагелишвили Р. Д., Орлов А. К., Пискунов И. Н. Гаприндашвили В. Н. Сообщения АН ГССР, 86, № 1, 125 (1977).

## КРАТКИЕ СООБЩЕНИЯ

УДК 541.135.6:66.916

Э. Г. ЖИЖИЛАШВИЛИ

### КОРРЕЛЯЦИЯ ПОТЕНЦИАЛА ТОНКОСЛОЙНОГО ПЛАТИНОВОГО ЭЛЕКТРОДА С КОНЦЕНТРАЦИЕЙ РАСТВОРЕННОГО В ВИНОМАТЕРИАЛАХ КИСЛОРОДА

В работе [1] показано, что тонкослойный платиновый электрод типа ЭТПП-1 (который до эксплуатации предварительно подвергался катодной поляризации) обладает электрокатализитическим свойством, позволяющим измерять потенциалы окислительно-восстановительных процессов, обусловленных количеством освоенного виноматериалом молекулярного кислорода, которое со своей стороны зависит от концентрации растворенного в вине кислорода. Представляло интерес более подробно изучить характер корреляции между величиной стационарного потенциала указанного электрода и концентрацией растворенного в виноматериале кислорода при разных температурных условиях.

Для исследования был использован виноматериал «портвейн белый». Исходное количество молекулярного кислорода в каждом исследуемом образце составляло 6—9 мг/л (технологическая разовая доза). Методика экспериментального исследования описана в работе [1].

Результаты математической обработки серии опытов показали, что вычисленные коэффициенты корреляции находятся в пределах 0,83—0,99 в интервале температур от 20 до 60°. Эти данные превышают наибольшие случайные значения коэффициентов корреляции 0,6—0,8 с уровнем значимости  $\alpha=0,001$ , взятым из табл. 8 [2]. Полученные значения коэффициентов линейной корреляции являются достоверными, так как они удовлетворяют условиям критерия Стьюдента о линейной зависимости. Все значения критерия, вычисленные по формуле [2], 36,47—5,36, превышают значения 3,66—4,14, взятые из таблицы VII [2]. На основании приведенных данных, корреляционную связь между концентрацией растворенного в исследуемых средах кислорода и значением потенциала тонкослойного платинового электрода можно выразить уравнением линии регрессии

$$E = a + b [O_2], \quad (1)$$

где  $E$  — значения стационарного потенциала электрода в мВ;

$[O_2]$  — концентрация растворенного кислорода в мг/л;

$a$  и  $b$  — коэффициенты, которые вычисляются по методу наименьших квадратов [2, 3].

Корреляционная зависимость между значениями указанных параметров графически изображена на рис. 1.

ЭБРГБУ  
ЗАВОДСКОЕ

Расположение точек вокруг линий регрессии (рис. 1) свидетельствует о том, что колебания значений стационарного потенциала указанного электрода, вызванные различными побочными факторами, невелики и не затушевывают основную линейную зависимость между функцией ( $E$ ) и аргументом ( $O_2$ ) в виноматериале при температурах 20, 40, 60°C (линии 1, 2, 3). Все представленные на рис. 1 линии регрессии показывают, что с уменьшением концентрации растворенного в исследуемых средах кислорода стационарный потенциал на указанном электроде постепенно смешается в катодном направлении. Из этого вытекает, что скорость ионизации адсорбированного на электроде кислорода является линейной функцией концентрации растворенного в объеме виноматериала кислорода.

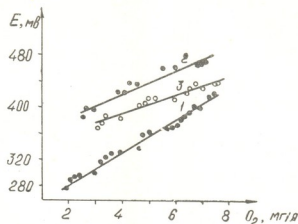


Рис. 1. Корреляция между стационарным потенциалом тонкослойного платинового электрода и содержанием кислорода в объеме виноматериала. 1 — при 20°C, 2 — при 40°C, 3 — при 60°C

Подставляя в уравнение (1) значения коэффициентов линии и регрессии —  $a$  и  $b$ , вычисленные по экспериментальным данным, в случае взятого виноматериала получаем:

$$\text{при } 20^\circ\text{C} \quad E_1 = 224,47 + 27,87 (O_2), \quad (2)$$

$$\text{при } 40^\circ\text{C} \quad E_2 = 333,47 + 21,94 (O_2), \quad (3)$$

$$\text{при } 60^\circ\text{C} \quad E_3 = 339,6 + 14,6 (O_2). \quad (4)$$

Тут же надо отметить, что коэффициенты  $a$  и  $b$  уравнения (1) в разных виноматериалах (в зависимости от степени окисленности последних) принимают соответствующие числовые значения. Графически представленные экспериментальные данные (рис. 1) хорошо описываются соответствующими уравнениями (2) — (4). Приемлемость остаточного среднеквадратического отклонения  $\sigma$  для всех экспериментов проверялась по критерию Фишера и были получены следующие результаты:



Значения критерия Фишера	Для линии регрессии согласно рис. 1		
	1	2	3
Вычисленные по формуле	1,06	1,02	2,41
Взятые из таблицы VII [2]	2,38	3,62	3,62

Как видно из приведенных данных, значения критерия Фишера, вычисленные по формуле [2, ст. 176], для всех проведенных экспериментов меньше значений, взятых с уровнем значимости 0,01 из таблицы VII[2]. Таким образом остаточные среднеквадратические отклонения являются ожидаемыми величинами, приемлемыми с метрологической точки зрения. Следовательно, в рассмотренных случаях, интересующая нас зависимость описывается найденными нами уравнениями (2)–(4).

Анализ экспериментальных данных дает возможность заключить, что в редокс-системах вина значения стационарного потенциала, измеряемого с помощью тонкослойного платинового электрода типа ЭТПП-1 (который до эксплуатации предварительно подвергался катодной поляризации), в каждый момент времени следует считать равным окислительно-восстановительному потенциалу исследуемого виноматериала.

Научно-исследовательский институт  
автоматизации производственных  
процессов в промышленности, г. Гори

Поступило 28.VII.1978

#### О. ГИГИЕВА ЧВОЛЛО

ამაღლაშვილი კლარისის ელექტროდის კონცენტრაცია და დანერგავალები  
განვითარების მინისტრის კონცენტრაციის შორის კორელაციის ხასიათი 20—60°C ტემპერატურის  
ინტერვალში. მიღებული შედეგები გვიჩვენებს, რომ აღნიშნულ პარამეტრებს შორის არსებული კორელაცია ვამოისახება წრფივი განტოლებით. ამ განტოლების კოეფიციენტები სხვადასხვა ლვინომასალებისთვის ლებულობენ სათანადო რიცხვით მნიშვნელობებს.

დადგნილია, რომ აღნიშნული ელექტროდის სტაციონარული პოტენციალი ნებისმიერ მომენტში შეესაბამება საკვლევი ლვინომასალის უანგვეა-ალ-დენით პოტენციალს.

E. ZHIZHILASHVILI

## CORRALATION BETWEEN THE THIN LAYER PLATINUM ELECTRODE POTENTIAL WITH THE CONCENTRATION OF OXYGEN DISSOLVED IN DIFFERENT WINE MATERIALS

### Summary

Potentiometric method was used to study the character of the correlation dependence between the value of the stationary potential of a thin layer platinum electrode and oxygen in wine materials over the temperature range from 20°C to 60°C. The obtained results show that there is a linear correlation dependence between the given above quantities. It is expressed by the equation of linear regression. The coefficients of this equation have numerical values corresponding to different wine materials.

It is found that the values of the stationary potential of the above-mentioned electrode correspond to oxidation-reduction potential of the studied wine material at each moment of time.

### ლიტერატურა — REFERENCES

1. Жижилашвили Э. Г. Сообщения АН ГССР, Тбилиси, 92, 2, 1978.
2. Регина Шторм. Теория вероятностей статистики. М., 1970.
3. Лукомский Я. И. Теория корреляции и ее применение к анализу производства. М., 1961.



УДК 53.083.75

В. Р. МАИСУРАДЗЕ

## ИССЛЕДОВАНИЕ ЭЛЕКТРОХИМИЧЕСКОГО ПОВЕДЕНИЯ НЕКОТОРЫХ НЕРЖАВЕЮЩИХ СТАЛЕЙ ПОТЕНЦИОСТАТИЧЕСКИМ МЕТОДОМ

С целью подбора металлических конструкционных материалов в производстве электролитической двуокиси марганца нами ранее были проведены коррозионные испытания весовым методом некоторых марок нержавеющих сталей в подкисленных серной кислотой растворах сульфата марганца [1].

В последние годы, как известно, в коррозионно-электрохимических исследованиях широкое распространение получил потенциостатический метод снятия анодных поляризационных кривых [2, 3].

Некоторыми авторами [4] были выполнены потенциостатические исследования сталей в растворах серной кислоты.

Например, в литературе [5] приводятся анодные потенциостатические кривые для стали ЭИ943 в 50%-ой серной кислоте при температуре 50—80°C.

Однако все эти работы выполнены в растворах серной кислоты и в среде инертного газа. Наши исследования были проведены ближе к реальным условиям производства электролитической двуокиси марганца в подкисленных серной кислотой растворах сульфата марганца при температуре 90—97°C.

Образцы исследуемых сплавов ЭИ943 и ЭП667 изготавливались цилиндрической формы. Рабочая поверхность электродов составляла 0,1 см<sup>2</sup>.

Поляризация осуществлялась с помощью потенциостата П-5827М.

Результаты исследования анодной поляризации исследуемых образцов потенциостатическим методом представлены в виде кривых в координатах  $\phi$ - $I_g$  и на рисунках 1 и 2. Как видно из этих рисунков, все кривые данных сплавов начинаются участком активного растворения.

После участка активного растворения наступает торможение анодной реакции, и стали переходят в пассивное состояние. Для стали ЭИ943 потенциал пассивации  $\phi_{pa}$  при кислотности 20—100 г/л  $H_2SO_4$  имеет значение от 0,1 до 0 В, а ток пассивации  $i_{pa}$  меняется от 1 до 10 мА/см<sup>2</sup>. Потенциал и ток полной пассивации  $\phi_{pp}$  и  $i_{pp}$  соответственно 0,25—0,3 В и 0,1 и 0,4

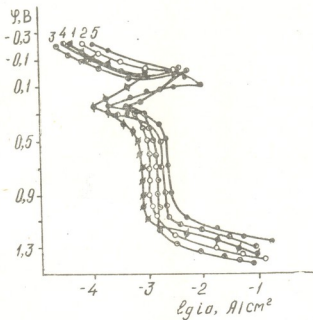


Рис. 1. Анодные потенциостатические кривые для стали ЭИ943 в растворе сульфата марганца (120 г/л) при температуре 95°C. Концентрация  $\text{H}_2\text{SO}_4$  г/л: 1—20; 2—40; 3—60; 4—80; 5—100

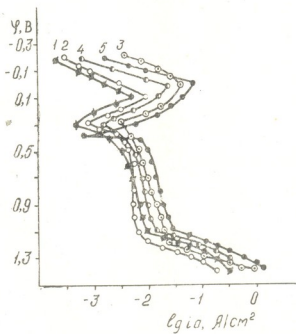


Рис. 2. Анодные потенциостатические кривые для стали ЭП667 в растворе сульфата марганца (120 г/л) при температуре 95°C. Концентрация  $\text{H}_2\text{SO}_4$ , г/л: 1—20; 2—40; 3—60; 4—80; 5—100

mA/cm<sup>2</sup>. В случае стали ЭП667  $\phi_n$  имеет примерно такое же значение, что и для стали ЭИ943, однако  $i_n$  на порядок выше (10—90 mA/cm<sup>2</sup>), а  $i_{pp}$  и  $i_{nn}$  равны соответственно 0,3—0,35 В, и 0,5—20 mA/cm<sup>2</sup>. С увеличением концентрации электролита от 20 до 100 г/л  $i_n$  и  $i_{pp}$  закономерно увеличиваются. Сталь ЭИ943 в интервале потенциалов 0,25—1,15 В находится в пассивном состоянии, а сталь ЭП667 находится в пассивном состоянии при потенциале 0,3—1,1 В.

При потенциалах 1,15 и 1,1 В для обоих сталей наступает процесс перепассивации — происходит значительный рост скорости растворения металла с увеличением потенциала. Эти значения потенциалов соответствуют началу процесса анодного выделения кислорода и растворения сплава [6]:



Некоторые авторы [6, 7] объясняют явление перепассивации тем, что при достаточном повышении анодного или окислительно-восстановительного потенциала среды изменяется характер анодного процесса — образуются ионы металла высшей валентности, дающие растворимые или неустойчивые соединения, что приводит к нарушению пассивного состояния и увеличению скорости растворения металла. Для железа и хрома такими ионами являются  $\text{FeO}_4^{2-}$  и  $\text{CrO}_4^{2-}$ . Ионы высшей валентности в растворе под влиянием восстановителей и электродных процессов на металле восстанавливаются затем до трехвалентных, т. е. переходят в более устойчивую форму [8].

В рабочем электролите для получения ЭДМ-2 при температуре 90—97°C исследуемые стали ЭИ943 и ЭП667 в довольно большом интервале потенциалов находятся в пассивном состоянии, характеризующемся низкими скоростями растворения.

## Институт неорганической химии и электрохимии АН ГССР

Поступило 25.VIII. 1978

3. Categories

የኢትዮጵያ ማኅበርናንድ ቤተክርስቲያን የኢትዮጵያውያንድ አዲስአበባ

၄၇၈

პორტუგალიის სტატური მეთოდით შესწავლილია მაღლლევირებული ფოლადების ენ943 და ეპ667 კორზისული მედევნობა გოგირდმევათა შემ-სავარგზო მანანანმსულობის სხსარებში (95–96°).

ମଙ୍ଗାରୁମୁଶ-ସୁଲକ୍ଷ୍ମୀତିଥି କ୍ରନ୍ଧନରୁହାପୂରୀ ପ୍ରାୟେ ୧୦ ମୀଟରରେ ଉଚ୍ଚତାରେ ୧୨୦ ଗ୍ରାମ୍‌ରେ ଏହାରୁହାପୂରୀ କ୍ରନ୍ଧନରୁହାପୂରୀ ପ୍ରାୟେ ୧୦ ମୀଟରରେ ୧୦୦ ଗ୍ରାମ୍‌ରେ ଏହାରୁହାପୂରୀ କ୍ରନ୍ଧନରୁହାପୂରୀ ପ୍ରାୟେ ୧୦ ମୀଟରରେ ୧୦୦ ଗ୍ରାମ୍‌ରେ

გამოცდის შედეგებმა გვიჩვენა, რომ აღნიშნულ სხარებში ფლაზლები ეИ943 და ეП667 კოროზიულად საჭარიდ მედუგია და შეიძლება მთელ გამოყინვას საკონტაქტო დროს მინიჭნობის ოპერატორის წერტილით მიმღებდეს.



V. R. MAISURADZE

## STUDIES OF ELECTROCHEMICAL BEHAVIOUR OF SCME STAINLESS STEELS BY POTENTIOSTATIC METHOD

### Summary

Corrosion resistance of high-doped steels EI943 and EP667 was studied using the potentiostatic method in solutions of manganese sulphate (120g/l) acidified with sulphuric acid at the temperature 95—96°C.

It was established that the EI943 steel in solutions containing 20—100g/l of sulphuric acid the temperature 95°C was in a passive state over the range from 0.15 to 1.15v, while the EP667 steel over the potential range from 0.3 to 1.1v. At these potentials the studied steels are characterized by low dissolving rates.

### ЛІТЕРАТУРА — REFERENCES

1. Майсурадзе В. Р., Чахунашвили Т. А., Джапаридзе Л. Н. Известия АН ГССР, серия химическая, т. 2, № 3, 273, 1976.
2. Колотыркин Я. М., Флорианович Г. М. Коррозия и защита от коррозии. т. 4, М., 30, 1975.
3. Фрейман Л. И., Макаров И. Е., Бриксен И. Е. Потенциостатические методы в коррозионных исследованиях и электрохимической защите. Изд. „Химия“, Л., 58, 1972.
4. Бозин Н. А., Куртепов М. М. Журнал физич. химии, т. XXXV, I, 34 (1961).
5. Бабаков А. А., Приданцев М. В. Коррозионностойкие стали и сплавы. Изд. «Металлургия», М., 215, 1971.
6. Томашов Н. Д., Чернова Г. П. Пассивность и защита металлов от коррозии. Изд. «Наука», 206, 1965.
7. Эванс Ю. Р. Коррозия, пассивность и защита металлов. Металлургиздат, М.Л., 34, 1941.
8. Жук Н. П. Курс теории коррозии и защиты металлов. Изд. «Металлургия», М., 82, 1976.



УДК 547.655

А. И. ДВАЛИШВИЛИ, Р. Ш. КЛДНАШВИЛИ, М. Ш. ВАШАКИДЗЕ,  
Р. М. ЛАГИДЗЕ

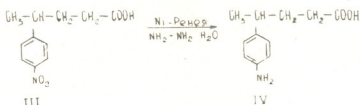
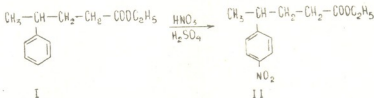
## НОВЫЙ СПОСОБ ПОЛУЧЕНИЯ $\gamma$ (*p*-АМИНОФЕНИЛ)- ВАЛЕРИАНОВОЙ КИСЛОТЫ

Благодаря успешному применению  $\gamma$ -аминомасляной кислоты в медицинской практике в качестве эффективного лекарственного средства «Гамалона» (аминолона) и ее разносторонней биологической активности, синтез различных аналогов этого ценного вещества и изучение их свойств в указанном направлении привлекает возрастающее внимание исследователей. В этом отношении значительный интерес представляет ее жирноарomaticкий аналог с пара-аминофенильной группировкой в  $\gamma$ -положении валериановой кислоты. Ранее в целях получения соответствующего продукта поликонденсации способ синтеза  $\gamma$ -(*p*-аминофенил)валериановой кислоты впервые был описан в работе [1]. Следует, однако, отметить, что получение самой  $\gamma$ -аминофенилвалериановой кислоты как по указанной методике, так и по другим способам, которые были предложены [2, 3] на основе труднодоступных исходных продуктов, связано со многими неудобствами. Особо следует подчеркнуть также, что при ее нитровании в условиях, рекомендованных в работе [1], образуется трудноразделяемая смесь о- и *p*-изомеров и выход  $\gamma$ -(*p*-нитрофенил)валериановой кислоты не превышает 48%.

В отличие от рассмотренных способов синтеза  $\gamma$ -(*p*-аминофенил)-валериановой кислоты мы осуществляли в следующей последовательности: исходные продукты —  $\gamma$ -фенилвалериановую кислоту и ее этиловый эфир получали на основе многотоннажного продукта промышленности основного органического синтеза 1,3-бутандиола в ранее описанных условиях [4, 5].

Нитрованием этилового эфира  $\gamma$ -фенилвалериановой кислоты нитрирующей смесью в  $CCl_4$ , при охлаждении ледяной водой, получен этиловый эфир  $\gamma$ -(*p*-нитрофенил)валериановой кислоты с выходом 86%. Омыление последнего 33% соляной кислотой приводит к образованию  $\gamma$ -(*p*-нитрофенил)валериановой кислоты с выходом 90%. Восстановлением соединения (III) гидразин-гидратом в присутствии Ni-Ренея [6] была получена  $\gamma$ -(*p*-аминофенил)валериановая кислота с выходом 89%.

Восстановлением этилового эфира  $\gamma$ -(*p*-нитрофенил)валериановой кислоты в указанных условиях был получен соответствующий аминно-эфир, с выходом 80%, который в данной работе описан впервые.



Этиловый эфир  $\gamma$ -(п-нитрофенил)валериановой кислоты (II).

$\gamma$ -фенилвалериановая кислота с т. кип. 150—151° (2,5 мм),  $n_D^{20}$  1.5125 и ее этиловый эфир (I) с т. кип. 94—95° (1 мм),  $n_D^{20}$  1.4910 получены в ранее описанных условиях [4, 5].

К раствору 17 г этилового эфира  $\gamma$ -фенилвалериановой кислоты в 10 мл  $\text{CCl}_4$  при охлаждении ледяной водой и перемешивании добавляли малыми порциями интрирующую смесь: 15 мл  $\text{HNO}_3$  ( $d=1,39$ ) и 25 мл ( $\text{H}_2\text{SO}_4$  ( $d=1,84$ ) в течение 25 минут. Затем реакционную массу оставляли при комнатной температуре 3 часа. Кислотный слой отделяли в делительной воронке, продукт реакции разбавляли эфиром, эфирный раствор промывали водой до нейтральной реакции и сушили над  $\text{Na}_2\text{SO}_4$ . Эфир отгоняли, и остаток фракционировали в вакууме, т. кип. 149—150 (1 мм),  $n_D^{20}$  1.5201,  $d_{4}^{20}$  1.1322, выход 86%. Найдено, %: C 62.50, 62.54; H 7.01, 6.77; N 5.81, 5.84.  $\text{C}_{13}\text{H}_{17}\text{O}_4\text{N}$ . Вычислено, %: C 62.15; H 6.77; N 5.57.

#### $\gamma$ -(п-нитрофенил)валериановая кислота (III)

К 2,5 г этилового эфира (II) добавляли 20 мл 33% раствора соляной кислоты и смесь нагревали на водяной бане в течение 10 часов. Образовавшийся осадок несколько раз промывали водой и перекристаллизовывали из этанола. Дважды перекристаллизованный продукт имеет т. пл. 124—125°. Выход 90%. По литературным данным т. пл. 125° [1]. Найдено, %: C 59.21, 59.18; H 5.81; 5.79; N 6.29, 6.27.  $\text{C}_{11}\text{H}_{13}\text{O}_4\text{N}$ . Вычислено, %: C 59.19; H 5.83; N 6.27.

#### $\gamma$ -(п-аминофенил)валериановая кислота (IV).

К раствору 4 г соединения (III) в 40 мл этанола добавляли небольшими порциями до 1 г катализатора Ni-Ренея в течение 2 часов. Затем смесь подогревали на водяной бане практически до прекращения выделения газов. Раствор отфильтровывали от катализатора и растворитель отгоняли. Остаток извлекали эфиром, эфир отгоняли. Оставшуюся белую порошкообразную массу несколько раз перекристаллизо-

вывали из водного этанола. Т. пл. 129—130°. Выход 89%. По литературным данным 129° [1]. Найдено, %: С 68.44, 68.19; Н 7.94, 7.96; N 7.30, 7.12. C<sub>11</sub>H<sub>15</sub>O<sub>2</sub>N. Вычислено, %: С 68.39; Н 7.77; N 7.25.

Этиловый эфир  $\gamma$ -(п-аминофенил)-валериановой кислоты (V).

Восстановлением 10 г этилого эфира  $\gamma$ -(п-нитрофенил)валериановой кислоты (II) с т. кип. 149° (1 мм), n<sub>D</sub><sup>20</sup> 1.5201, 10 мл гидразингидрии получено соответствующее аминосоединение. Т. кип. 133—135° (1 мм), n<sub>D</sub><sup>20</sup> 1.5295. Выход 80%. Найдено, %: С 70.85, 70.75; Н 8.60, 8.56; N 6.72, 6.80. C<sub>13</sub>H<sub>19</sub>O<sub>2</sub>N. Вычислено, %: С 70.58; Н 8.56; N 6.33.

Хлоргидрат  $\gamma$ -(п-аминофенил)валериановой кислоты (VI) получен взаимодействием 1 г (IV) —  $\gamma$ -(п-аминофенил)валериановой кислоты с насыщенным раствором HCl в абсолютном эфире. Образовавшийся осадок отфильтровывали, промывали сухим эфиром и перекристаллизовывали из смеси абсолютного этилового спирта и эфира (1:10). Т. пл. 200—201°. Выход 88%. Найдено, %: С 57.37, 57.19; Н 6.87, 6.80. Cl 15.23. C<sub>11</sub>H<sub>16</sub>O<sub>2</sub>Cl. Вычислено, %: С 57.51; Н 6.96; Cl 15.47.

Институт физической и органической химии им. П. Г. Меликишвили АН ГССР

Поступило 16.V.1978

ა. დვალიშვილი, რ. ქლიაშვილი, მ. ვაჟაპეგი, რ. ლაგიძე

$\gamma$ -(3-ამინოფენილ)-ვალერიანის მიღების ახალი მეთოდი

რეზიუმე

აღწერილია  $\gamma$ -(3-ამინოფენილ)-ვალერიანშევის სინთეზის ახალი მარტივი გზა. ნაჩენებია დასახელებული ნერთის ბიოლოგიური აქტივობის კვლევის ინტერესი, როგორც ცნობილი სამკურნალო საშუალების  $\gamma$ -ამინოერბოსმევის სტრუქტურული ინალოგისა პ-ამინოფენილის ჯგუფის ვალერიანშევის  $\gamma$ -მდგომარეობაში.

A. J. DVALISHVILI, R. SH. KLDIASHVILI, M. SH. VASPAKIDZE,  
R. M. LAGIDZE

## A NEW METHOD FOR $\gamma$ -(p-AMINOPHENYL)-VALERIANIC ACID OBTAINING

### Summary

A new simple method for  $\gamma$ -(p-aminophenyl)-valerianic acid obtaining is described. A special attention is drawn to studies of biological activity of this compound as an analogue of well known medicinal substance  $\gamma$ -amino butyric acid with an p-aminophenyl group in  $\gamma$ -position of valerianic acid.

### ლიტერატურა — ЛИТЕРАТУРА — REFERENCES

1. Colonge J., Fichez E. Bull. Soc. Chim. France, 412—19 (1955).
2. Mosby N. J. Am. Chem. Soc., 74, 2564 (1952).
3. Neptizescu K., Glatz A. M. Bull. Soc. Chim. France, 2, 218, (1961).
4. Лагидзе Д. Р., Саникидзе Н. С., Малацидзе Ю. Л. Сообщ. АН ГССР, 57, 2 (1970).
5. Лагидзе Д. Р., Талаквадзе Л. Я. Сообщ. АН ГССР, 72, I (1973).
6. Balcom D., Furst A. J. Am. Chem. Soc., 75, 4334 (1953).



УДК 541.121

В. Ю. МИНДИН, А. Ш. АВАЛИАНИ, Ц. Г. ЦИКЛАУРИ

ТЕРМОДИНАМИЧЕСКИЙ АНАЛИЗ ВЗАИМОДЕЙСТВИЯ  
АНОДНОГО ХЛОРА С МЕТАНОМ

В процессах электролиза расплавленных хлоридов с жидким катодом и нерастворимым — обычно графитовым — анодом, одной из причин, понижающих эффективность процесса, является выделение хлора на аноде, что приводит к сравнительно высокому значению анодного потенциала. Одним из возможных путей снижения этого потенциала является реализация на аноде химической реакции, результатом которой являлось бы более полное связывание выделяющегося хлора. Среди возможных деполяризаторов относительно доступным и экономически выгодным следует считать метан.

Очевидно, что в процессе взаимодействия метана с хлором следует добиваться выполнения двух условий — хлор должен быть связан возможно более полно при исключении возможности образования углеро-

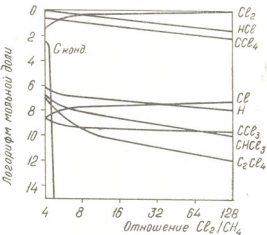


Рис. 1. Зависимость равновесного состава системы, полученной взаимодействием хлора с метаном, от соотношения хлор/метан при 600 К и 1 атм (по оси ординат — отрицательный логарифм мольной доли).

да в конденсированном состоянии. Последнее требование вызвано тем, что мелкодисперсный углерод будет загрязнять электролит и катодный металл (сплав).



В соответствии с вышеизложенными соображениями, в продолжение ранее проведенных работ по электролизу расплавов с жидкими многоатомными катодами [1] было предпринято исследование возможности сопряжения процесса получения катодного сплава и процесса деполяризации анода метаном.

Ниже излагаются результаты термодинамического анализа.

Термодинамический анализ процесса проводился методом минимизации энергии Гиббса системы по программам, разработанным для ЭВМ типа «Наури» [2]. Всего в расчете учитывалось 27 компонентов, термодинамические параметры которых были заимствованы из [3].

Анализ полученных результатов для широкого спектра температур и соотношений хлор:метан показал, что при высоких температурах (1000 К) имеет место образование углерода в конденсированной форме уже при соотношениях хлор:метан=30:1, т. е. при значительном избытке хлора.

Понижение температуры до 600 К позволяет получать равновесную смесь, не содержащую углерода в конденсированном состоянии; при незначительном избытке хлора (отношение хлор:метан=4,5:1). Основными продуктами реакции в этих условиях являются четыреххлористый углерод (0,1819 мольн. доли), хлористый водород (0,7271 мольн. доли) и хлор (0,0910 мольн. доли).

Остальные компоненты присутствуют либо в следовых количествах ( $10^{-6}$  мольн. доли), либо практически отсутствуют (рис. 1).

Таким образом, на основе термодинамического анализа процесса взаимодействия метана с хлором в качестве рабочего режима можно рекомендовать проведение процесса при  $600^{\circ}\text{K}$  и отношении хлора:метан не менее 4.5:1.

Институт неорганической химии  
и электрохимии АН ГССР,  
Грузинский политехнический  
институт им. В. И. Ленина

Поступило 14.VIII.1978

3. ၂၀၁၅၀၃၆၀, ၄. ၂၃၁၅၀၃၆၀, ၅. ၂၀၁၅၀၃၆၀

კულტურული მემკვიდრეობის დაცვისა და განვითარების სამინისტრო

Page 3

გაცლვალი ქლორიდების ელექტროლიზის ფროს ანოდზე გამოყოფილი ქლორი განაისრობებს ანოდის პორტუკალის მაღლ შიშვნელობას. მათ არასასურველი მოვლენის თავიდან აცილებისათვის მიზანშეწონილად არის ჩათვლითი ანოდური ქლორის შებოჭვა ქმიტური გზით.

აღნიშნულთან დაკავშირებით ჩატარებულია სისტემის — „მეთანი-ქლორი“ თერმოლინამკური ანალიზი. სავარაუდო აღცული იყო 27 დასახუბის კონცენტრაცია 600—1000 K ტემპერატურულ ინტენსივულში.

V. YU. MINDIN, A. SH. AVALIANI, B. G. TSIKLAURI



THERMODYNAMIC ANALYSIS OF THE INTERACTION OF  
ANODE CHLORINE WITH METHANE

Summary

A thermodynamic analysis of the interaction of chlorine with methane has been carried out in the wide range of chlorine: methane (in the temperature interval 600–1000K).

27 possible components are considered in the calculation.

It has been established that the formation of carbon in the condensed state is excluded at 600K and a high excess of chlorine (chlorine:methane = 4.5:1).

ЛІТЕРАТУРА — REFERENCES

1. Авалiani А. Ш., Шулая Л. Н. Сообщ. АН ГССР, 1972, 2.
  2. Миндин В. Ю. Известия АН ГССР, серия химическая, З. 279 (1978).
  3. Гурвич Л. В., Хачкурузов Г. А., Медведев В. А. и др. Термодинамические свойства индивидуальных веществ, т. 2, изд. 2, М., Изд. АН СССР, 1962.
-

УДК 547.362.2

А. И. ҚАХНИАШВИЛИ, Э. Н. ЧИКОВАНИ, Д. С. ПАРДЖИКИЯ, К. В. ДОНДУА

### ИЗУЧЕНИЕ БИОЛОГИЧЕСКОЙ АКТИВНОСТИ НЕКОТОРЫХ АЛКЕНИЛФЕНОЛОВ И ИХ ПРОИЗВОДНЫХ

Феноксиккусные кислоты, получаемые при конденсации алкенилфенолов с монохлоркусной кислотой, являются биологически активными веществами и находят практическое применение в различных областях сельского хозяйства [1—6].

Исходя из вышесказанного, мы поставили перед собой задачу исследовать синтезированные нами некоторые арилоксиарбоновые кислоты на биологическую активность [7—9]. Испытание биологической активности проведено на кафедре физиологии растений Грузинского сельскохозяйственного института (в учебном хозяйстве Мухрани и Ди-гоми). Подвой обрабатывали 0,02% раствором стимуляторов, после чего прививки помещали в теплицу (в качестве подвоя был взят гибрид Рипария X Берландиери, а в качестве привоя — сорт чинури). Кроме того, изучено действие основных продуктов алкинирования на грибковые заболевания пшеницы [8—10]. Испытание проводили в Грузинском филиале Всесоюзного научно-исследовательского института фитопатологии.

**Таблица I**  
Выходы прививок виноградной лозы при использовании стимуляторов

№ пн	0,02 % водные растворы использо- ванных стимуляторов	Кол-во прививок	Выходы прививок	
			Количество	%
I	1/4-карбоксиметоксифенил/-1-пентен	110	57	52
II	1/4-метоксиарбоксифенил/-1-метил- 2-пентен	84	44	52,4
III	1/4-метоксиарбоксифенил/-2-гексен	110	62	56,4
IV	1/2-метил-4-метоксиарбоксифенил/-2- гексен	84	49	58
V	1/2-карбоксиметоксифенил/-1-метил-2- гексен	84	51	60,7
VI	1/4-карбоксиметоксифенил/-2-гептен	48	37	77,1
VII	5-метил-5-/3-метокси-4-карбокси- метоксифенил/1-гексен-3-ин	84	59	70
	Гетераауксин	68	30	45,6
	Контрольный вариант	91	32	35,1

## Константы синтезированных стимуляторов

№№ пп	Название вещества	Т. кип. (Р, мм)	$\delta_1^{20}$	$\delta_2^{20}$	$MR_D$		Найдено, %		Формула	Вычислено, %	
					издиспер.	вынегломер.	C	H		C	H
I	метил-3-метокси-4-окси- фенол/1-гексен-3-он	126—128° (1)	1,0410	1,5348	66,60	63,94	77,91	7,52	$C_{11}H_{12}O_2$	77,78	7,40
II а, б	1/2-метил-4-оксифенол/ 2-гексен	124—125°	0,9771	1,5260	59,79	59,58	82,22	9,51	$C_9H_{12}O$	82,10	9,47
	1/2-метил-4-оксифенол/ 1-метил-2-пентен	(2)					82,18	9,39			
III а, б	1/3-метил-4-оксифенол/ 2-гексен	114—115°	0,9607	1,5270	61,60	59,58	81,75	9,75	$C_9H_{12}O$	82,06	9,47
	1/3-метил-4-оксифенол/ 1-метил-2-пентен	(2)					81,66	9,62			
IV а, б	1/4-оксифенол-2-гептен	122—124°	0,9614	1,5185	59,37	58,54	82,54	82,38	$C_9H_{12}O$	82,07	9,52
	1/4-оксифенол-1-метил-2- гексен	(2)									
V а, б, в, г	1/3-метокси-4-оксифенол/ гексен-2										
	1/3-метокси-4-оксифе- нол-1-метил-2-пентен										
	1/4-метокси-3-оксифенол-/ гексен-2	125—127° —(2)	1,0164	1,5230	61,74	61,88	75,53 75,65	8,57 8,78	$C_{10}H_{14}O_2$	75,30	8,78
	1/4-метокси-3-оксифенол-/ 1-метил-2-пентен										



Из таблицы 1 видно, что все приведенные вещества значительно увеличивают срастание и выход прививок виноградной лозы по сравнению с гетероауксином. Нами выявлена также связь между химическим строением и биологической активностью этих соединений. Так, например: а) феноксиарбоновые кислоты производных алкенилкрезолов более активны, чем феноксиарбоновые кислоты производных алкенилфенолов; б) увеличение алкенильного радикала усиливает биологическую активность этих кислот (I, IV, VI); в) продукты конденсации пара-замещенных алкенилфенолов с монохлоруксусной кислотой (II, VI) более эффективны, чем продукты конденсации ортозамещенных алкенилфенолов с монохлоруксусной кислотой.

В таблице 2 представлены алкенилфенолы, которые оказались эффективными против грибкового заболевания пшеницы (I, II-а, б, III-а, б, IV-а, б, V-а, б, г).

Исследования показали, что из вышеуказанных веществ в концентрации 0,1% 5-метил-5/3-метокси/4-оксифенил/-1-гексен-3-ин снижает развитие грибкового заболевания (мучнистая роса — пшеницы) на 75%, а алкенилфенолы II а, б, III а, б, IV а, б, V а, б, в, г, — на 56%.

Таким образом, показано, что продукты конденсации синтезированных алкенилфенолов с монохлоруксусной кислотой являются хорошими стимуляторами роста растений.

Тбилисский государственный университет

Поступило 14.VII.1978

А. КАХНИАШВИЛИ, О. ЧИКОВАНИ, Д. ПАРДЗНКИА, Д. ДОНДУА

ЧОЛГОДОЛОВИ АЦЦАЕНОЛФАСЕНОЛЛАДОВА და ատո բարձրացնելու գործոքաշი  
ազօնութեան վայելա

### ო ე ზ ი უ მ ე

აღმოჩნდა, რომ ჩვენს მიერ სინთეზირებული ზოგიერთი არილოქსი-  
მიარმენები ამელაენებენ ბიოლოგიურ აქტივობას. აძლიერებენ მყნობის კომ-  
პონენტების შეზრდას და ვაზის ნამყენვამოსავლიანობას ჰეტეროაუქსინთან  
შედარებით.

დაღვენილია, რომ არილოქსიკარბონმენები მიღებული პარაჩანაცვლე-  
ბული ალკენილკრეზოლებიდან უფრო აქტიურნი არინ, ვიდრე ორთოჩანა-  
ცვლებული ალკენილკრეზოლებიდან მიღებული არილოქსიკარბონმენები.

ალკენილფენოლების ზოგიერთი წარმომადგენლები ეფექტურნი აღმო-  
ჩნდენ მარცვლეულ კულტურათა სოკოვანი დაავადების სამკურნალოდ.

A. I. KAKHNIASHVILI, E. M. CHIKOVANI, D. S. PARDZNIKIA,  
K. V. DONDUA

### STUDIES OF BIOLOGICAL ACTIVITY OF SOME ALKENYL PHENOLS AND THEIR DERIVATIVES

#### Summary

It is shown that synthesized aryloxycarboxylic acids cause a considerable increase of knitting and yield of graftings for vines in comparison with 368



heteroauxin. It is found that phenoxycarboxylic acids of alkenylkreozol derivatives in the concentration 0.02% are more active than phenoxycarboxylic acids of alkenylphenol derivatives, the activity of the former is higher by 10%.

In addition, the effect of alkenylphenols on wheat fungus disease is studied. It is shown that in the concentration 0.1% the most effective is 5-methyl-5/3-methoxy-4-oxyphenyl/1-hexan-3-in decreasing the infection by 75%.

The connection between the structure and biological activity of alkenylphenol is discussed.

#### ЛІТЕРАТУРА — REFERENCES

1. Коберидзе А. В. Физиология растений, т. 5, М., 1958.
2. Калинин Ф. Л., Мережинский Ю. Г. Регуляторы роста растений, биохимия действия и применение. Киев, 1965.
3. Кахниашвили А. И., Бугианишвили Д. Я. ЖОРХ т. 1, вып. I, 1043, 1965.
4. Кахниашвили А. И. Глонти Г. Ш. Труды ТГУ, т. 104, 272, 1964.
5. Кахниашвили А. И., Глонти Г. Ш. ЖОХ, т. 2, вып. 2, 98 (1966).
6. Кахниашвили А. И., Коберидзе А. В., Бендиашвили Н., Бушанишвили Д. Я. Сообщения АН ГССР, т. 57, 3 (1970)
7. Кахниашвили А. И., Чиковани Э. Н. Сообщения АН ГССР, т. 52, 2, (1968)
8. Кахниашвили А. И., Чиковани Э. Н. Сообщения АН ГССР, т. 53, I (1969)
9. Кахниашвили А. И., Чиковани Э. Н., Иорамашвили Д. Ш. Сообщения АН ГССР, т. 70, № 1 (1973)
10. Кахниашвили А. И., Чиковани Э. Н., Иорамашвили Д. Ш. Сообщения АН ГССР, т. 70, № 2 (1973)

УДК 661.871.16

Л. И. БАЦНАДЗЕ, Э. Э. САРДЖВЕЛАДЗЕ, Л. Д. ДОЛИДЗЕ

**ПОЛУЧЕНИЕ ЭЛЕКТРОЛИТИЧЕСКОЙ ДВУОКИСИ МАРГАНЦА  
 (ЭДМ-2) ИЗ ОКИСНЫХ МАРГАНЦЕВЫХ РУД  
 НИКОПОЛЬСКОГО МЕСТОРОЖДЕНИЯ**

Настоящее исследование проведено с целью уточнения возможности использования калийсодержащих окисных марганцевых руд Никопольского месторождения для производства ЭДМ-2.

Известно, что для получения ЭДМ-2, пригодной для применения в электротехнической промышленности, используются руды с ограниченным содержанием калия, так как присутствие последнего в электролите оказывает отрицательное влияние на качество получаемого продукта [1]. Содержание калия в окисной марганцевой руде Никопольского месторождения составляет  $\approx 1,4\text{--}1,6\%$ .

Анализ руды и полученного продукта проводился по известным в литературе методам [2]. Для определения калия и натрия был применен пламеннофотометрический метод.

Исходный электролит готовился выщелачиванием предварительно восстановленного концентрата окисной марганцевой руды, а отработанный электролит нейтрализовался выщелачиванием того же концентрата. Состав концентрата окисной марганцевой руды дается в табл. 1.

Таблица 1

Состав концентрата окисной руды I сорта Никопольского месторождения (%)

Mn <sub>100</sub>	MnO <sub>2</sub>	SiO <sub>2</sub>	Al <sub>2</sub> O <sub>3</sub>	Fe <sub>2</sub> O <sub>3</sub>	Ti	CaO	MgO	BaO	Ni	Pb	C	SO <sub>3</sub>	K <sub>2</sub> O	Na <sub>2</sub> O	Влаги
45,35	57,16	13,07	2,36	3,20	следы	0,40	1,072	0,044	0,14	0,01	следы	0,24	1,7	0,45	3,04

С целью восстановления измельченный и перемешанный концентрат руды вместе с углем (Mn:C=10:1) загружался в стальной цилиндр. Восстановление проводилось в течение одного часа в печи при температуре 800°. Степень восстановления по марганцу составляет 94,5%.

Для приготовления одного литра исходного электролита — сульфата марганца (100—120 г/л) 100 грамм восстановленного концентрата выщелачивались раствором серной кислоты (86,34 г/л) при температуре 80—90°. Результаты опытов приведены в таблице 2.

Приготовленный таким образом электролит состава 116,8 г/л MnSO<sub>4</sub>, 15 г/л H<sub>2</sub>SO<sub>4</sub>, 1,43 г/л K<sub>2</sub>SO<sub>4</sub> подвергался электролизу. Продолжительность электролиза определялась по концентрации серной кислоты, образующейся в процессе электролиза. При достижении концентрации серной кислоты 30 г/л (через каждые семь часов) ванна от-

ключалась, обедненный по марганцу кислый электролит заменялся корректированным электролитом. Проведенные анализы растворов на содержание калия до и после электролиза показали, что при десятикратном выщелачивании концентрата отработанным электролитом концентрация ионов калия в растворе увеличивается от 0,016 моль/л до 0,02 моль/л.

Таблица 2

Электролит, полученный после выщелачивания концентрата серной кислотой

Состав, г/л			Степень выщелачивания, %	
Mn <sup>2+</sup>	K	Na	по Mn	по K
38,30	0,64	0,30	96,0	50,0

В табл. 3 приведены показатели электролиза при получении ЭДМ-2 из окисных марганцевых руд Никопольского месторождения.

Как видно из табл. 3, содержание калия в ЭДМ-2 не превышает 0,14% и полученная двуокись марганца представляет собой  $\gamma$ -модификацию.

Таблица 3

Показатели электролиза при получении ЭДМ-2 из окисных марганцевых руд  
Никопольского месторождения

Продолжительность электролиза, ч	Количество ЭДМ-2, г	Напряжение, В	Поверхность электрол., м <sup>2</sup>	Выход MnO <sub>2</sub> по току, %	Состав MnO <sub>2</sub> , %					Модификация MnO <sub>2</sub>
					Mnобщ	Mn	K	Na	Влага	
71	296	1,8 ÷ 2,0	0,144	92	58,44	89,43	0,14	0,03	2,68	7

Емкость элементов 336, изготовленных на основе ЭДМ, полученной из вышеуказанного электролита и испытанных при разряде на сопротивление 1170 м, составляет 1,27 Ач, что соответствует требованиям ТУ на ЭДМ-2 и совпадает с данными исследований, проведенных в ВНИИПодобром [3].

Полученные нами результаты дают возможность заключить, что несмотря на повышенное содержание в руде калия марганцевый концентрат 1 сорта Никопольского месторождения может быть использован для получения ЭДМ-2.

Институт неорганической химии  
и электрохимии АН ГССР

Поступило 26.VI.1978

### რეზიუმე

დადგრილია, რომ ნიკოპლის კალიუმშემცველი მაღნების გამოტურვის შედეგად მიღებული მანგანუმის ელექტროლიზური ორეანგის მისალება ხსნარი შეიცავს 0,64 გ/ლ კალიუმის იონებს. ასევე ადგი გაცოტურვის შედეგად კალიუმის იონების რაოდენობა არ აღემატება 0,78 გ/ლ.

ამ ხსნარებიდან ელექტროლიზურ ხერხით გამოლექილი მანგანუმის ორეანგი არის  $\gamma$ -მოდიფიკაციისა და შეიცავს 0,14% კალიუმს. პროცესის ელექტროქემიური აქტიურობა აქმაყოფილებს მანგანუმის ელექტროლიზურ ორეანგზე ტექნიკური პირობებით გათვალისწინებულ მოთხოვნებს.

L. I. BATSANADZE, E. E. SARDZHVELADZE, L. D. DOLIDZE

### ELECTROLYTIC MANGANESE DIOXIDE (EDM-2) OBTAINING FROM OXIDE MANGANESE ORES FROM NIKOPCL DEPCSIT

#### Summary

It was found that the solution for electrolyte manganese dioxide obtaining, received as a result of leaching of Nikopol ores containing potassium has 0.64 g/l of potassium ions. As a result of ten fold leaching of the ore the amount of potassium ions does not exceed 0.78 g/l.

Manganese dioxide obtained from these solutions contains 0.14% of potassium and is a  $\gamma$ -modification. By its electrochemical activity the product satisfies the requirements corresponding to the technical conditions for electrolytic manganese dioxide.

#### ЛІТЕРАТУРА — REFERENCES

1. Kosawa A. and Sasaki J. Electrochem. Soc., Japan, 22, 569 (1954).
2. Анализ минерального сырья. Госхимиздат, Ленинград, 1959.
3. Маркова В. М., Богданова И. Ф., Косатуров В. Е. Сб. «Химия и технология соединений марганца», ГИПХ (1977).

УДК 546.681.3'32'185

Н. И. ЧУДИНОВА, М. А. АВАЛИАНИ, И. В. ТАНАНАЕВ

## О НЕКОТОРЫХ КОНДЕНСИРОВАННЫХ ФОСФАТАХ ГАЛЛИЯ

Перспективность использования конденсированных фосфатов редких элементов в новейшей технике и квантовой электронике несомненна.

В работах [1—4] описаны синтезированные нами двойные конденсированные фосфаты калия—галлия.

В настоящей работе исследована система  $M_2C-Ga_2O_3-P_2O_5-H_2O$  (где  $M=Li, Cs$ ) в интервале температур 100—500°C. Молярное отношение исходных компонентов в смеси составляло —  $M_2O:Ga_2O_3=2.5; 5; 7.5; 10$ , а отношение  $P_2O_5: Ga_2O_3$  оставалось неизмененным, равным 15.

Методика эксперимента подробно описана в работе [2].

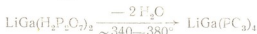
В литиевой системе при низких температурах (150—175°C) на всех четырех разрезах получены двойные кислые пирофосфаты лития-галлия  $LiGa(H_2P_2O_7)_2$ . По данным рентгенофазового анализа кислый пирофосфат лития-галлия выделяется на разрезах с  $n=Li_2O:Ga_2O_3=2.5$  и 5 с примесью  $GaH_2P_3O_{10} \cdot H_2O$ , а с  $n=7.5$  и 10 — как чистая безпримесная фаза.

В высокотемпературной области (275—340°C) кристаллизуется двойной метаfosфат  $LiGa(PO_3)_4$  (разрезы с  $n=5$  и 7.5, табл. 1). Здесь можно говорить об определенной аналогии с калиевой системой [1, 2]. На разрезе с  $n=10^*$ ,  $LiGa(PO_3)_4$  кристаллизуется с примесью  $Ga(PO_3)_3$  и область его образования смещается к более высоким температурам (370—450°C).

Дальнейшее повышение температуры приводит к образованию на всех разрезах высокотемпературного полифосфата  $Ga(PO_3)_3$ , изоморфного  $Al(PO_3)_3$  формы «С».

Межплоскостные расстояния и интенсивности линий  $LiGa(H_2P_2O_7)_2$  и  $LiGa(PO_3)_4$ , приведены в табл. 1. Сравнение дифрактограмм, полученных для  $KGa(H_2P_2O_7)_2$ ,  $KGa(PO_3)_4$  [2] и аналогичных соединений лития-галлия, показало, что эти соединения не изоморфны.

Термографическое исследование соединений, выделенных в литиевой системе, показало, что  $LiGa(H_2P_2O_7)_2$  при 340—380°C отцепляет конституционную воду, что приводит к конденсации аниона и образованию двойного метаfosфата  $LiGa(PO_3)_4$  по схеме:



Образование этого соединения подтверждено данными рентгенофазового анализа. Оно плавится около 655°C.

\* В смесях с  $n=7.5$  и 10 (а в литиевой системе также с  $n=5$ ) выше 210°C паряду с основной фазой кристаллизовалась и примесная — метаfosфат щелочного металла  $MPO_3$ , который отделялся от двойных конденсированных фосфатов галлия избирательным растворением (при слабом нагревании) в соляной кислоте (1:2).



В системе  $\text{Cs}_2\text{O}$ — $\text{Ga}_2\text{O}_3$ — $\text{P}_2\text{O}_5$ — $\text{H}_2\text{O}$  образуется двойной кислый триполифосфат двух модификаций— $\text{CsGa}^{\text{I}}\text{HP}_3\text{O}_{10}$ —I и  $\text{CsGaHP}_3\text{O}_{10}$ —II

Рентгенометрические характеристики выделенных соединений

$\text{LiGa}(\text{H}_2\text{P}_2\text{O}_7)_2$		$\text{LiGa}(\text{PO}_3)_4$		$\text{CsGaHP}_3\text{O}_{10}$ —I		$\text{CsGaHP}_3\text{O}_{10}$ —II	
J, %	$d_{\alpha}$ , Å	J, %	$d_{\alpha}$ , Å	J, %	$d_{\alpha}$ , Å	J, %	$d_{\alpha}$ , Å
100	7,08	3	7,90	34	5,98	29	7,76
46	6,46	100	6,81	33	4,77	13	5,43
16	6,06	13	6,28	24	4,36	18	4,67
18	4,59	31	5,37	100	4,11	100	3,83
35	4,14	4	5,21	55	3,45	31	3,64
20	3,88	4	4,54	47	3,20	10	3,37
15	3,81	21	4,39	85	2,98	75	3,22
18	3,74	8	4,12	47	2,54	26	2,75
22	3,50	22	3,73	14	2,86	23	2,60
33	3,45	20	3,63	20	2,83	10	2,54
32	3,30	81	3,58	48	2,78	6	2,52
95	3,22	16	3,43	36	2,74	8	2,48
26	3,05	35	3,21	15	2,46	11	2,40
18	2,98	3	2,91	15	2,42	6	2,34
9	2,88	16	2,87	10	2,37	6	2,14
23	2,74	22	2,77	15	2,21	6	2,11
10	2,66	26	2,57	10	2,13	13	2,08
12	2,49	16	2,42	20	2,10	14	1,95
8	2,37	16	2,39	10	2,03	13	1,91
9	2,21	22	2,30	22	1,99	13	1,81
15	2,14	6	2,22	20	1,93		
7	1,98	20	2,19	11	1,85		
13	1,93	4	2,08	14	1,84		
17	1,88	10	2,05	20	1,73		
9	1,85	7	2,00	9	1,70		
		7	1,92	9	1,60		
				11	1,53		
				11	1,50		
				9	1,47		

кристаллизации этого соединения несравненно шире, чем  $\text{KGaHP}_3\text{O}_{10}$  [1,2]—от 150 до 380—390°С. При этом представляет определенный интерес то, что низкотемпературный кислый триполифосфат цезия—галлия ( $\sim$  до 295°) имеет дифрактограмму, изотипную дифрактограмме  $\text{KGaHP}_3\text{O}_{10}$ —в отличие от кислых двойных триполифосфатов цезия—галлия, полученных при сравнительно высокой температуре (310—318° и выше).

На разрезе с отношением  $\text{Cs}_2\text{O}:\text{Ga}_2\text{O}_3=10$  в температурной области 385—450° кристаллизуется  $\text{Cs}_2\text{GaP}_3\text{O}_{10}$  — двойной триполифосфат цезия—галлия. (Следует отметить, что в интервале 385—410°С двойной триполифосфат кристаллизуется с небольшой примесью  $\text{CsGa}^{\text{I}}\text{HP}_3\text{O}_{10}$ —II).

Рентгенометрические данные для  $\text{CsGa}^{\text{I}}\text{HP}_3\text{O}_{10}$ —I и  $\text{CsGaHP}_3\text{O}_{10}$ —II приведены в табл. 1.

Из вышеизложенного можно заключить, что с увеличением ионного радиуса катиона щелочного металла при переходе от лития к цезию стабилизируется решетка кислых триполифосфатов. Это, вероятно, объясняется тем, что для данного структурного типа оптимально сочленение трехвалентного катиона галлия с малым значением ионного радиуса 0,65 Å с крупным одновалентным катионом  $\text{Cs}^+$  ( $r\text{Cs}^+ = 1,65$  Å) что обуславливает стабильность триполифосфатов в данном температурном интервале.



Термографическое исследование показало, что кислый трифосфат  $\text{CsGaHP}_3\text{O}_{10}$ —I отщепляет конституционную воду при  $560^{\circ}\text{C}$  и плавится при  $600^{\circ}\text{C}$ . Продукт дегидратации плавится при  $820$ — $840^{\circ}$  без потери веса.

Институт общей и неорганической химии им. Н. С. Курнаева АН ССР,  
Институт неорганической химии  
и электрохимии АН ГССР

Поступило 18.VII.1978

Б. ЧУДИНОВА, В. АВАЛИАНИ, И. ТАНАЕВ

СОЛНЦЕВОЕ КОМПОНОВАНИЕ СОСТАВЛЕНО УЧАСТИЯ

РУКОПИСЬ

Широкое применение в промышленности получили соединения  $\text{M}_2\text{O} \text{—} \text{Ga}_2\text{O}_3 \text{—} \text{P}_2\text{O}_5 \text{—} \text{H}_2\text{O}$  (где  $\text{M} = \text{Li}, \text{Cs}$ )  $150^{\circ}\text{C}$ — $500^{\circ}\text{C}$ . Изучены структуры, химические свойства и электрические характеристики твердых растворов:  $\text{P}_2\text{O}_5 : \text{M}_2\text{O} : \text{Ga}_2\text{O}_3 = 15:2,5:1; 15:5:1; 15:7,5:1; 15:10:1$ .

Физико-химические свойства и структура твердых растворов  $\text{LiGa}(\text{H}_2\text{P}_2\text{O}_7)_2$ , двойного метапофосфата  $\text{LiGa}(\text{PO}_3)_4$ , кислотного триполифосфата  $\text{CsGaHP}_3\text{O}_{10}$ —I и  $\text{CsGaHP}_3\text{O}_{10}$ —II описаны.

На основе изучения физико-химических свойств и структур твердых растворов установлено, что в системе  $\text{M}_2\text{O} \text{—} \text{Ga}_2\text{O}_3 \text{—} \text{P}_2\text{O}_5 \text{—} \text{H}_2\text{O}$  (где  $\text{M} = \text{Li}, \text{Cs}$ ) в температурном диапазоне  $150^{\circ}\text{C}$ — $500^{\circ}\text{C}$  образуются следующие комплексы:

N. N. CHUDINOVA, M. A. AVALIANI, I. V. TANANAEV

## ON SOME CONDENSED PHOSPHATES OF GALLIUM

Summary

Interaction has been investigated in the system  $\text{M}_2\text{O} \text{—} \text{Ga}_2\text{O}_3 \text{—} \text{P}_2\text{O}_5 \text{—} \text{H}_2\text{O}$  (where  $\text{M} = \text{Li}$  and  $\text{Cs}$ ) in the temperature range  $150$ — $500^{\circ}\text{C}$  when the interrelation of initial components is  $\text{P}_2\text{O}_5 : \text{M}_2\text{O} : \text{Ga}_2\text{O}_3 = 15 : 2.5 : 1 ; 15 : 5 : 1 ; 15 : 7.5 : 1 ; 15 : 10 : 1$ .

Production of the following complexes has been stated: acid pyrophosphate  $\text{LiGa}(\text{H}_2\text{P}_2\text{O}_7)_2$ , double metaphosphate  $\text{LiGa}(\text{PO}_3)_4$ , acid tripolyphosphate of cesium-gallium of two modifications  $\text{CsGaHP}_3\text{O}_{10}$ —I and  $\text{CsGaHP}_3\text{O}_{10}$ —II.

Chemical, X-ray and differential temperature analyses of produced complexes are given.

## ЛІТЕРАТУРА — REFERENCES

- Чудинова Н. Н., Тананаев И. В., Авалиани М. А. Ж. неорган. материалы, т. 13, 2234 (1977).
- Чудинова Н. Н., Авалиани М. А., Гузеева Л. С., Тананаев И. В. Ж. неорган. материалы, т. 14, 2054 (1978).
- Чудинова Н. Н., Авалиани М. А., Гузеева Л. С. Ж. неорган. материалы, т. 13, 2229 (1977).
- Палкина К. К., Максимова С. И., Кузнецов В. Г., Чудинова Н. Н. Доклады АН ССР, т. 245, № 6, 1386 (1979).



УДК 541.8:678.021.172:678.049.12

Ш. В. ПИЧХАДЗЕ, Н. Р. ПАПАЛАШВИЛИ, С. М. СОШИНА

## ИЗУЧЕНИЕ РЕОЛОГИЧЕСКИХ СВОЙСТВ АЛЬГИНАТА НАТРИЯ В ПРИСУТСТВИИ ГЛИКОЛЕЙ

Натриевая соль альгиновой кислоты — альгинат натрия находит широкое применение в различных областях техники и, особенно, в текстильной промышленности в качестве загустителя печатных красок [1].

Настоящая работа проводилась с целью изучения деформирования водных растворов альгината натрия. Свойства их оценивались по реологическим характеристикам, которые во многом определяются специфическими свойствами самого полимера, а также добавляемых гликолей, в присутствии которых проводились эксперименты.

Растворы готовились из 2,5%-го альгината натрия, производства английской фирмы Ай-Си-Ай под торговым названием Манутекс RS, с добавлением этилен—(ЭГ), диэтилен—(ДЭГ) и триэтиленгликоля (ТЭГ) в одинаковых концентрациях 100 г/л, что исключало возрастание или уменьшение структурирующего действия этих добавок на растворы альгината натрия.

Изучение реологических свойств систем проводилось при комнатной температуре ( $22^{\circ}\text{C} \pm 0,5^{\circ}$ ) на приборе Реотест-2 в интервале скоростей сдвига 3—1312 сек<sup>-1</sup>.

У применяемых добавок (ЭГ, ДЭГ, ТЭГ) гибкость цепи молекул уменьшается с увеличением молекулярной массы.

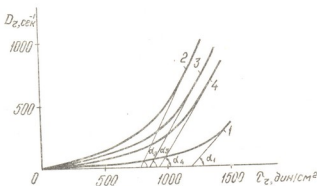


Рис. 1. Зависимость скорости сдвига от напряжения сдвига 2,5%-ного раствора альгината натрия с различными добавками. 1. Раствор альгината натрия; 2. Раствор альгината натрия + 100 г/л ЭГ; 3. Раствор альгината натрия + 100 г/л ДЭГ; 4. Раствор альгината натрия + 100 г/л ТЭГ

Из данных рисунка 1 следует, что при одинаковых градиентах скоростей сдвига  $D_r$  с повышением гибкости цепи молекул гликолей



напряжение сдвига системы уменьшается. Такого рода уменьшение напряжения сдвига свидетельствует о большей затрате энергии при передвижении молекул самого высокомолекулярного соединения в случае добавления вещества с менее гибкой структурой.

Для оценки степени структурированности альгината натрия по комплексной диаграмме зависимости скорости сдвига от напряжения сдвига с помощью величин углов наклона кривых течения (рис. 1.  $\alpha_1$ ;  $\alpha_2$ ;  $\alpha_3$ ;  $\alpha_4$ ) были рассчитаны показатели динамической устойчивости структуры (ДУС) [2] как в присутствии гликолов, так и без них. Измерения показали, что чем меньше величина ДУС, тем более хрупка структура системы.

Анализ проведенных экспериментов, данные которых сведены в таблице I, показал, что введение в раствор альгината натрия различных гликолов вызывает уменьшение динамической устойчивости структуры системы. И это уменьшение тем больше, чем меньше молекулярная масса вводимого гликоля.

Таблица I  
Реологические характеристики водных растворов альгината натрия  
с различными добавками

Наименование системы	ДУС	Вязкость, сп
2,5% раствор альгината натрия	8	944
2,5% раствор альгината натрия с добавлением этиленгликоля	5,4	737
2,5% раствор альгината натрия с добавлением диэтиленгликоля	5,6	752
2,5% раствор альгината натрия с добавлением триэтиленгликоля	6,0	794

Предполагается, что такого рода уменьшение величины ДУС для бинарного раствора базируется на устойчивости входящих в бинарную смесь компонентов (альгинат натрия и гликоли) и в какой-то мере зависит от гибкости структуры вводимого вещества.

Для перемещения всей макромолекулы полимера необходимо кооперированное перемещение многих сегментов. Это значит, что сопротивление, оказываемое макромолекулой в потоке, должно зависеть от ее молекулярной массы.

Вязкость систем «альгинат натрия — гликоль» (таблица I) увеличивается по мере снижения гибкости цепи гликолов или с увеличением молекулярной массы добавляемого вещества.

Институт текстильной промышленности

Поступило 24.VII.1978

Ч. ЧОКЕБАЛО, Б. АЗГАЛЛАЗДЕНОВ, Б. ҰМБЕТОВ

БАСЫРДАЛОВЫЕ АЛЖАНБАЕВЫЕ КАРЫМОГАЛОВЫЕ ТАЗИСЕВАЕВЫЕ 701723223 ЗАКОНОДАТЕЛЬСТВО

Редакция

БАСЫРДАЛОВЫЕ АЛЖАНБАЕВЫЕ 701723223 ЗАКОНОДАТЕЛЬСТВО



ლია, რომ ერთი და იგივე გადაადგილების სიჩქარის გრადიენტის შემთხვევაში გადაადგილების მოლეკულების ჯაჭვის დრეკადობის გაზრდით, გადაადგილების დაძაბულობა, სიბლანტე და სისტემის დინამიკური მდგრადობა მცირდება, რაც მოწმობს ენერგიის მეტი ხარჯის დროს მაღალმოლეკულური ნაკლებად დრეკადი სტრუქტურის მქონე ნივთიერების დამატებისას.

SH. V. PICHKHADZE, N. P. PAPALASHILI, O. M. SOSHINA

## STUDIES OF RHEOLOGIC PROPERTIES OF SODIUM ALGINATES IN THE PRESENCE OF GLYCCLS

### Summary

While studying deformation of aqueous solutions of sodium alginate in the presence of ethylene-, diethylene-and triethylene glycols, it has been found that at the same gradients of shift velocity the shift strain, viscosity and dynamic stability of the structure of solutions are decreased with increasing flexibility of chains of glycol molecules showing greater energy consumption for moving molecules of most high molecular compound in case of addition of substance with less flexible structure,

### ЛითერატУРА — REFERENCES

1. Степанов А. С. Загустители и печатные краски, Изд. «Легкая индустрия», М., 1969.
2. Садов Ф. И., Вильдт Е. О., Сафонова Л. И., Сенахова Р. В. Текстильная промышленность, 4, 59 (1967).



УДК 669.334

Р. П. ГОГОРИШВІЛИ

## РАСПРЕДЕЛЕНИЕ СЕЛЕНА И ТЕЛЛУРА ПРИ АВТОКЛАВНОМ ВЫЩЕЛАЧИВАНИИ МЕДНО-СУЛЬФИДНОГО КОНЦЕНТРАТА МАДНЕУЛИ

Селен и теллур не образуют собственных месторождений и являются спутниками. Минералы селена и теллура—это в основном селениды и теллуриды, а также самородный селен. Извлекаются они в основном при переработке серы и руд тяжелых цветных металлов.

При промышленной переработке Маднеульских медно-колчеданных руд наряду с основными продуктами получаются железистые шламы, содержащие редкие элементы — селен и теллур. С целью комплексного использования этих руд необходимо изучить поведение указанных элементов при переработке медно-сульфидных концентратов.

В 1958 г. [1] впервые были проведены опыты по окислению селенидов и теллуридов меди кислородом под давлением в водных растворах щелочей.

Изучение влияния различных факторов (рН раствора, температуры, давления, времени, соотношения Т:Ж) на процесс окисления селенидов и теллуридов меди в кислых средах под давлением кислорода нами проведено ранее [2].

Целью данной работы является выяснение распределения селена и теллура в продуктах автоклавной переработки медно-сульфидных концентратов месторождения Маднеули.

В медно-сульфидных рудах селен и теллур находятся в виде селенидов и теллуридов меди ( $Cu_2Se$ ,  $Cu_2Te$ ). Известно, что селениды по своим общим характеристикам аналогичны сульфидам и теллуридам. Радиус иона  $Se^{2-}$  больше, чем  $S^{2-}$  и меньше, чем  $Te^{2-}$ , поэтому селениды быстрее окисляются кислородом воздуха, чем сульфиды, но медленнее, чем теллуриды [3]. Селениды и теллуриды плохо растворяются в серной кислоте. Видимо, этим можно объяснить то обстоятельство, что при низких давлениях в автоклаве в железистой пульпе селениды и теллуриды меди не окисляются, а при высоких давлениях (15–25 атм) и они разлагаются, и некоторая часть селена подвергается сублимации и осаждается в верхней части автоклава в элементарном виде, что было подтверждено химическим анализом. Следует отметить, что на верхних частях стенок автоклава нами была замечена осевшая черная дисперсная масса, по внешнему виду очень схожая с селенидом меди.

В таблицах 1 и 2 даны результаты рентгенографического и химического анализов вышеупомянутого соединения.

Известно, что взаимодействие селенида меди с серной кислотой при температурах до 100°C и нормальном давлении термодинамически вероятно с одновременным образованием двуокиси селена. При температуре выше 100°C и соответствующем избытке серной кислоты и давления кислорода, что сходно с нашими вышеописанными условия-

ми, возможно протекание реакции с образованием и элементарного селена [4].

Наши предположения, что селен как аналог серы будет окисляться кислородом под давлением в растворе серной кислоты до селенитов, селенатов или двуокиси селена и перейдет в раствор, не оправдались. Как показали анализы, селен перешел в раствор в незначительном количестве, а теллур полностью остался в железистой пульпе.

Таблица 1

Рентгенографический анализ автоклавной черной дисперсной массы  
Рентгенограммы сняты в излучении FeKa. Образцы № 1 и № 2 дали одинаковые  
дебаеграммы, типичные для берцелианита

№№ пп	J	V	d
1	ср	17,2	3,27
2	с. сл.	18	3,13
3	сл.	20,2	2,8
4	с. сл.	25,5	2,25
5	с. сл.	28,7	2,01
6	сл	30,6	1,90
7	сл.	32,2	1,82
8	сл.	33	1,78
9	сл.	34	1,73
10	ср	45,2	1,43
11	ср	47,2	1,32
12	сл.	55,5	1,17

Ниже приводятся данные о распределении селена и теллура в продуктах автоклавной переработки.

Таблица 2  
Анализ автоклавной черной дисперсной массы

Компоненты	Найдено, %	Рассчитано на Cu <sub>2</sub> Se, %
медь	61,58	61,68
селен	38,26	38,31

Халькоконцентрат: Se — 0,007%, Te — 0,0025%

Автоклавный кек: Se — 0,01%, Te — 0,0042%

Автоклавный раствор: Se — 0,001%

Определение селена и теллура в пробах проводили фотоколориметрическим методом.

Как видно из анализов, основная часть селена и теллура находится в автоклавном кеке; в раствор переходит незначительная часть селена, а теллур остается в железистом кеке.

При извлечении Se и Te из железистых автоклавных кеков, в которых селен и теллур находятся в виде легкорастворимых в воде, кислотах или щелочах соединений, в частности, SeO<sub>2</sub> и TeO<sub>2</sub>, их разделение и выделение в элементарном виде уже не представляет больших затруднений.

Получение селена и теллура из железистых автоклавных кеков будет одним из этапов комплексной переработки медно-сульфидных концентратов Маднеули.

## ЛИТЕРАТУРА

1. Бондин С. М. Автоклавные методы переработки минерального сырья, «Наука», М.—Л., 1964.
2. Гогоришвили Р. П., Плаксин И. Н. Переработка марганцевых и полиметаллических руд Грузии. Изд. «Мецинереба», Тбилиси, 245, 1970.
3. Синдеева О. А. Минералогия, тип, месторождение и основные черты селена и теллура. Изд. АН СССР, М., 1959.
4. Цецикви В. Н., Ящук ЖПХ, т. 35, вып. II, 2546—48 (1962).
5. Чижиков Д. М., Счастливый В. П. Селен и селениды. Изд. «Наука», М., 1964.

### რ. გოგორიშვილი

ხალხისა და მეცნიერებას გადაუღის სპილეონის სალფიზური მაღალ  
ავტოკლავური გადამუშავების პროცესი

### რეზიუმე

გამოკვლეულია მაღალის სპილეონის სულფიდური მაღალი აეტოკლავური გადამუშავების პროცესების სელენისა და ტელურის განაწილება.  
დადგენილია, რომ სელენისა და ტელურის ძირითადი მისა გროვდება რკინის კედებში, რაც ქმნის ლინიშნულ ტეკიბიდან სპილეონ სულფიდური კონცენტრატის კომპლექსურ გადამუშავების სასურველ პირობას.

R. P. GOGORISHVILI

## SELENIUM AND TELLURIUM BEHAVIOUR AT AUTOCLAVE LEACHING OF MADNEULI COPPER SULPHIDE CONCENTRATE

### Summary

The distribution of selenium and tellurium in iron cakes after autoclave processing of Madneuli copper sulphide concentrate has been studied.

It is established that main mass of selenium and tellurium piles up in the slime of autoclave which in its turn improves complex retreatment of Madneuli copper sulphide ore.

## АВТОРСКИЙ УКАЗАТЕЛЬ

### А

Абашидзе Э. И. № 1, 87  
 Абусаматова А. № 2, 191  
 Абулалзе М. К. № 3, 238  
 Авалиани М. А. № 4, 373  
 Агладзе Р. И. № 1 72; № 2, 270  
 Авалиани А. Ш. № 4, 363  
 Азатян В. В. № 1, 49; № 2, 175  
 Азза Азиз Мухамед № 3, 205  
 Андроникашвили Т. Г. № 2, 147; № 3, 225;  
     № 3, 225; № 3, 267; № 4, 315  
 Аразашвили А. И. № 4, 307  
 Арешидзе Х. И. № 2, 111; № 2, 171

### Б

Баратов А. Н. № 3, 283  
 Барабадзе Ш. Ш. № 2, 128  
 Башкатова Н. Ф. № 3, 247  
 Бацанадзе Л. И. № 4, 370  
 Башкенадзе И. А. № 2, 103  
 Бичинашвили А. И. № 4, 340  
 Броучек Ф. И. № 1, 89  
 Бугианишвили Д. Я. № 4, 302

### В

Ваников А. В. № 2, 135  
 Вардиашвили М. А. № 3, 270  
 Вашакидзе М. Ш. № 4, 360

### Г

Габададзе Т. Г. № 2, 183  
 Габуния К. Е. № 1, 81  
 Гаджиев М. К. № 2, 128; № 2, 171  
 Гаприндашвили В. Н. № 3, 280; № 4, 346  
 Гвахария В. Г. № 2, 169  
 Гвердители И. М. № 2, 135; № 3, 210  
 Гвилава М. Н. № 4, 327  
 Гелешвили Т. П. № 4, 346  
 Гиголашвили Н. Г. № 4, 322  
 Гиоргадзе Н. А. № 2, 164  
 Гогоришвили П. В. № 1, 13; № 1, 79; № 2, Иосава И. Г. № 3, 277  
     103, 199; № 4, 379  
 Гогоришвили Р.П. № 4, 295

Гогитидзе Н. М. № 4, 315  
 Гонгадзе Д. Н. № 4, 340  
 Гургенидзе З. И. № 2, 157

### Д

Далакишвили Н. З. № 3, 231  
 Двалишвили А. И. № 4, 360  
 Деканисадзе Г. Е. № 4, 307  
 Джапаридзе Л. И. № 1, 87  
 Джапаридзе К. Г. № 1, 34  
 Джапаридзе Л. Н. № 2, 186  
 Джанибеков Н. Ф. № 4, 334  
 Джашниашвили Т. К. № 1, 27  
 Джиджеишвили Ш. И. № 3, 247  
 Джмухадзе В. А. № 2, 124  
 Джинчарадзе М. А. № 2, 141  
 Дзоценидзе З. Г. № 1, 49; № 3, 238  
 Доксопуло Т. П. № 2, 135  
 Долидзе Л. Д. № 4, 370  
 Дондуа К. В. № 4, 366  
 Дубинин М. М. № 2, 186

### Е

Егиазаров А. С. № 3, 247  
 Еремеева Г. И. № 3, 280

### Ж

Жигарновский Б. М. № 1, 7  
 Жижилашвили Э. Г. № 4, 352  
 Жоржолiani Н. Б. № 4, 295

### З

Зеньковский С. М. № 2, 111  
 Зурабашвили З. А. № 1, 44

### И

Иашвили И. И. № 4, 327  
 Иоселиани К. Б. № 4, 334  
 Иосава И. Г. № 3, 277  
 Ипполитов Е. Г. № 1, 7  
 Исприкян А. А. № 2, 141



## К

Кадыров Х. А. № 2, 191  
Какурия Л. Ш. № 1, 87  
Каминский В. А. № 2, 164  
Канделаки Р. К. № 3, 277  
Карумидзе З. А. № 1, 87  
Каркарашвили М. В. № 1, 79; № 2, 103  
Качбая Э. И. № 2, 186

Кахниашвили А. И. № 4, 366  
Кашакашвили Л. Л. № 2, 152  
Кванталиани Л. К. № 4, 322  
Квирикашвили Б. Л. № 3, 274  
Кемертидзе Э. П. № 4, 307  
Кереселидзе М. К. № 1, 27

Кипаренко Т. Н. № 2, 191  
Кипиани Р. Я. № 2, 157  
Кипиани Л. Г. № 3, 210  
Кладашвили Р. Ш. № 4, 360  
Кобаладзе Е. В. № 2, 1694  
Коршак В. В. № 1, 27; № 3, 210

Кокочашвили Т. В. № 1, 49  
Кордзахия Н. М. № 2, 179  
Кордзахия Т. Н. № 3 267  
Коридзе З. И. № 2, 147  
Кочиашвили Л. Ш. № 1, 89  
Крупеникова А. Ю. № 4, 322  
Курашвили М. И. № 1, 72, № 2, 175  
Курцхалия Ц. С. № 3, 262  
Кутателадзе Т. Г. № 1, 81

## Л

Лабарткава Э. К. № 4, 340  
Лагидзе Р. М. № 4, 360  
Лафер Л. И. № 4, 327  
Лекае Т. В. № 1, 27; № 3, 210  
Литвиненко В. И. № 2, 118  
Лозе У. № 3, 213  
Ломидзе Н. Г. № 4, 302  
Люстгартен Е. И. № 4, 315

## И

Майсурадзе Г. В. № 2, 169  
Майсурадзе В. Р. № 4, 356  
Мадашхия М. В. № 3, 280  
Макашвили М. А. № 3, 262  
Махарадзе Л. В. № 1, 39  
Мачарашивили Е. А. № 1, 81  
Мачкошвили Р. И. № 1, 79, № 4, 295  
Мдивнишвили О. М. № 1, 39  
Мегедь Н. Ф. № 3, 225  
Меладзе С. М. № 4, 302  
Меликадзе Л. Д. № 1, 63; № 2, 157  
Мелуа М. С. № 1, 81; № 2, 135  
Мжаванадзе И. А. № 1, 34

Миндин В. Ю. № 3, 284; № 4, 363  
Мирский Я. В. № 3, 225  
Морозов А. М. № 3, 284  
Мортиков Е. С. № 2, 111  
Мусеридзе М. Д. № 1, 49

## Н

Надирадзе А. А. № 1, 56; № 3, 254  
Наноашвили Е. М. № 3, 231  
Наморадзе М. А. № 1, 49; № 3, 238  
Небиридзе Н. М. № 2, 171  
Ногандели Л. И. № 4, 302

## О

Озиашвили Е. Д. № 1, 20; № 3, 247  
Оболадзе М. Д. № 4, 340  
Омидзе И. С. № 1, 56; № 3, 254  
Орлова О. В. № 3, 270  
Орлов А. К. № 4, 346  
Осипова Н. А. № 3, 225

## П

Панчвидзе М. В. № 3, 231  
Паннина Л. И. № 4, 314  
Парджикия Д. С. № 4, 302; № 4, 366  
Парцвания Д. А. № 3, 262  
Папава Г. Ш. № 3, 277  
Папалашвили Н. Р. № 4, 376  
Пашин В. Н. № 2, 186  
Пискунов И. Н. № 4, 346  
Пичхадзе Ш. В. № 4, 376  
Пхенидзе Т. А. № 4, 311  
Плиева Л. Х. № 1, 27

## Р

Ракчеев А. Д. № 2, 186  
Рамишвили Ц. М. № 3, 274  
Русанов А. Л. № 1, 27; № 3, 210

## С

Сабашвили И. Г. № 1, 34  
Сабелашвили Ш. Д. № 2, 147; № 3, 22;  
№ 3, 267  
Сарджвеладзе Э. Э. № 4, 370  
Сакварелидзе Т. Н. № 1, 79  
Сакодинский К. И. № 1, 44; № 4, 315  
Сидамонидзе Ш. И. № 4, 327  
Сираханян Н. М. № 1, 20  
Сошина С. М. № 4, 376  
Суладзе И. Ш. № 2, 183  
Сунозова Е. В. № 1, 44  
Стрелец Б. Х. № 3, 280  
Стоматели Ю. И. № 2, 183

## Т

- Табидзе Д. М. № 2, 135  
 Табидзе Р. С. № 3, 210  
 Тавартиладзе Я. Н. № 2, 179  
 Тамм Х. № 3, 217  
 Тананаев И. В. № 4, 373  
 Топуридзе Л. Ф. № 1, 63  
 Трипольская Т. А. № 1, 7  
 Трубников В. И. № 1, 44  
 Тутуши Д. С. № 3, 210

## Х

- Хитири Г. Ш. № 1, 63

## Ц

- Цагарейшвили Д. Ш. № 1, 56; № 3, 254  
 Цакадзе Д. М. № 2, 191  
 Цвениашвили В. Ш. № 3, 280  
 Чиклаури И. Г. № 1, 7; № 4, 363  
 Чиклаури Г. Ч. № 2, 118  
 Чиргава Г. А. № 3, 262  
 Чискаришвили П. Д. № 3, 277  
 Цицишвили Г. В. № 2, 147; № 3, 267; № 4, 327  
 Цкитишвили М. Г. № 1, 13; № 3, 199; № 4, 295  
 Цулукидзе Л. А. № 2, 124

## Ч

- Чагелишвили Р. Д. № 4, 346  
 Чахунашвили Т. А. № 1, 87  
 Чивадзе Г. О. № 2, 111  
 Чиковани Э. Н. № 4, 366  
 Чрелашвили М. В. № 1, 13; № 3, 199  
 Чубабрия М. Я. № 1, 34  
 Чудинова Н. Н. № 4, 373  
 Чхеидзе Г. С. № 2, 111

## Ш

- Шавошвили И. Г. № 1, 72; № 2, 175  
 Шалашвили А. Г. № 1, 118  
 Швангирадзе А. В. № 3, 262  
 Шведов И. В. № 2, 124  
 Швелашивили А. Е. № 1, 13  
 Ширмер В. № 3, 217  
 Штах Х. № 3, 217

## Э

- Эдилашвили И. Л. № 2, 157; № 4, 334  
 Эристави М. К. № 2, 179  
 Эристави В. Д. № 2, 152; № 3, 205  
 Эсакия К. Е. № 1, 20

## Я

- Якерсон В. И. № 4, 327

6874

Цена 70 коп.

СЕМЬЯ  
876-203